









Lois de Comportement aux Petites Echelles en Elasticité / Plasticité

Ecole d'été du GDR MODMAT

Anne.Tanguy@insa-lyon.fr

18 juillet 2019





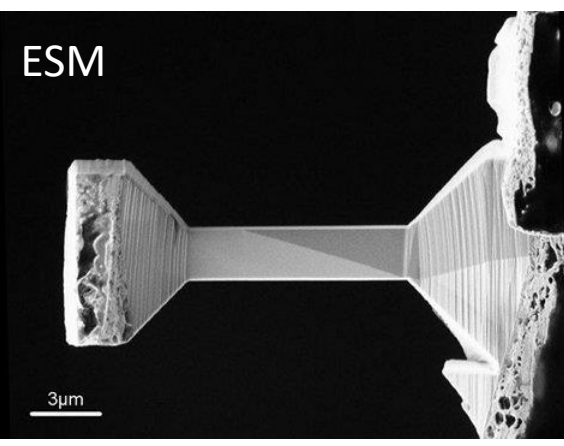


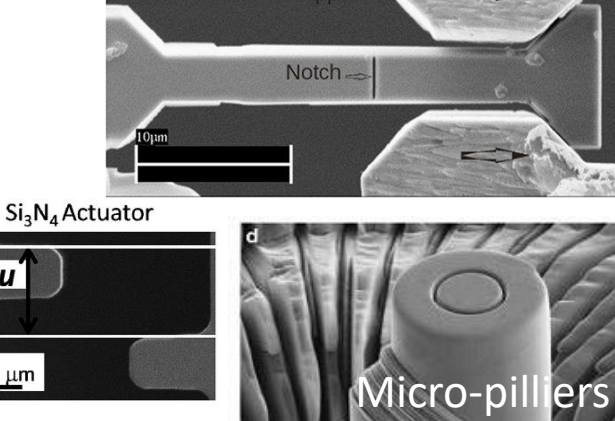




Mesures Mécaniques à différentes échelles dans un solide







M. Ghidelli (2017)

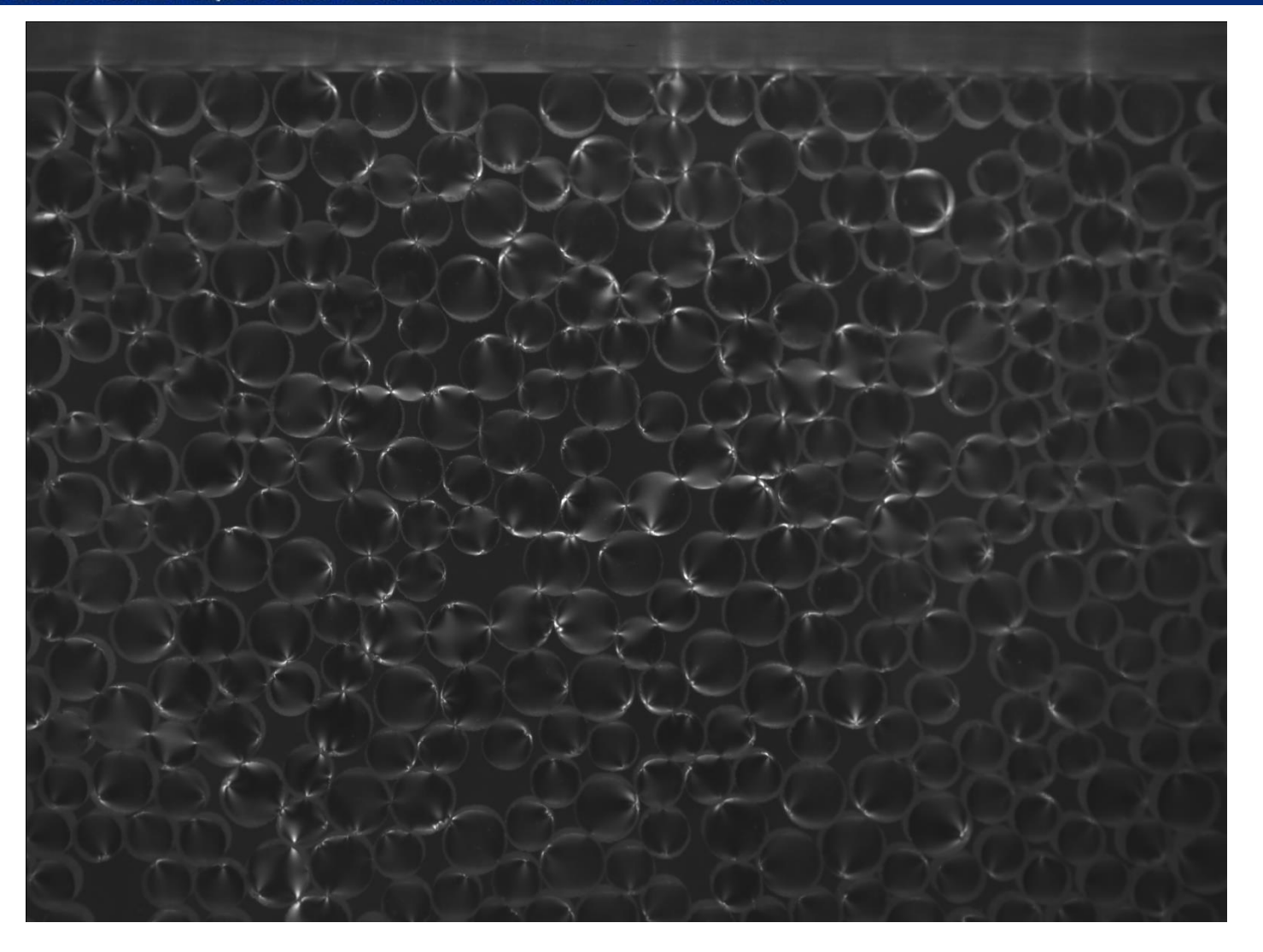












PMMH beads, E. Kolb (2006)





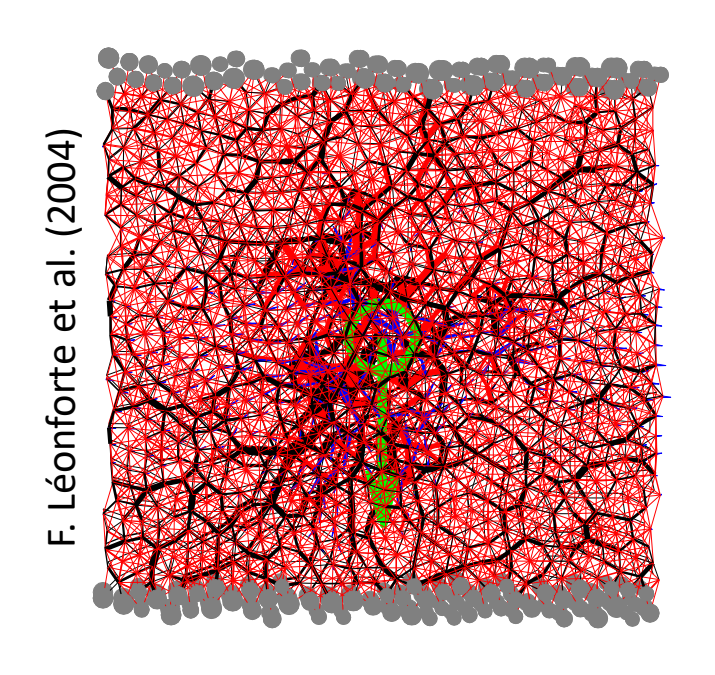


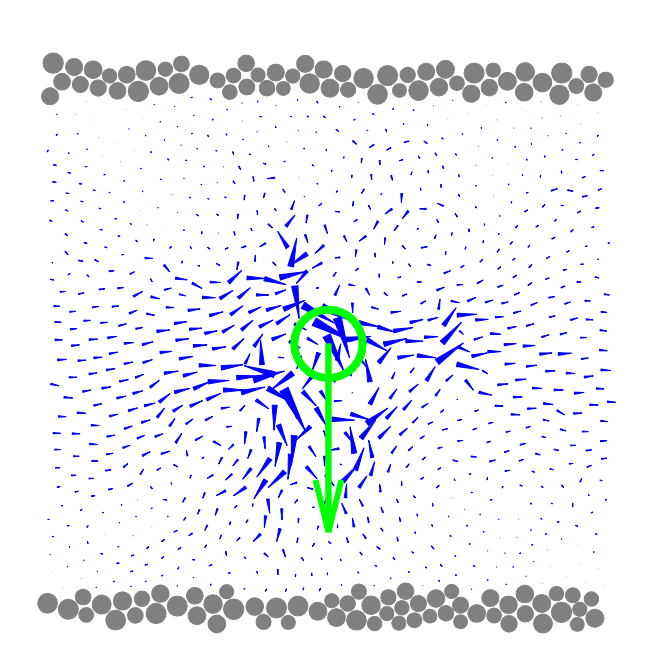




Simulations Atomistiques de particules type Lennard-Jones

Exemple d'une assemblée désordonnées d'atomes





Réponse hétérogène, irrégulière. Comportement mécanique?

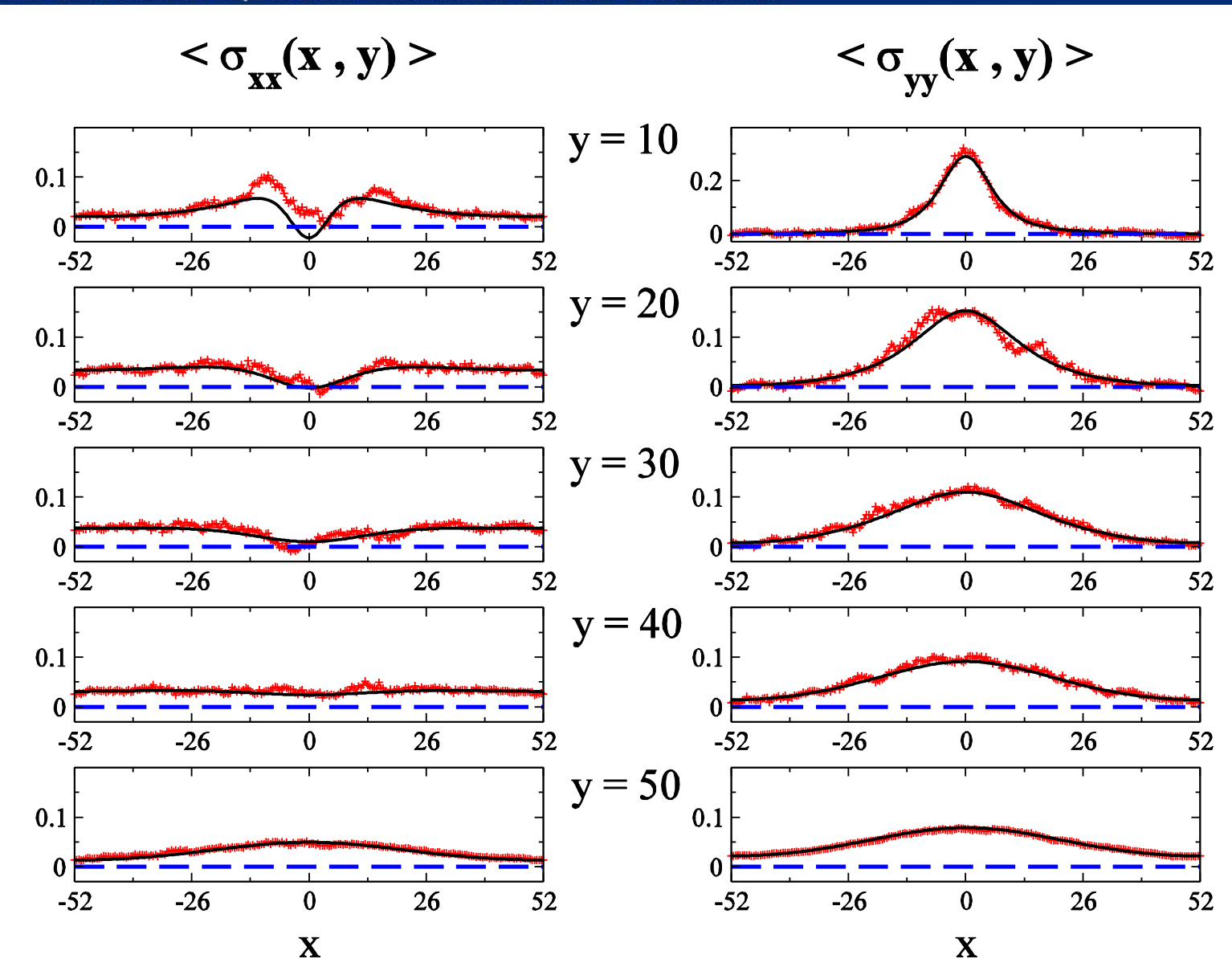














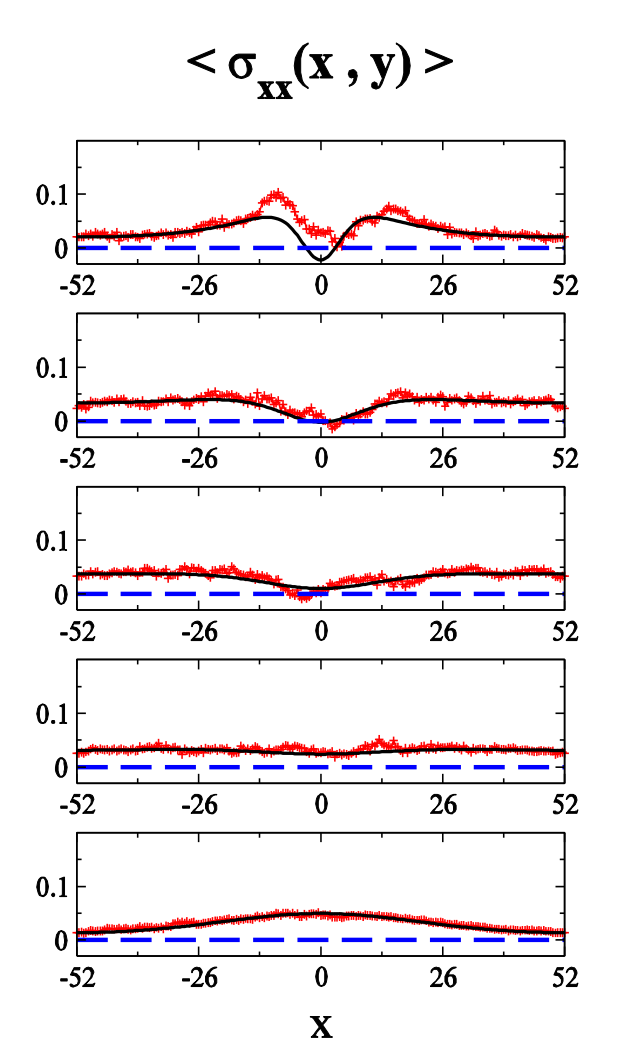


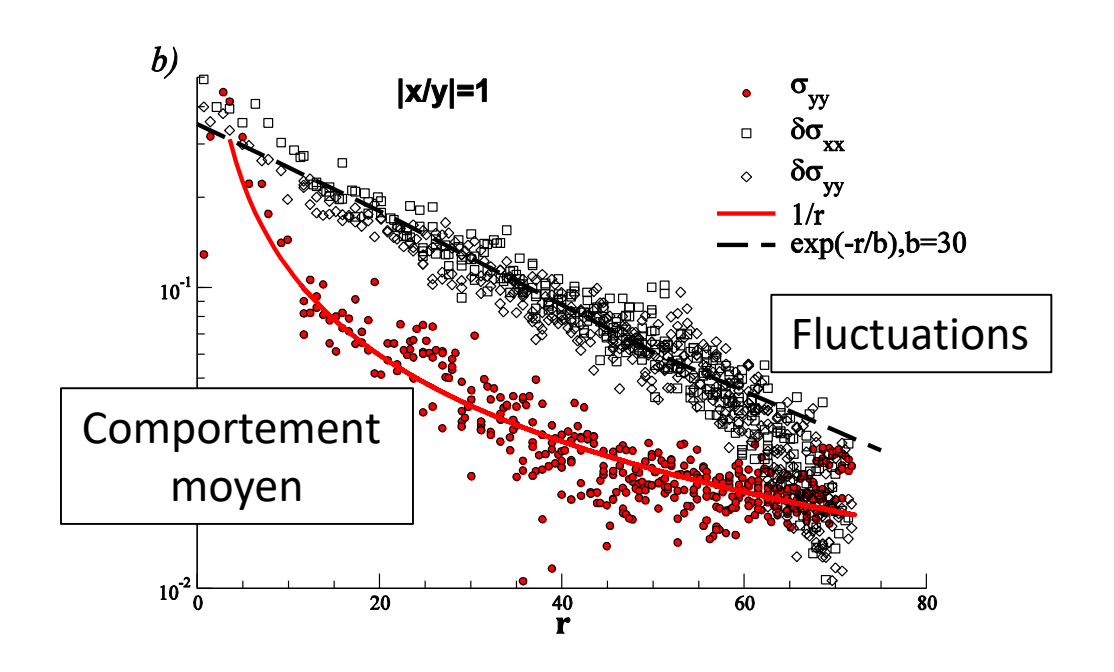






Comparaison avec le comportement type Milieu Continu:





Comportement **moyen** comparable au milieu continu. **Fluctuations** importantes sur des distances mésoscopiques











Laboratoire de Mécanique des Contacts et des Structures colloids foams G.Debrégeas (2001) 1 cm C Weeks (2006) **Granular materials** <= Pure Shear **Polymers** J.R. Williams et al. (1997) F.Radjai, S.Roux (2002) E.Kolb et al. (2003) De Pablo (2008) R. Behringer (2006)





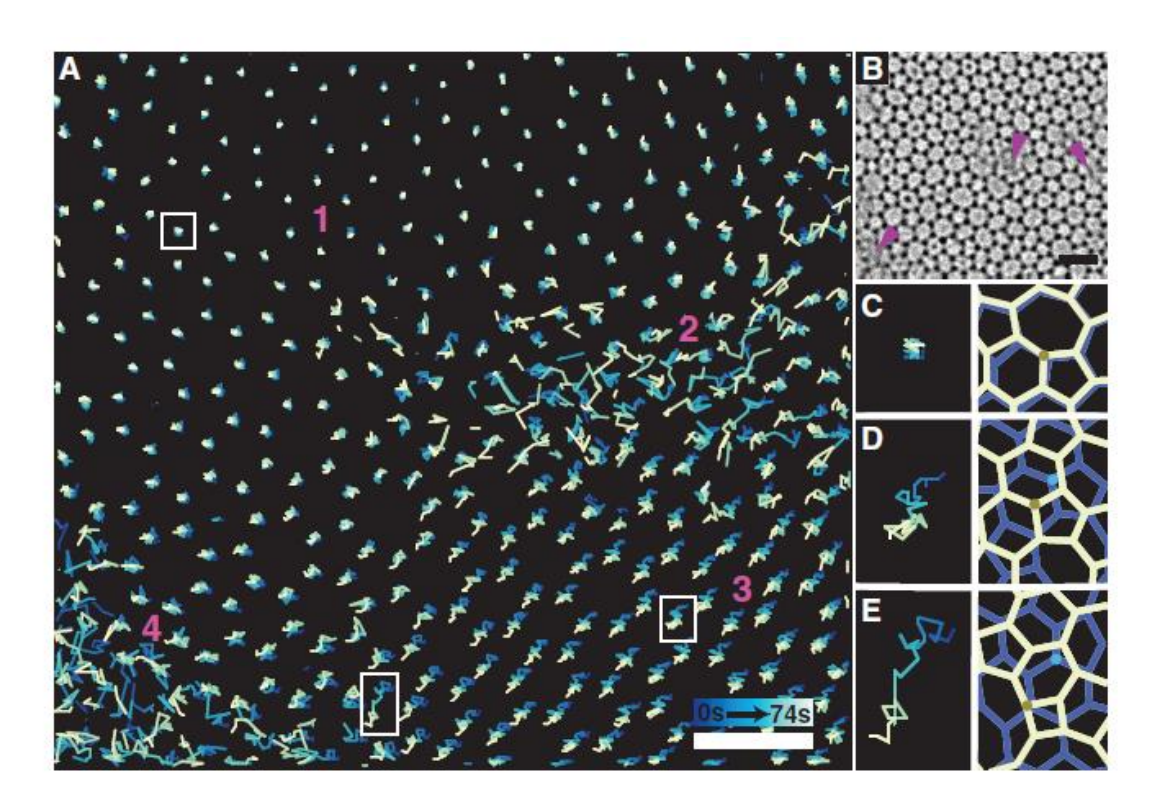






Imaging Atomic Rearrangements in Two-Dimensional Silica Glass: Watching Silica's Dance Science (October 2013)

Pinshane Y. Huang, ¹ Simon Kurasch, ²* Jonathan S. Alden, ¹* Ashivni Shekhawat, ³ Alexander A. Alemi, ³ Paul L. McEuen, ³, ⁴ James P. Sethna, ³ Ute Kaiser, ² David A. Muller ¹, ⁴†





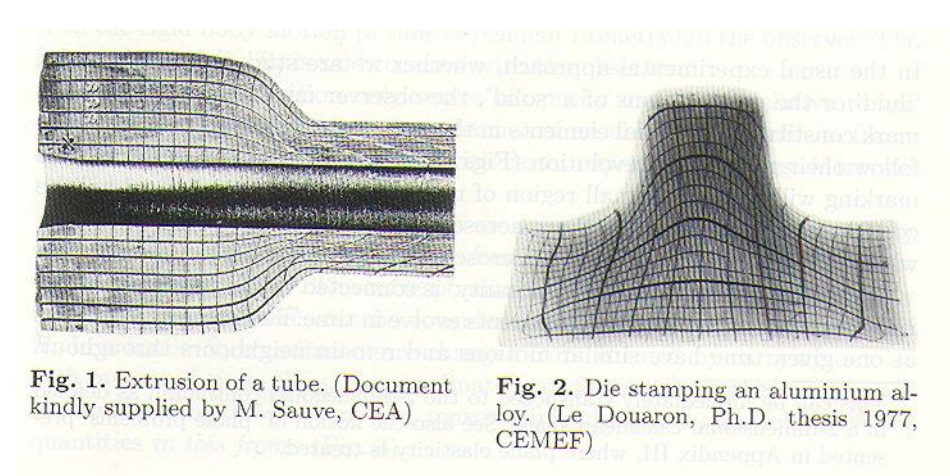


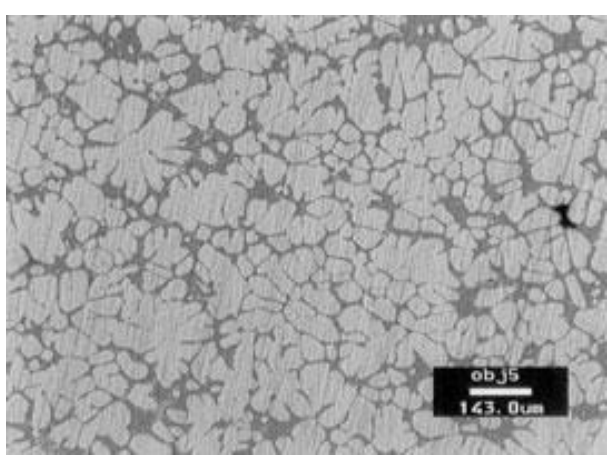






Exemples de microstructures



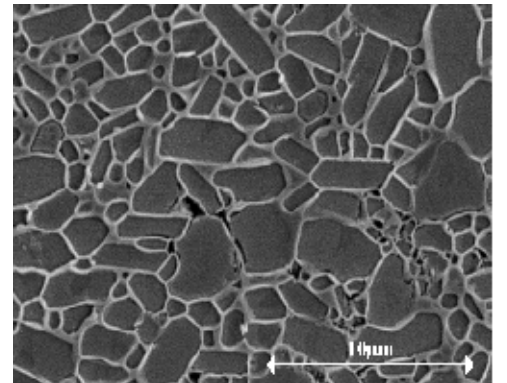


Dendritic growth in Al

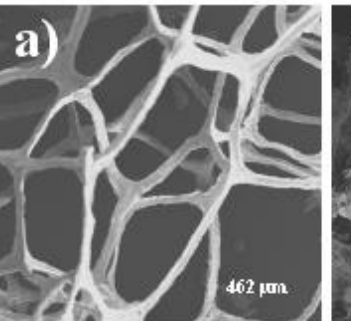
Al polycristal (Electron Back Scattering Diffraction)

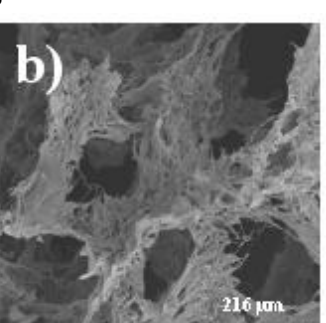


SiC dense



TiO₂ metallic foams







 $t = 10^{-14} \text{ s}$



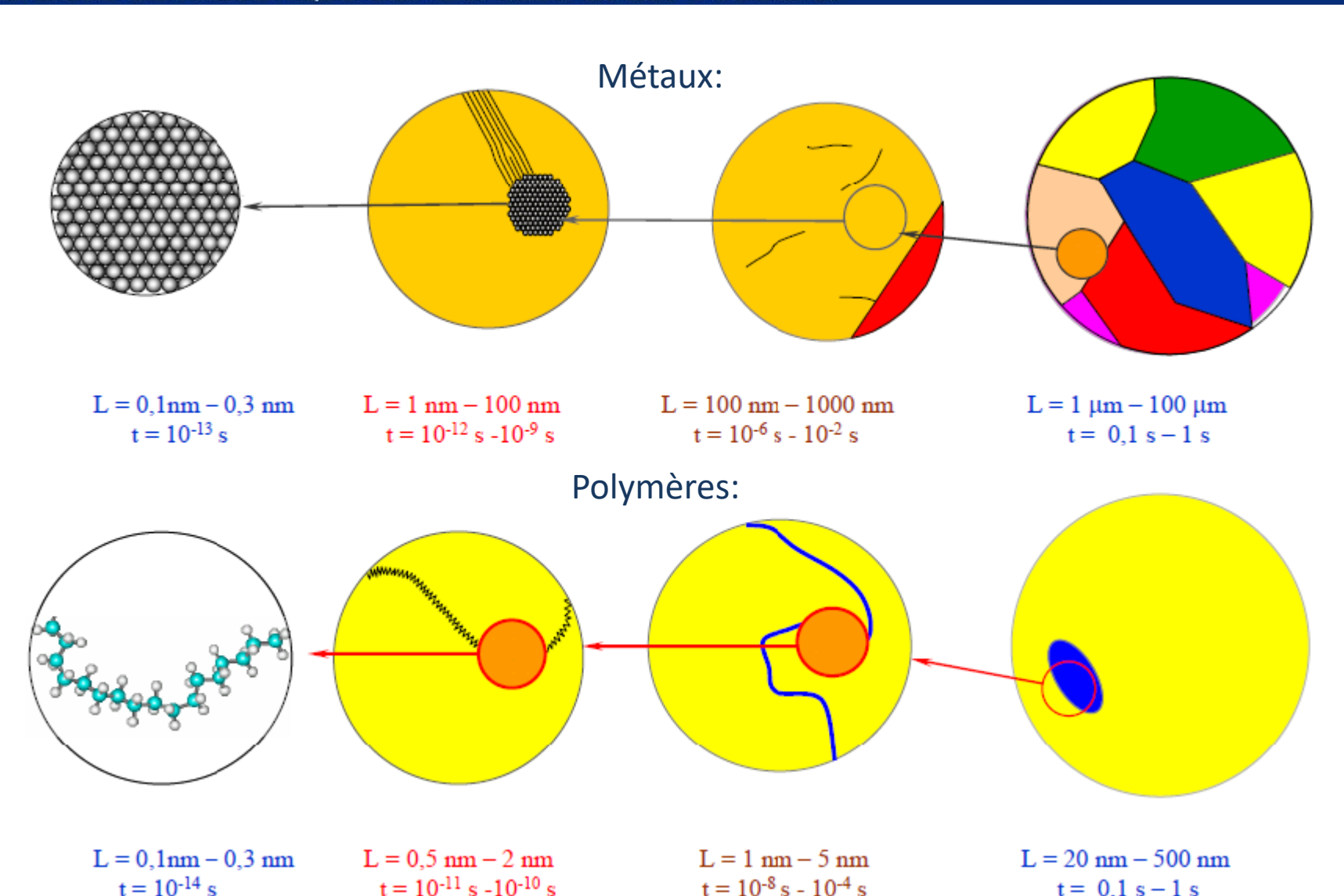




t = 0.1 s - 1 s



Laboratoire de Mécanique des Contacts et des Structures



 $t = 10^{-8} s - 10^{-4} s$



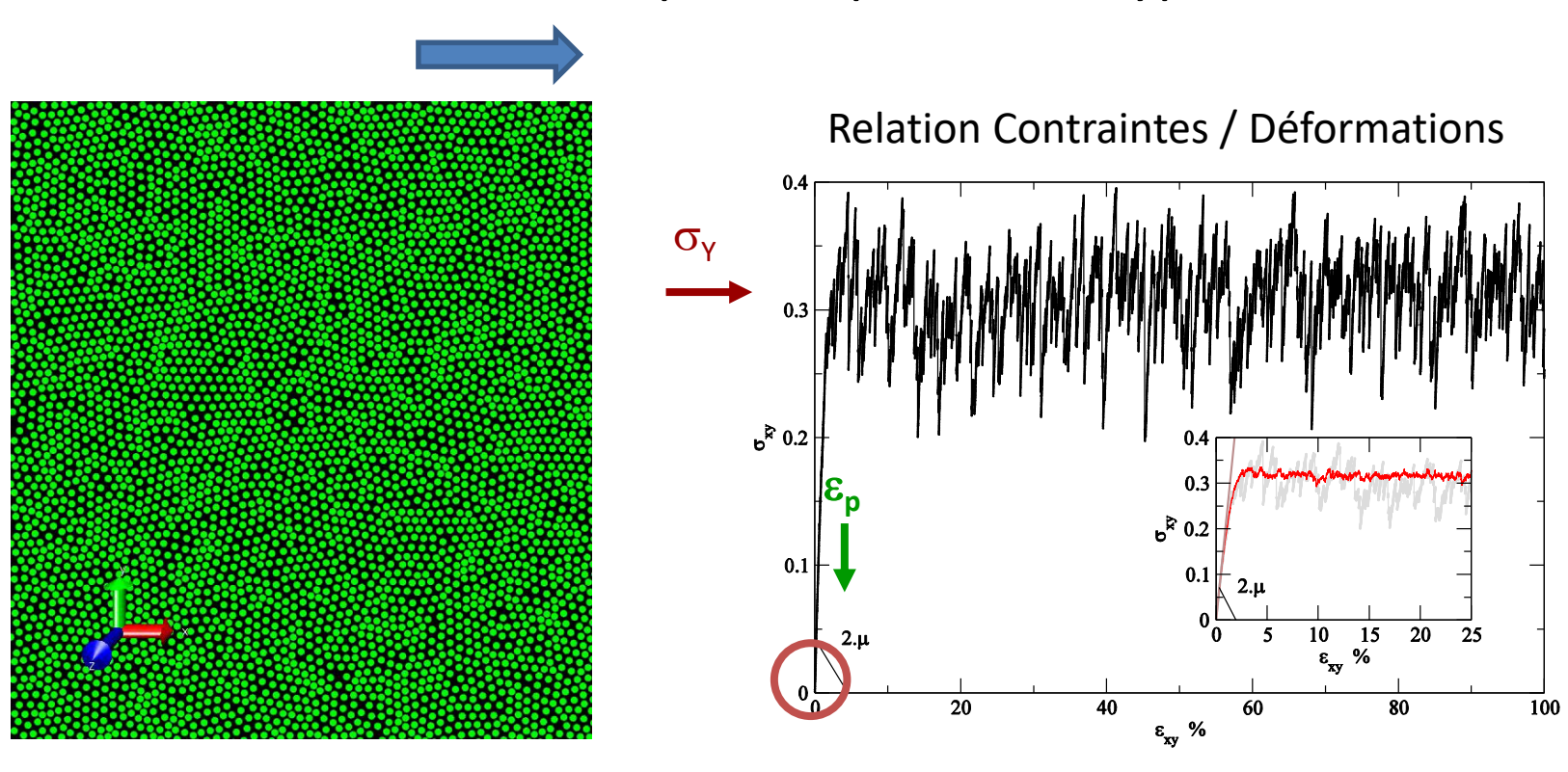








Simulations Atomistiques de particules type Lennard-Jones



- Rôle des **fluctuations** sur la loi de comportement globale?
- Quelles sont les grandeurs pertinentes à petite échelle?
- Loi de comportement à différentes échelles?



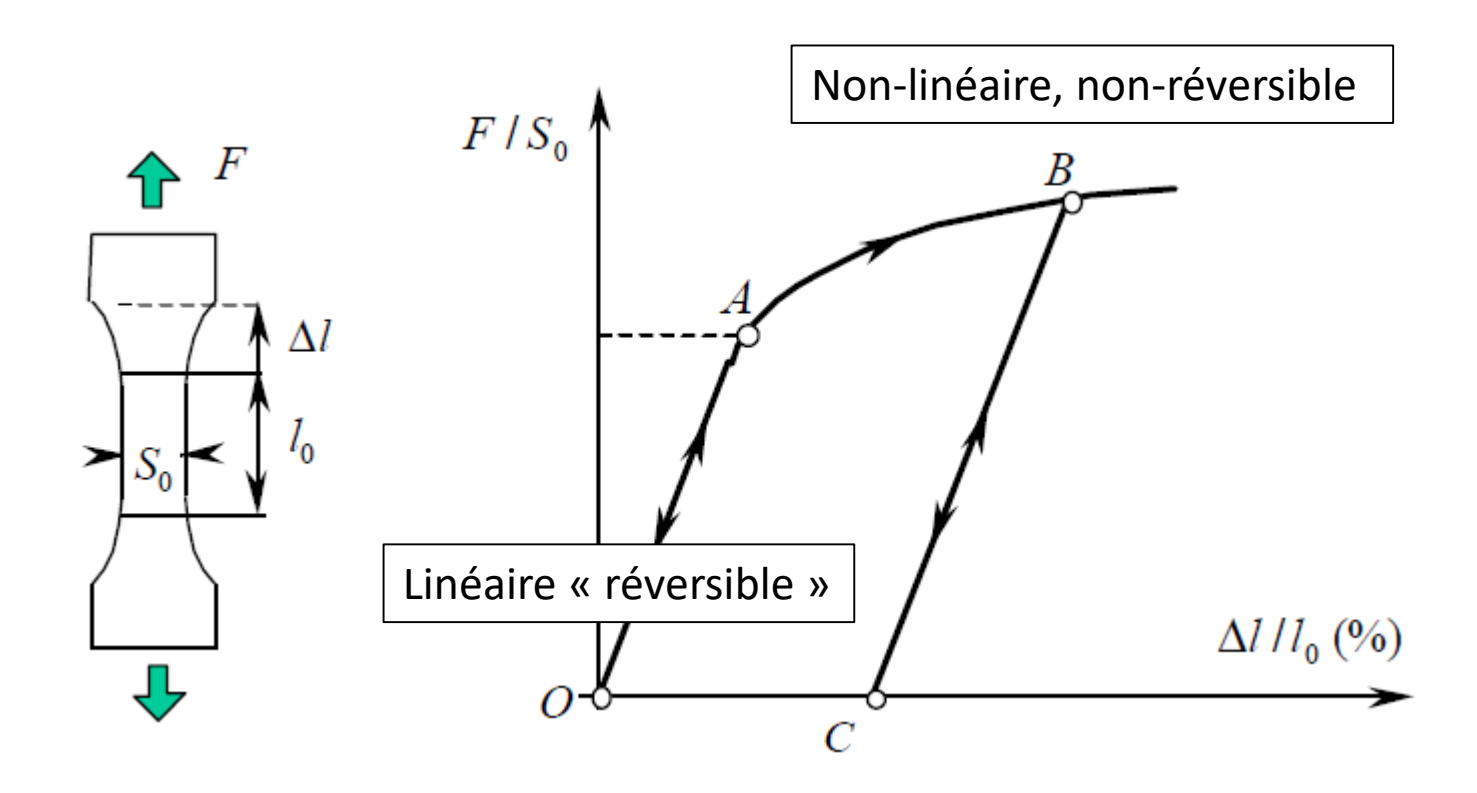








Comportement Elasto-Visco-Plastique des solides:





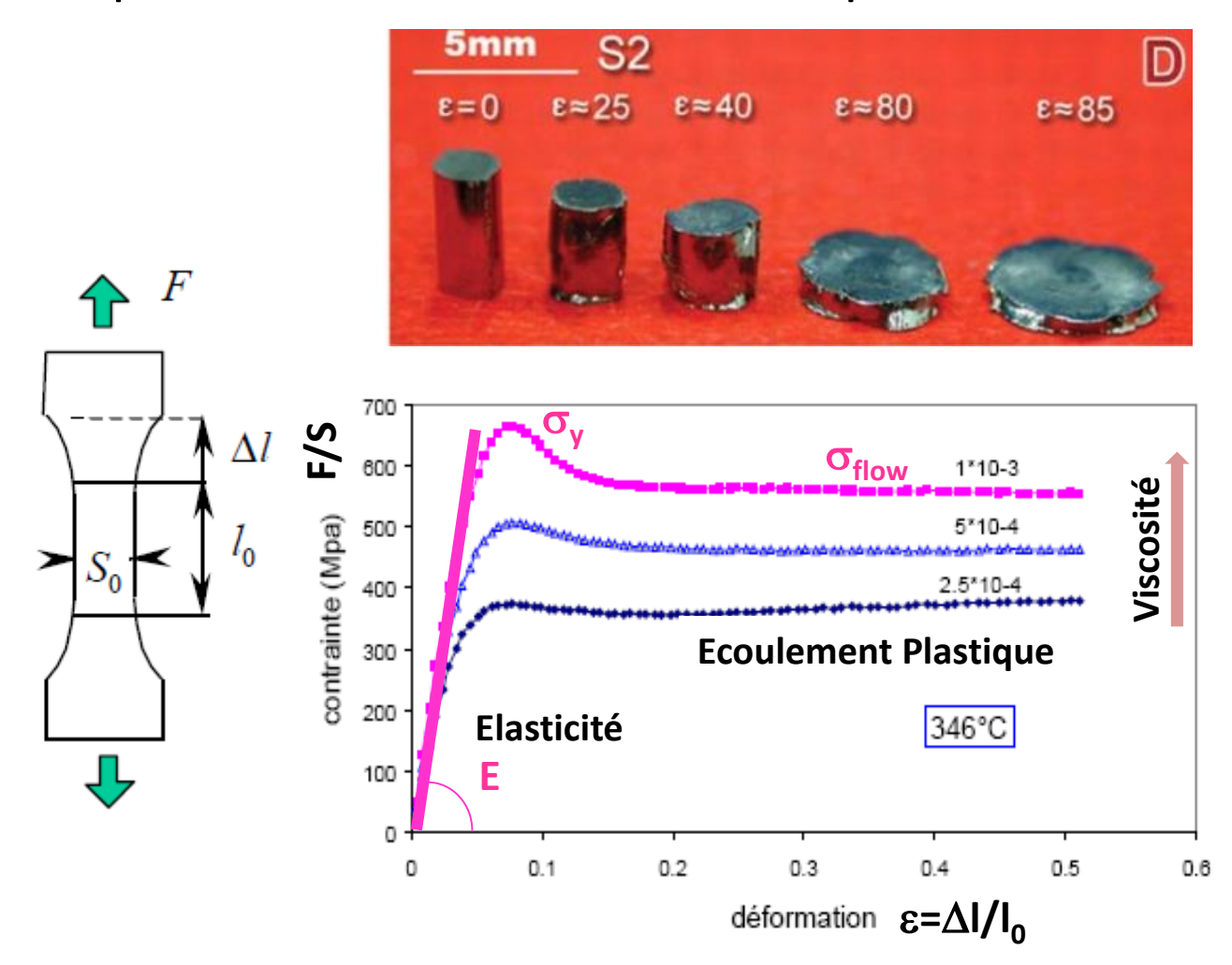








Comportement Elasto-Visco-Plastique des solides:













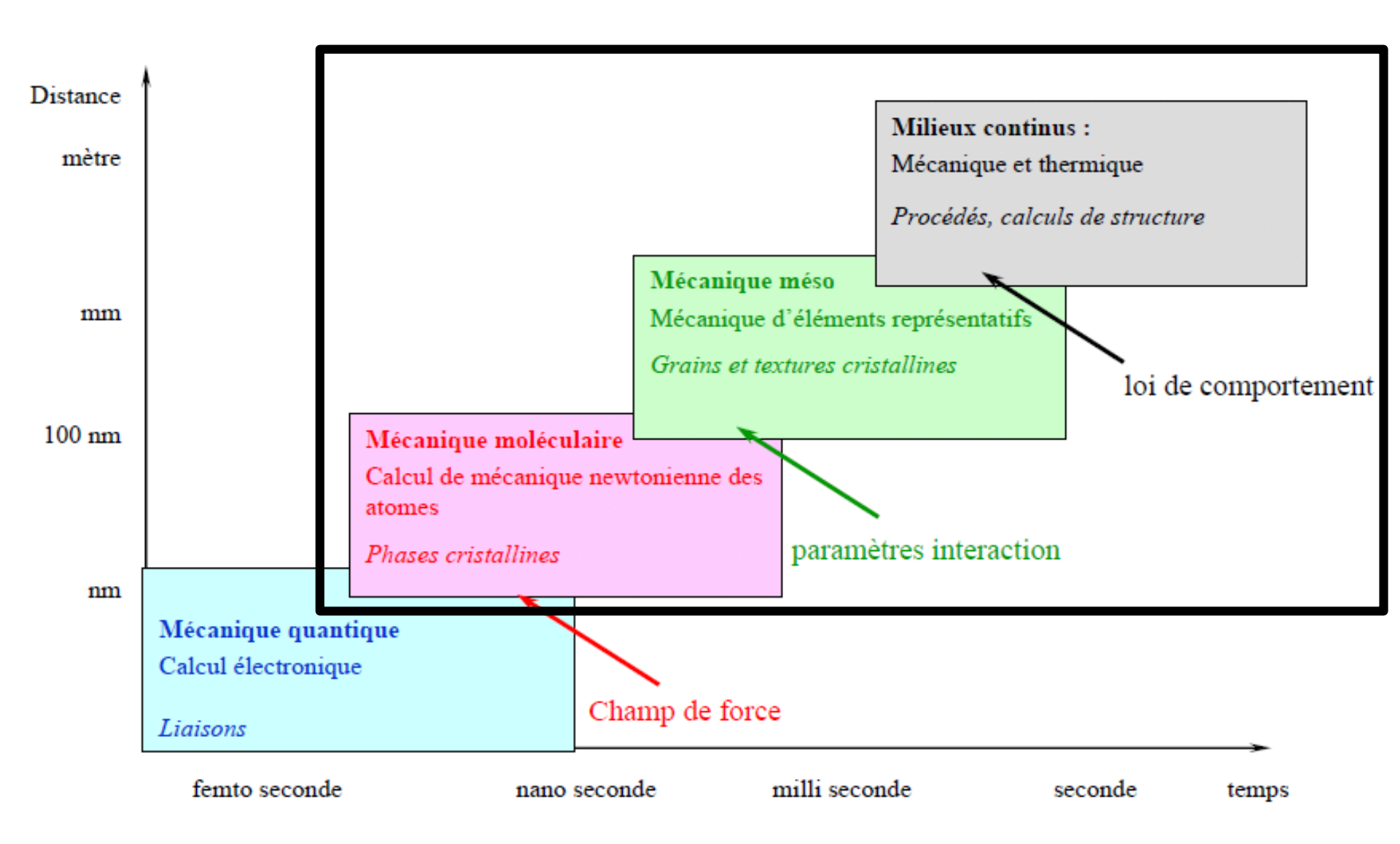
Quelles tailles caractéristiques?

Rôle des **fluctuations** à l'échelle atomique sur le comportement à grande échelle?

Quel lien entre les grandeurs mesurables aux petites échelles et les grandeurs mécaniques?

Réversibilité et **Irréversibilité** à différentes échelles?

Description à différentes échelles













Outline

Introduction: le comportement des matériaux à différentes échelles

- I. Comment définir des grandeurs mécaniques aux petites échelles?
- II. Exemple des lois de comportement linéaires
- III. Plasticité à l'échelle atomique

Conclusion et Perspectives











Outline

Introduction: le comportement des matériaux à différentes échelles

- I. Comment définir des grandeurs mécaniques aux petites échelles?
- II. Exemple des lois de comportement linéaires
- III. Plasticité à l'échelle atomique

Conclusion et Perspectives











Grandeurs mécaniques aux petites échelles

1) Rappel: description classique continue

2)Théorie atomistique de Cauchy-Born (1915)

3)Théorie Multi-échelle de I. Goldhirsch (2003)











Grandeurs mécaniques aux petites échelles

1) Rappel: description classique continue

2)Théorie atomistique de Cauchy-Born (1915)

3)Théorie Multi-échelle de I. Goldhirsch (2003)



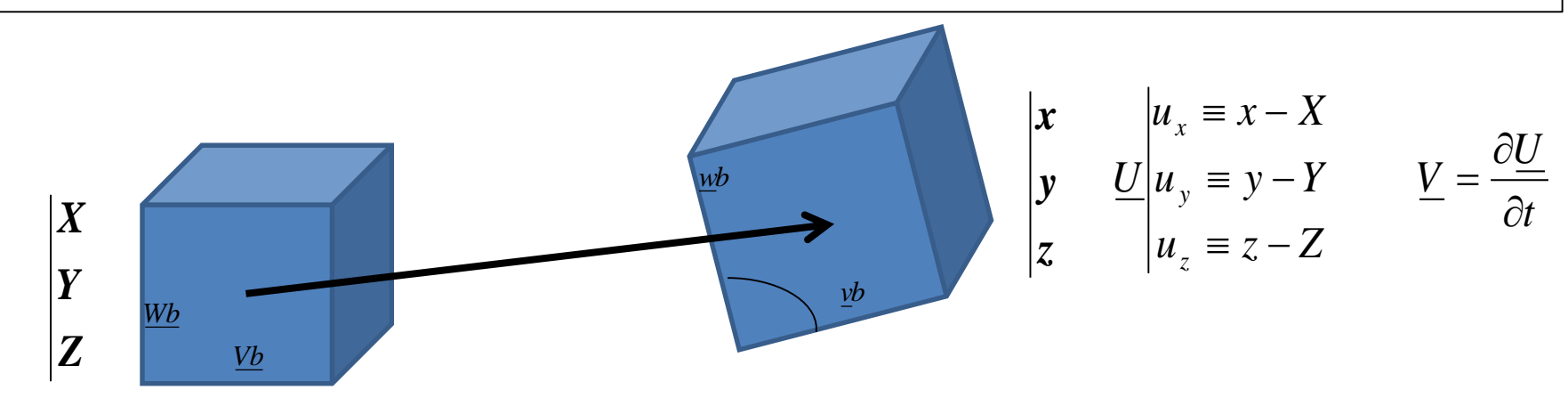








Grandeur mécanique fondamentale: le **champ de déplacement** <u>u(r,t)</u> ou de vitesse <u>V(r,t)</u>.



Puissance mécanique: expression générale de la puissance des forces internes

$$P = \int_{Vol} \left(\underline{A}(\underline{r}, t) . \underline{V}(\underline{r}, t) - \underline{t}(\underline{r}, t) : \underline{\nabla} \underline{V}(\underline{r}, t) \right) dxdydz$$

$$\underline{t} = \underline{\alpha} + \underline{\sigma}$$

 $\underline{\underline{t}} = \underline{\underline{\alpha}} + \underline{\underline{\sigma}}$ $\underline{\underline{\alpha}}$ antisymétrique, $\underline{\underline{\sigma}}$ symétrique, $\underline{\underline{d}}$ partie sym. de $\underline{\underline{\nabla}}\underline{\underline{V}}$

Invariance par translation $\Rightarrow \underline{A} = 0$

Invariance par rotation $\Rightarrow \underline{\alpha} = 0$

$$\Rightarrow \mathsf{P} = \int \left(-\underline{\underline{\sigma}}(\underline{r},t) : \underline{\underline{d}}(\underline{r},t) \right) dx dy dz \qquad \underline{\underline{\sigma}} \text{ représente les efforts internes (Pa)}$$











Equations du mouvement:

$$\iiint \rho(\underline{r},t).\underline{a}(\underline{r},t).\underline{\mathring{V}}(\underline{r})dV = \iiint -\underline{\underline{\sigma}}(\underline{r},t):\underline{\underline{\nabla}}\underline{\mathring{V}}(\underline{r})dV + \iiint \rho(\underline{r},t).f(\underline{r},t).\underline{\mathring{V}}(\underline{r})dV + \iint \underline{T}(\underline{r},t).\underline{\mathring{V}}(\underline{r})dS$$
 accéleration forces internes (volume) (de surface)

avec

$$\underline{\underline{\sigma}}(\underline{r},t):\underline{\underline{\nabla}}\underline{\hat{V}}(\underline{r})=\underline{\hat{V}}\underline{div}^t\underline{\underline{\sigma}}-div(\underline{\underline{\sigma}}\underline{\hat{V}})$$

$$\Rightarrow \iiint (\underline{div}^t \underline{\underline{\sigma}} + \rho.(\underline{f} - \underline{a})).\underline{\hat{V}}dV + \iint (\underline{T} - \underline{\underline{\sigma}}.\underline{n}).\underline{\hat{V}}dS = 0, \text{ pour tout sous-système}$$

Conservation des moments (équation du mouvement)

$$\forall \underline{r} \in V \qquad \underline{\underline{div}}\underline{\underline{\sigma}}(\underline{r},t) + \rho(\underline{r},t).\underline{\underline{f}}(\underline{r},t) = \rho(\underline{r},t).\underline{\underline{a}}(\underline{r},t)$$

Conditions aux limites:

$$\forall \underline{r} \in S$$
 $\underline{\underline{\sigma}}(\underline{r},t).\underline{n} = \underline{T}(\underline{r},t)$

⇒ Définition d'un champ de contraintes « *statiquement admissible* »











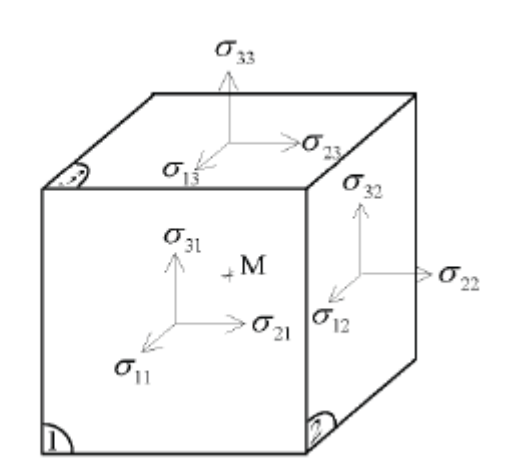
Tenseur des **contraintes** de Cauchy:

(formulation Eulérienne)

$$\underline{\boldsymbol{\sigma}} = \begin{pmatrix} \boldsymbol{\sigma}_{xx} & \boldsymbol{\sigma}_{xy} & \boldsymbol{\sigma}_{xz} \\ \boldsymbol{\sigma}_{yx} & \boldsymbol{\sigma}_{yy} & \boldsymbol{\sigma}_{yz} \\ \boldsymbol{\sigma}_{zx} & \boldsymbol{\sigma}_{zy} & \boldsymbol{\sigma}_{zz} \end{pmatrix}$$

Force par unité de surface exercée le long de la direction α , sur la face normale à la direction y.





surface

Expression des forces: $\underline{F} = \underline{\underline{\sigma}}.\underline{n} \ dS$

Unités: Pa $(1atm = 10^5 Pa)$

vecteur normal

Ordre de grandeur: MPa = 10⁶ Pa





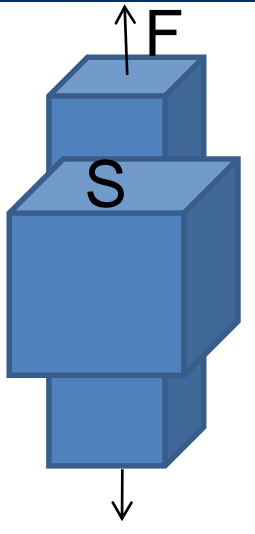




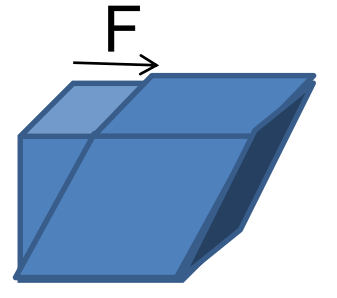


Contraintes de Cauchy:

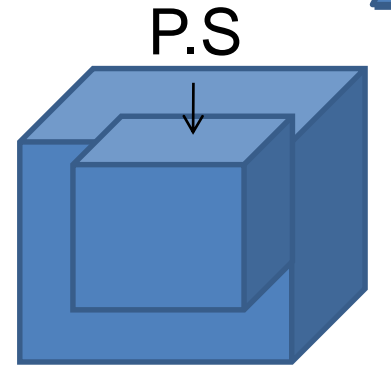
Exemples



$$\underline{\boldsymbol{\sigma}} = \begin{pmatrix} 0 & 0 & 0 \\ 0 & 0 & 0 \\ 0 & 0 & \mathbf{F} \\ \mathbf{S} \end{pmatrix}$$



$$\underline{\boldsymbol{\sigma}} = \begin{pmatrix} 0 & 0 & \frac{\mathbf{F}}{\mathbf{S}} \\ 0 & 0 & 0 \\ \frac{\mathbf{F}}{\mathbf{S}} & 0 & 0 \end{pmatrix}$$



$$\underline{\underline{\sigma}} = \begin{pmatrix} -\mathbf{P} & 0 & 0 \\ 0 & -\mathbf{P} & 0 \\ 0 & 0 & -\mathbf{P} \end{pmatrix} \quad \text{Par définition, pression} \quad \mathbf{P} = -\frac{\mathbf{tr}(\underline{\underline{\sigma}})}{3}$$

$$P = -\frac{tr(\underline{\sigma})}{3}$$











Rappel: Equations du mouvement:

$$\iiint \rho(\underline{r},t)\underline{a}(\underline{r},t)\underline{\hat{V}}(\underline{r})dV = \iiint -\underline{\underline{\sigma}}(\underline{r},t) : \underline{\underline{\nabla}}\underline{\hat{V}}(\underline{r})dV + \iiint \rho(\underline{r},t)\underline{\hat{V}}(\underline{r})dV + \iint \underline{\underline{T}}(\underline{r},t)\underline{\hat{V}}(\underline{r})dV + \iint \underline{\underline{T}}(\underline{r},t)\underline{\hat{V}}(\underline{r})dS$$
 accéleration forces internes forces externes (volume) (de surface)

avec

$$\underline{\underline{\sigma}}(\underline{r},t):\underline{\underline{\nabla}}\underline{\hat{V}}(\underline{r})=\underline{\hat{V}}.\underline{div}^t\underline{\underline{\sigma}}-div(\underline{\underline{\sigma}}.\underline{\hat{V}})$$

$$\iiint(\underline{div}^t\underline{\underline{\sigma}}+\rho.(\underline{f}-\underline{a})).\underline{\hat{V}}dV+\iint(\underline{T}-\underline{\underline{\sigma}}.\underline{n}).\underline{\hat{V}}dS=0 \quad \text{, pour tout sous-système.}$$

Conservation des moments (équation du mouvement)

$$\forall \underline{r} \in V \qquad \underline{\underline{div}}\underline{\underline{\sigma}}(\underline{r},t) + \rho(\underline{r},t).\underline{\underline{f}}(\underline{r},t) = \rho(\underline{r},t).\underline{\underline{a}}(\underline{r},t)$$

Conditions aux limites:

$$\forall \underline{r} \in S$$
 $\underline{\underline{\sigma}}(\underline{r},t).\underline{n} = \underline{T}(\underline{r},t)$











Tenseur de **déformations** de Green - Lagrange \underline{e} :

si
$$\underline{Vb} \rightarrow \underline{vb}$$

et
$$\underline{Wb} \rightarrow \underline{wb}$$
 alors $\underline{vb}.\underline{wb} = \underline{Vb}.\underline{Wb} + 2\underline{Vb}.\underline{e}.\underline{Wb}$

$$\begin{bmatrix} X \\ Y \end{bmatrix}$$
 $\begin{bmatrix} X \\ y \end{bmatrix}$
 $\begin{bmatrix} x \\ y \end{bmatrix}$
 $\begin{bmatrix} z \\ z \end{bmatrix}$

$$\underline{e} = \frac{1}{2} \left(\underline{\nabla} \underline{u} + {}^{t} \underline{\nabla} \underline{u} + {}^{t} \underline{\nabla} \underline{u} . \underline{\nabla} \underline{u} \right)$$
 "tenseur de déformations de Green - Lagrange" (plaques, grandes transformations...)

$$\underline{\varepsilon} = \frac{1}{2} \left(\underline{\nabla} \underline{u} + {}^{t} \underline{\nabla} \underline{u} \right)$$
"tenseur (local) des déformations linéarisées"

⇒ Champ « cinématiquement admissible »

$$\underline{\underline{\Omega}} = \frac{1}{2} \left(\underline{\underline{\nabla}} \underline{\underline{u}} - \underline{\underline{t}} \underline{\underline{\nabla}} \underline{\underline{u}} \right)$$
"tenseur de rotations"

Comportement *élastique*: indépendant du temps, et réversible, dépend d $\underbrace{e}_{=}$

Comportement *visqueux*: dépend de \dot{e}

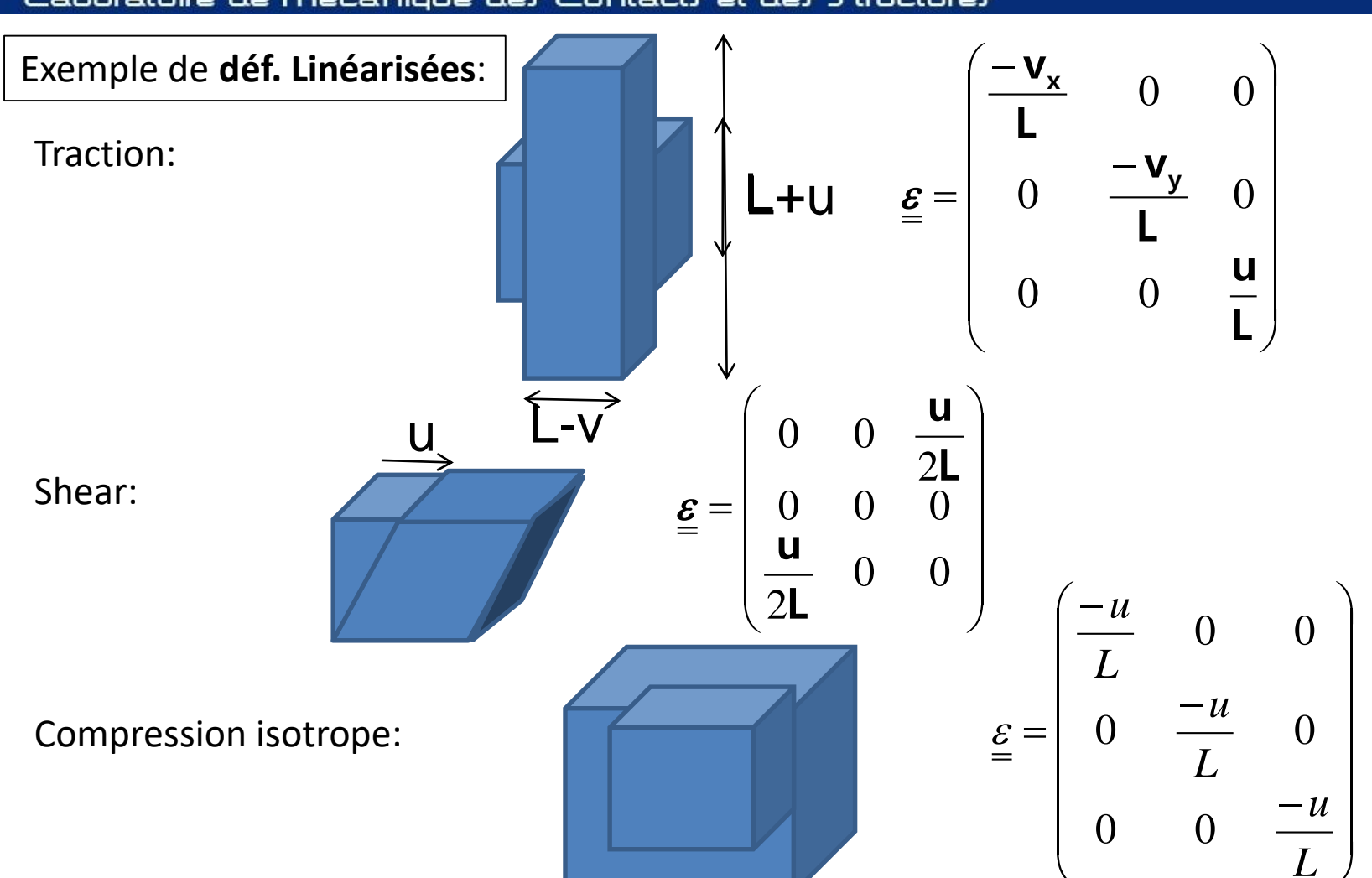












Unités: %. Ordre de grandeur: dans un solide, élasticité OK si ε < 0.1% (métal)

ε< 1% (polymères, amorphes)











Grandeurs mécaniques aux petites échelles

1) Rappel: description classique continue

2)Théorie atomistique de Cauchy-Born (1915)

3)Théorie Multi-échelle de I. Goldhirsch (2003)



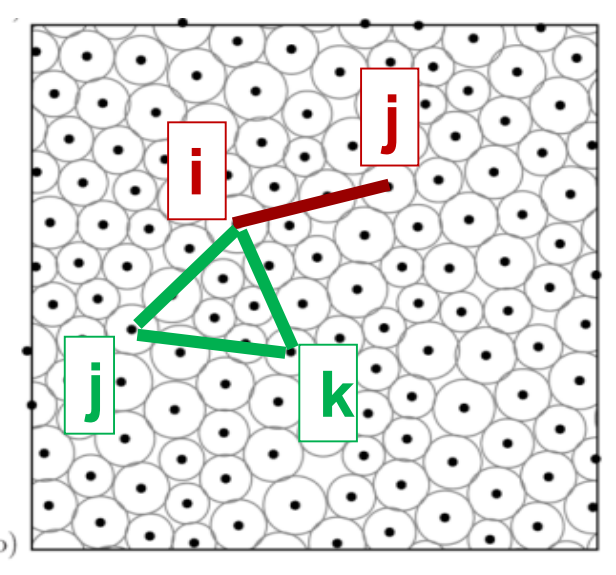








Modélisation microscopique des grandeurs mécaniques:



Expression de l'énergie à plusieurs particules: The Cauchy-Born Theory of Solids (1915)

$$E_{\text{total}}(\underbrace{\left\langle \underline{r_{i}} \right\rangle}) = \sum_{(i,j)} E_{ij}(\underline{r_{ij}}) + \sum_{(i,j,k)} E_{ijk}(\underline{r_{ij}},\underline{r_{jk}},\underline{r_{ik}}) + \dots$$

$$= E_{\text{total}}(\underbrace{\left\langle r_{ij} \right\rangle}) \uparrow \qquad \uparrow$$

N particules

D dimensions

N.D paramètres

-D(D+1)/2 translations et rotations rigides

N.D –D(D+1)/2 distances indépendantes

Interactions 2-corps (Modèle de Cauchy)

Ex. Lennard-Jones
Mousses
Modèle BKS pour Silice

Int. 3-corps Ex. Silicium











Classical Theory of Elasticity:

$$\delta E = \underline{\underline{\sigma}}^0 : \underline{\varepsilon} + \frac{1}{2} \underline{\varepsilon} : \underline{C} : \underline{\varepsilon} + \dots$$

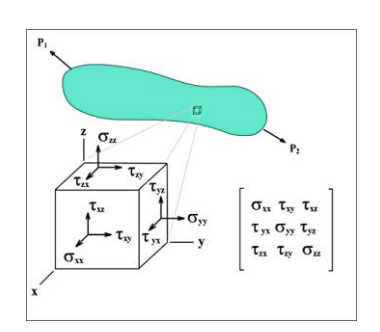
linearized strain tensor
$$\varepsilon_{\alpha\beta} = \frac{1}{2} \left(\frac{\partial u_{\alpha}}{\partial x_{\beta}} + \frac{\partial u_{\beta}}{\partial x_{\alpha}} \right)$$

stress tensor

$$\sigma_{ij} \equiv \frac{\partial E}{\partial \varepsilon_{ij}} \approx \sigma_{ij}^{0} + \sum_{k,l} C_{ijkl} \cdot \varepsilon_{kl}$$

Equations du mouvement:

$$\rho \frac{\partial^2 \underline{\underline{u}}}{\partial t^2} (\underline{\underline{r}}) = \nabla \underline{\underline{\sigma}} + \rho \underline{\underline{f}}$$



Atomic Scale Description:

$$E(\underbrace{r_{ij}}) = \sum_{(i,j)} E_{ij}(\underline{r_{ij}}) + \sum_{(i,j,k)} E_{ijk}(\underline{r_{ij}},\underline{r_{jk}},\underline{r_{ik}}) + \dots$$

2-body interactions

(Cauchy model)

Ex. Lennard-Jones

Foams

BKS model for Silica

3-body inter.

Ex. Silicon

Equations du mouvement sur chaque particule:

$$m_{i}.\frac{\partial^{2} u_{\alpha}}{\partial t^{2}}(\underline{r_{i}}) = -\frac{\partial E_{total}}{\partial r_{i\alpha}} \approx -\sum_{j} M_{ij}^{\alpha\beta}.u_{\beta}(\underline{r_{j}}) + f_{\alpha}(\underline{r_{i}})$$

$$\underline{u}(r_i) \equiv r_i - r_i^0$$
 déplacement











Modélisation microscopique des grandeurs mécaniques:

Expression des forces locales

Force interne exercée sur l'atome i:
$$\underline{f_i}(\{\underline{r}\}) \equiv -\frac{\partial E_{\text{total}}(\{\underline{r}\})}{\partial \underline{r_i}} = \sum_j \underline{f_{ij}}(\{\underline{r}\})$$

Force de l'atome j sur l'at. i:
$$\underline{f_{ij}}(\{\underline{r}\}) \equiv -\frac{\partial \mathrm{E}_{\mathrm{total}}(\{\underline{r}\})}{\partial \underline{r_{ij}}} \ \ \mathrm{avec} \ \ \underline{r_{ij}} \equiv \underline{r_i} - \underline{r_j}$$

$$= -T_{ij}(\{\underline{r}\}) \frac{r_{ij}}{r_{ij}} \text{ et } T_{ij}(\{\underline{r}\}) \equiv \frac{\partial E_{\text{total}}(\{\underline{r}\})}{\partial r_{ij}}$$

Tension de la liaison (i,j) dans la configuration {r}





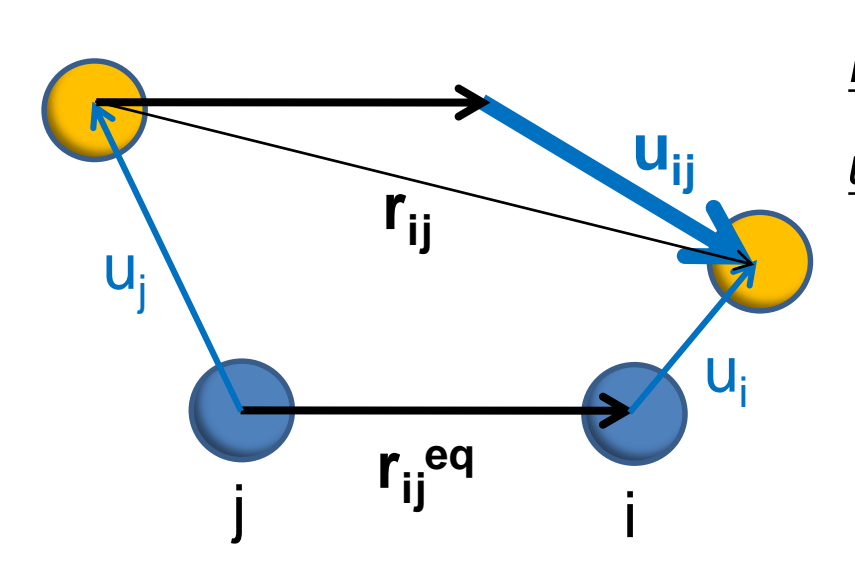






Modélisation microscopique des grandeurs mécaniques:

Déplacements et déformations:



$$\underline{\underline{r}}_{ij}^{eq} \equiv \underline{\underline{r}}_{i}^{eq} - \underline{\underline{r}}_{j}^{eq}$$

$$\underline{\underline{u}}_{i} = \underline{\underline{u}}(\underline{\underline{r}}_{i}^{eq}) = \underline{\underline{u}}(\underline{\underline{r}}_{j}^{eq} + \underline{\underline{r}}_{ij}^{eq})$$

$$\approx \underline{\underline{u}}(\underline{\underline{r}}_{j}^{eq}) + (\underline{\underline{r}}_{ij}^{eq} \cdot \underline{\underline{\nabla}})\underline{\underline{u}}(\underline{\underline{r}}_{j}^{eq})$$

$$\approx \underline{\underline{u}}(\underline{\underline{r}}_{j}^{eq}) + (\underline{\underline{r}}_{ij}^{eq} \cdot \underline{\underline{\nabla}})\underline{\underline{u}}(\underline{\underline{r}}_{i}^{eq} + \underline{\underline{r}}_{j}^{eq})$$







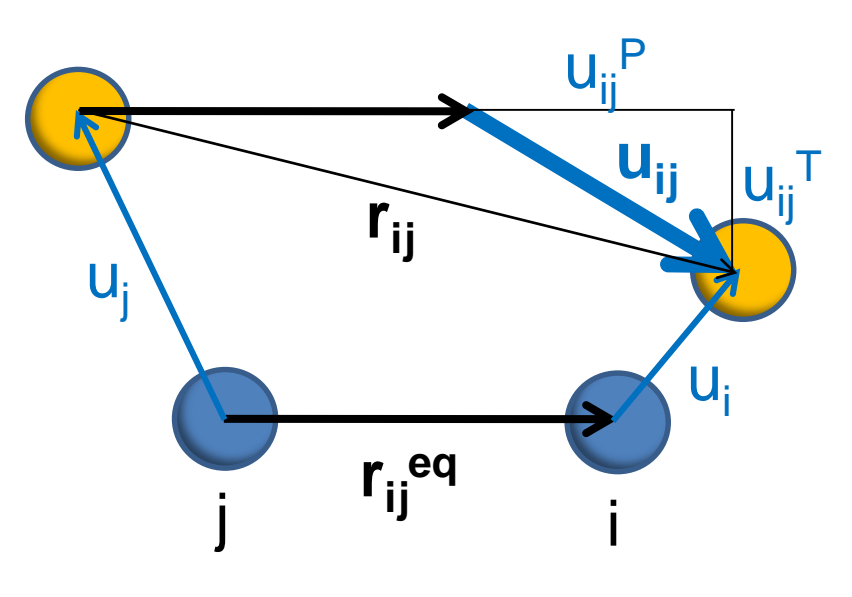




Modélisation microscopique des grandeurs mécaniques:

Déplacements et déformations:

$$\underline{u}_{ij} \equiv \underline{u}_{i} - \underline{u}_{j} \approx \left(\underline{r}_{ij}^{eq} \cdot \underline{\nabla}\right) \underline{u} \left(\frac{\underline{r}_{i}^{eq} + \underline{r}_{j}^{eq}}{2}\right) \approx \left(\sum_{\alpha} r_{ij}^{eq,\alpha} \partial_{\alpha}\right) \underline{u} (\underline{r})$$



$$\underline{u}_{ij} = \underline{u}_{ij}^{P} + \underline{u}_{ij}^{T}$$

$$u_{ij}^{P} = \underline{u}_{ij} \cdot \frac{\underline{r}_{ij}^{eq}}{r_{ij}^{eq}} = (\underline{r}_{ij}^{eq} \cdot \underline{\nabla}) \underline{u} \cdot \frac{\underline{r}_{ij}^{eq}}{r_{ij}^{eq}}$$

$$= \sum_{\alpha} \sum_{\beta} \frac{r_{ij}^{eq, \alpha} r_{ij}^{eq, \beta}}{r_{ij}^{eq}} \partial_{\alpha} u^{\beta} (\underline{r}^{eq})$$

$$\underline{r}^{eq, \alpha} \underline{r}^{eq, \beta} (\underline{r}^{eq})$$











Développement au 1^{er} ordre de l'énergie, contraintes locales:











Développement au 1^{er} ordre de l'énergie, contraintes locales:

$$E_{\text{total}}\left(\left\{\underline{r_{i}}\right\}\right) = E_{\text{total}}\left(\left\{\underline{r_{i}}^{eq}\right\}\right) + \sum_{\alpha} \sum_{\beta} \sum_{i} \sum_{j} \frac{1}{2} T_{ij} \frac{r_{ij}^{eq,\alpha} r_{ij}^{eq,\alpha}}{r_{ij}^{eq}} \mathcal{E}_{\alpha\beta} + \dots$$

A comparer avec:
$$E_{\rm total} = \iiint dV \sum_{\alpha} \sum_{\beta} \sigma^0_{\alpha\beta} \mathcal{E}_{\alpha\beta} +$$

$$\Rightarrow \sum_{i} \iiint_{V_{i}} \sigma^{0}_{\alpha\beta}(\underline{r}) dV = \sum_{i} \sigma^{0}_{\alpha\beta}(i) . V_{i} = \sum_{i} \frac{1}{2} T_{ij} \frac{r_{ij}^{eq,\alpha} r_{ij}^{eq,\beta}}{r_{ij}^{eq}}$$

Contrainte locale:
$$\sigma^{0}_{\alpha\beta}(i) = \frac{1}{V_{i}} \sum_{j} \frac{1}{2} T_{ij} \frac{r_{ij}^{eq,\alpha} r_{ij}^{eq,\beta}}{r_{ij}^{eq}} \qquad (Pa)$$

Volume de Voronoï











Grandeurs mécaniques aux petites échelles

1) Rappel: description classique continue

2)Théorie atomistique de Cauchy-Born (1915)

3)Théorie Multi-échelle de I. Goldhirsch (2003)







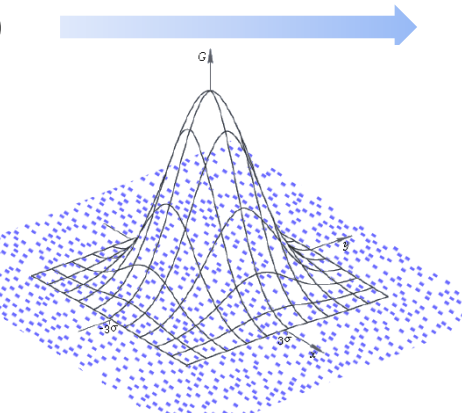




Théorie Multi-échelle de I. Goldhirsch (2003)

$$\rho^{mic}(\vec{r},t) = \sum_{i} m_{i} \delta(\vec{r} - \vec{r}_{i})$$

Coarse-Graining « lissage gros grains » à l'échelle ω



$$\rho_{CG}(\vec{r},t) = \sum_{i} m_{i} \varphi(\vec{r} - \vec{r}_{i}(t))$$

fonction de Coarse-Graining:

$$\varphi(\vec{r} - \vec{r}_i) = \frac{1}{(2\pi\omega)^{D/2}} e^{-\frac{\|\vec{r} - \vec{r}_i\|^2}{2\omega^2}}$$

Conservation de la masse
$$\frac{\partial \rho_{CG}}{\partial t} + div(\rho_{CG}\vec{v}_{CG}) = 0 \Rightarrow \vec{v}_{CG}(\vec{r}, t) = \frac{\sum_i m_i \vec{v}_i(t) \varphi(\vec{r} - \vec{r}_i)}{\sum_i m_i \varphi(\vec{r} - \vec{r}_i)}$$

$$\Rightarrow \vec{u}_{CG}(\vec{r},t) = \int_{t_0}^t \vec{v}_{CG}(\vec{r},t')dt' = \cdots \Rightarrow \bar{\bar{\varepsilon}}_{CG}(\vec{r},t)$$
 Champ de déformations, continu

Conservation du moment
$$\frac{\partial \left(\rho_{CG} v^{\alpha}{}_{CG}(\vec{r},t)\right)}{\partial t} = \frac{\partial}{\partial r_{\beta}} \sigma_{\alpha\beta}(\vec{r},t) - \frac{\partial}{\partial r_{\beta}} \left(\rho_{CG} v^{\alpha}{}_{CG} v^{\beta}{}_{CG}\right)$$

$$\Rightarrow \sigma_{CG}^{\alpha\beta}(\vec{r},t) \approx -\frac{1}{2} \sum_{i,j} f_{ij\alpha}(t) r_{ij\beta}(t) \int_{0}^{1} ds \, \varphi(\vec{r} - \vec{r}_{i} - s\vec{r}_{ij})$$

Champ de contraintes, continu



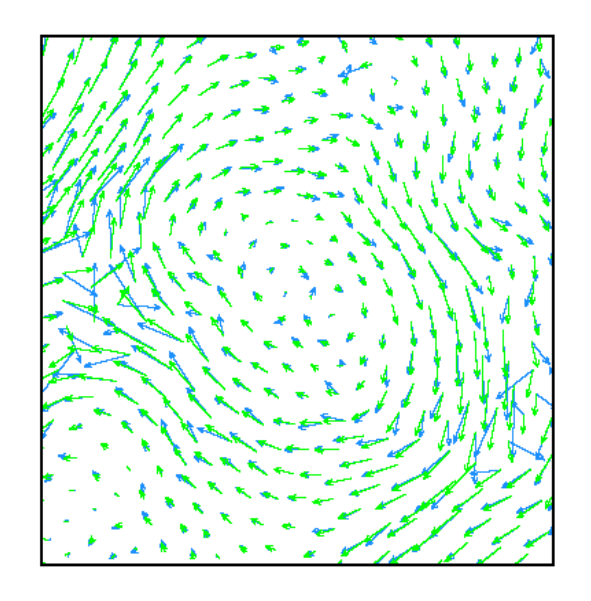






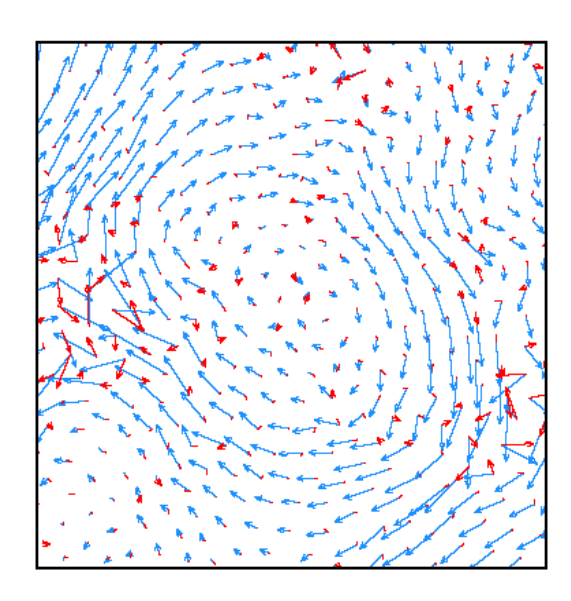


Comparaison des déplacements atomiques et coarse-grained dans un verre de Lennard-Jones 2D

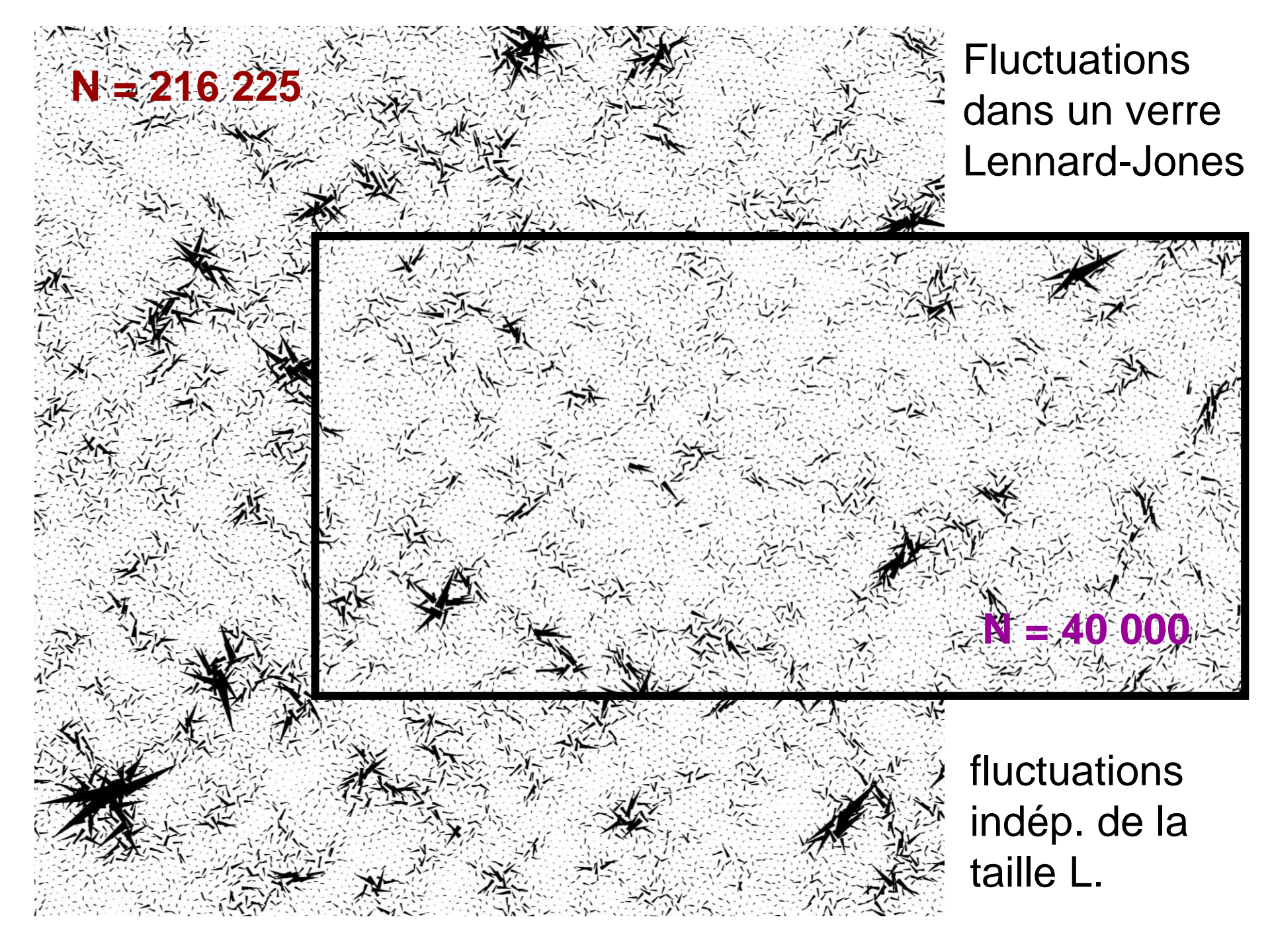


 $\vec{u}_{CG}(\vec{r}_i)$ et \vec{u}_i

Déplacements coarse-grained



$$\vec{u}'(\vec{r}_i) = (\vec{u}_{CG}(\vec{r}_i) - \vec{u}_i) \ et \ \vec{u}_i$$
 Fluctuations





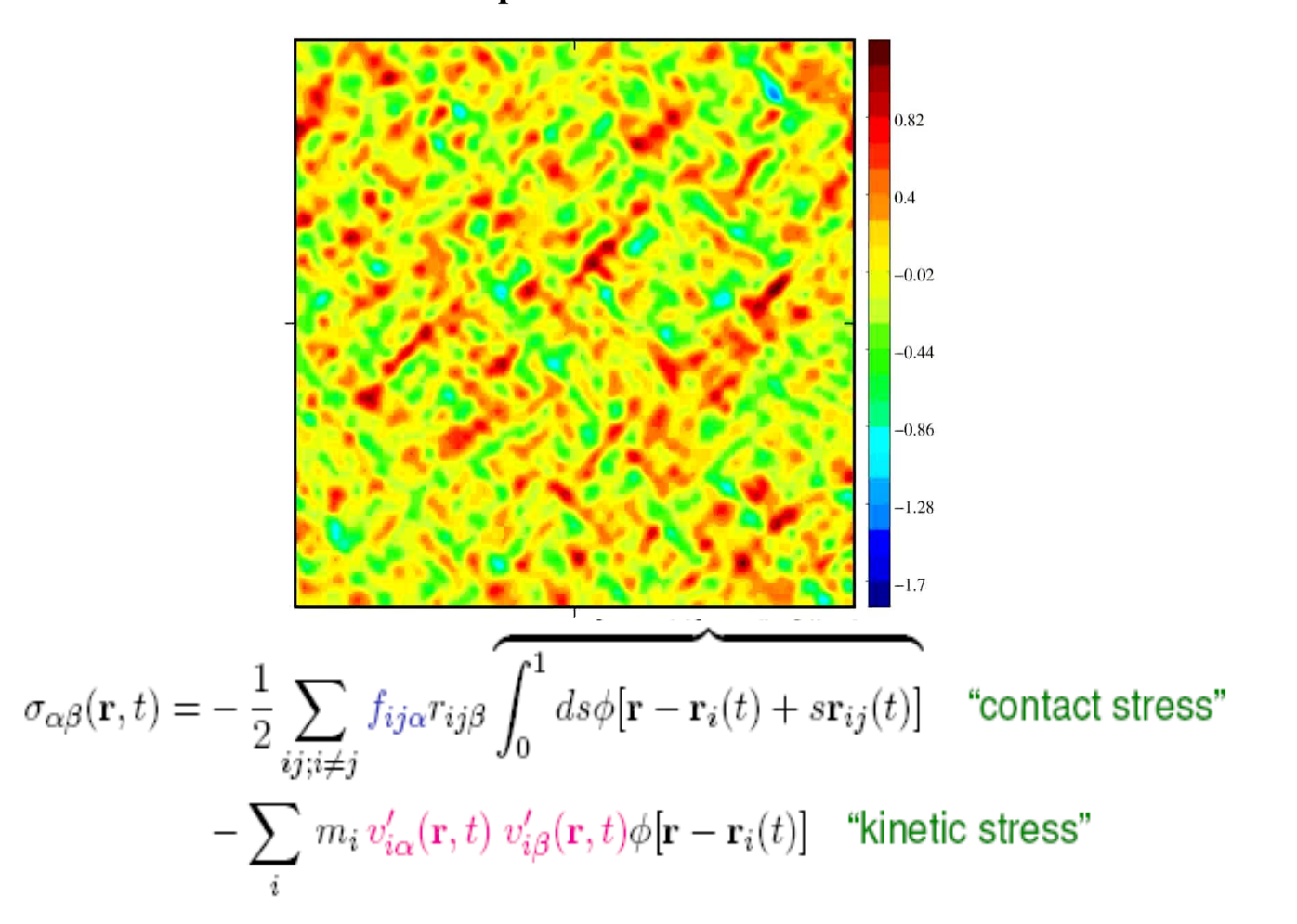








Cartographie des contraintes de cisaillement coarse-grained dans un verre de Lennard-Jones 2D sous cisaillement macroscopique Step= 2





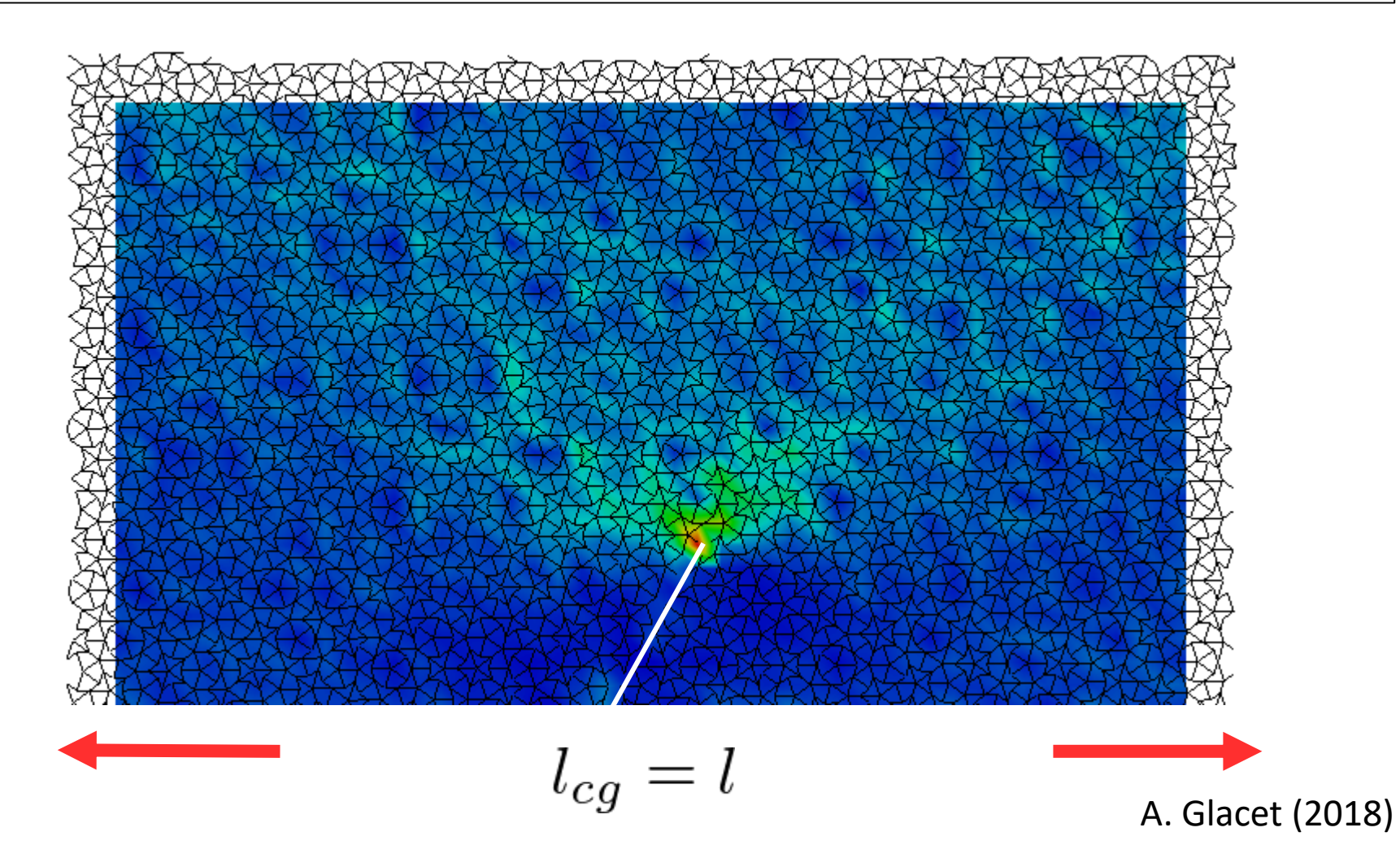








Energie mécanique Coarse-Grained dans un Réseau de poutres type Penrose avec une fissure













Outline

Introduction: le comportement des matériaux à différentes échelles

- I. Comment définir des grandeurs mécaniques aux petites échelles?
- II. Exemple des lois de comportement linéaires
- III. Plasticité à l'échelle atomique

Conclusion et Perspectives











Lois de comportement Linéaires

1) Rappel: visco-élasticité linéaire

2) Modules d'Elasticité de Cauchy-Born (1915)

3) Identification Multi-échelle des paramètres, I. Goldhirsch (2003)











Lois de comportement Linéaires

1) Rappel: visco-élasticité linéaire

2) Modules d'Elasticité de Cauchy-Born (1915)

3) Paramètres Multi-échelle de I. Goldhirsch (2003)











Rappel: Equations du mouvement

$$\iiint \rho(\underline{r},t)\underline{a}(\underline{r},t)\underline{\hat{V}}(\underline{r})dV = \iiint -\underline{\underline{\sigma}}(\underline{r},t)\underline{\hat{V}}(\underline{r})dV + \iiint \rho(\underline{r},t)\underline{\hat{V}}(\underline{r})dV + \iint \underline{\underline{T}}(\underline{r},t)\underline{\hat{V}}(\underline{r})dV + \iint \underline{\underline{T}}(\underline{r},t)\underline{\hat{V}}(\underline{r})dV + \iint \underline{\underline{T}}(\underline{r},t)\underline{\hat{V}}(\underline{r})dS$$
 accéleration forces internes forces externes (volume) (de surface)

avec

$$\underline{\underline{\sigma}}(\underline{r},t):\underline{\underline{\nabla}}\underline{\hat{V}}(\underline{r})=\underline{\hat{V}}.\underline{div}^t\underline{\underline{\sigma}}-div(\underline{\underline{\sigma}}.\underline{\hat{V}})$$

$$\iiint(\underline{div}^t\underline{\underline{\sigma}}+\rho.(\underline{f}-\underline{a})).\underline{\hat{V}}dV+\iint(\underline{T}-\underline{\underline{\sigma}}.\underline{n}).\underline{\hat{V}}dS=0 \quad \text{, pour tout sous-système.}$$

Conservation des moments (équation du mouvement)

$$\forall \underline{r} \in V \qquad \underline{\underline{div}}\underline{\underline{\sigma}}(\underline{r},t) + \rho(\underline{r},t).\underline{\underline{f}}(\underline{r},t) = \rho(\underline{r},t).\underline{\underline{a}}(\underline{r},t)$$

Conditions aux limites:

$$\forall \underline{r} \in S$$
 $\underline{\underline{\sigma}}(\underline{r},t).\underline{n} = \underline{T}(\underline{r},t)$











Les 3 équations du mouvement ont **9 inconnues** $(\underline{\sigma}, \underline{u})$

Il est donc nécessaire d'y ajouter des équations de comportement

$$\underline{\underline{\sigma}}(\vec{r},t) = f(\vec{R},\vec{R}',\vec{r}(t'),\vec{r}'(t'),t,...)$$

Ces 6 équations de comportement doivent respecter les symétries matériaux et les symétries induites par les principes de la thermodynamique.

De plus, on peut faire des hypothèses simplificatrices:

Principe de *localité*: ne dépend que de l'environnement de \vec{r}

Hypothèse de *simplicité matérielle*: dépendance dans le premier gradient de la transformation











Energie mécanique

Travail des forces internes

pour un champ de déplacement cinématiquement admissible, ou un champ de contraintes statiquement admissible, « travail de déformation »:

$$W = \int_{Vol} \vec{f} . \vec{u} dV + \int_{Surf} \vec{T} . \vec{u} dS = \int_{Vol} \left(\underline{\underline{\sigma}}(\underline{r}, t) : \underline{\underline{\varepsilon}}(\underline{r}, t) \right) dV = \int_{Vol} Tr \left(\underline{\underline{\sigma}}(\underline{r}, t) . ^t \underline{\underline{\varepsilon}}(\underline{r}, t) \right) dV$$

Densité volumique de potentiel d'élasticité:

Pour un passage d'un état (σ, ε) à $(\sigma+d\sigma, \varepsilon+d\varepsilon)$

$$d\pi = Tr\left(\underline{\underline{\sigma}}.d^{t}\underline{\underline{\varepsilon}}\right) = \sigma_{ij}d\varepsilon_{ij}$$

d'où
$$\left| \frac{\partial \sigma_{ij}}{\partial \varepsilon_{kl}} = \frac{\partial \sigma_{kl}}{\partial \varepsilon_{ij}} = \frac{\partial^2 \pi}{\partial \varepsilon_{kl} \partial \varepsilon_{ij}} \right|$$

Energie interne volumique:

$$du = d\pi + Tds$$

s, entropie par unité de volume

En régime *adiabatique*, π est l'énergie interne volumique (du=d π) En conditions *isothermes*, π est aussi l'énergie libre volumique (df=du-Tds-sdT=d π +0)











Lois de comportement Linéaires en Visco-Elasticité Classique

Loi de Hooke (Elasticité Linéaire)

$$\sigma_{ij}^E = \sigma_{ij}^0 + \sum_{k,l} C_{ijkl} \varepsilon_{kl}$$



$$C_{ijkl} = C_{jikl} = C_{ijlk} = C_{klij}$$

cas d'un milieu isotrope:

$$\sigma_{ij}^{E} = \sigma_{ij}^{0} + 2\mu\varepsilon_{ij} + \lambda\delta_{ij}tr\bar{\bar{\varepsilon}}$$

Loi de Newton (Viscosité Linéaire)

$$\sigma_{ij}^{V} = \sum_{l,l} H_{ijkl} D_{kl} \text{ avec } \overline{\overline{D}} = {}^{S} \overline{\overline{V}} \vec{v}$$

cas d'un milieu isotrope:
$$\sigma_{ij}^{V} = \eta D_{ij} + (\xi - \frac{2}{3}\eta) \delta_{ij} tr \overline{\overline{D}}$$



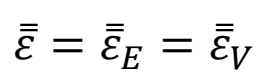
Solide de Maxwell

$$\bar{\bar{\varepsilon}} = \bar{\bar{\varepsilon}}_E + \bar{\bar{\varepsilon}}_V$$

(après dérivation et intégration)

$$ar{ar{\sigma}}_E = ar{ar{\sigma}}_H = ar{ar{\sigma}} = ar{ar{ar{A}}} * ar{ar{D}}$$









$$\bar{\bar{\sigma}} = \bar{\bar{\sigma}}_E + \bar{\bar{\sigma}}_V = \bar{\bar{\sigma}}^0 + \bar{\bar{\bar{C}}}: \bar{\bar{\varepsilon}} + \bar{\bar{\bar{H}}}: \bar{\bar{D}}$$











Loi de Hooke

$$\begin{bmatrix} \sigma_{11} \\ \sigma_{22} \\ \sigma_{33} \\ \sigma_{23} \\ \sigma_{31} \\ \sigma_{12} \end{bmatrix} = \begin{bmatrix} C_{1111} & C_{1122} & C_{1133} & C_{1123} & C_{1131} & C_{1112} \\ C_{2211} & C_{2222} & C_{2233} & C_{2223} & C_{2231} & C_{2212} \\ C_{3311} & C_{3322} & C_{3333} & C_{3323} & C_{3331} & C_{3312} \\ C_{2311} & C_{2322} & C_{2333} & C_{2323} & C_{2331} & C_{2312} \\ C_{3111} & C_{3122} & C_{3133} & C_{3123} & C_{3131} & C_{3112} \\ C_{1211} & C_{1222} & C_{1233} & C_{1223} & C_{1231} & C_{1212} \end{bmatrix} \cdot \begin{bmatrix} \varepsilon_{11} \\ \varepsilon_{22} \\ \varepsilon_{33} \\ 2 \varepsilon_{23} \\ 2 \varepsilon_{31} \\ 2 \varepsilon_{12} \end{bmatrix}$$

$$(11) \leftrightarrow 1$$

$$(22) \leftrightarrow 2$$

$$(33) \leftrightarrow 3$$

$$(23) \leftrightarrow 4$$

$$(31) \leftrightarrow 5$$

$$(12) \leftrightarrow 6$$

Notation de Voigt

$$\begin{bmatrix} \sigma_1 \\ \sigma_2 \\ \sigma_3 \\ \sigma_4 \\ \sigma_5 \\ \sigma_6 \end{bmatrix} = \begin{bmatrix} C_{11} & C_{12} & C_{13} & C_{14} & C_{15} & C_{16} \\ C_{21} & C_{22} & C_{23} & C_{24} & C_{25} & C_{26} \\ C_{31} & C_{32} & C_{33} & C_{34} & C_{35} & C_{36} \\ C_{41} & C_{42} & C_{43} & C_{44} & C_{45} & C_{46} \\ C_{51} & C_{52} & C_{53} & C_{54} & C_{55} & C_{56} \\ C_{61} & C_{62} & C_{63} & C_{64} & C_{65} & C_{66} \end{bmatrix} \cdot \begin{bmatrix} \varepsilon_1 \\ \varepsilon_2 \\ \varepsilon_3 \\ 2 \varepsilon_4 \\ 2 \varepsilon_5 \\ 2 \varepsilon_6 \end{bmatrix}$$











autour d'un axe)

Loi de Hooke: rôle des symétries matériau

$$= = = = -1 = = = -1 = = = -1$$

$$\forall \varepsilon \quad S.\sigma.S = S.C.\varepsilon.S = C.S.\varepsilon.S$$

_	Système	Grp ponetuel Tenseur de raideur							
	cristallin	de symétrie							
_			\widetilde{C}_{11}	\widehat{C}_{12}	\widehat{C}_{12}	Ô	Ô	Ô	
		23		C_{12} C_{11}	C_{12}	0	0	0	
	Cubique	$m\overline{3}$				0	0	0	
		432				C_{44}	0	0	
a a	3 modules	$\overline{4}$ 3m					C_{44}	0	
(3_	axes équivalents)	$m\overline{3}m$						C_{44}	
		6	C_{11}	C_{12}	C_{13}	0	0	0]	
a≠c		$\overline{6}$		C_{12} C_{11}	C_{13}	0	0	0	
c		6/m				0		0	
	Hexagonal	622				C_{44}	0	0	
		$6\mathrm{mm}$					C_{44}	0	
a	6 modules	<u>6</u> 2m						C_{66}	
(inva	ariance par rotatio	n 6/mmm	L]	





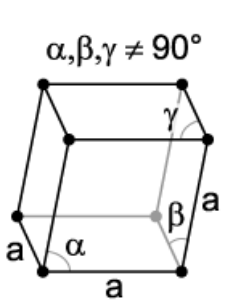






Loi de Hooke: rôle des symétries matériau

$$\exists = = = -1$$
 $= = = = -1$ $= = = = -1$ $\forall \varepsilon$ $S.\sigma.S = S.C.\varepsilon.S = C.S.\varepsilon.S$



32 3m 3m Trigonal











Loi de Hooke: rôle des symétries matériau

$$\exists = = = -1$$
 $\equiv = = -1$ $\equiv = = -1$ $\forall \varepsilon$ $S.\sigma.S = S.C.\varepsilon.S = C.S.\varepsilon.S$

	Système	Groupe ponetuel		Tenseur de					
_	cristallin	de symétrie	raideur						
a ≠ c c	Tétragonal	422 4mm 4 2m 4/mmm	$\begin{bmatrix} C_{11} \end{bmatrix}$	$C_{12} \\ C_{11}$	C_{13} C_{13} C_{33}	$0 \\ 0 \\ 0 \\ C_{44}$	$0 \\ 0 \\ 0 \\ 0 \\ C_{44}$	$\begin{bmatrix} 0 \\ 0 \\ 0 \\ 0 \\ 0 \\ C_{66} \end{bmatrix}$	
	(quadratique)		C_{11}	C_{12}	C_{13}	0	0	C_{16}	
		4		C_{11}	C_{13}	0	0	$-C_{16}$	
		$\overline{4}$			C_{33}	0	0	0	
	6 modules	4/m				C_{44}	0	0	
(2 axes de symétrie équiva		uivalents)					C_{44}	0	
								C_{66}	

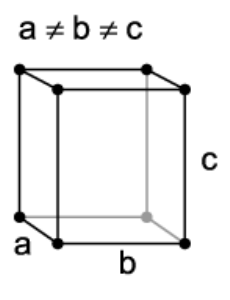












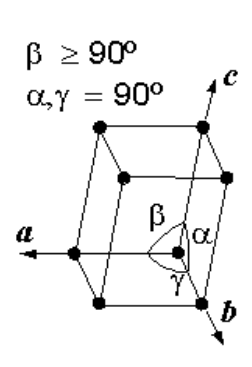
222

Orthorhombique mm2

9 modules mmm

(2 axes de symétrie orthogonaux)

C_{11}	C_{12}	C_{13}	0	0	0
	C_{22}	C_{23}	0	0	0
		C_{33}	0	0	0
			C_{44}	0	0
				C_{55}	0
Ĺ					C_{66}



2

Monoclinique 1

m 2/m

13 modules (1 plan de symétrie)

$$\begin{bmatrix} C_{11} & C_{12} & C_{13} & 0 & C_{15} & 0 \\ & C_{22} & C_{23} & 0 & C_{25} & 0 \\ & & C_{33} & 0 & C_{35} & 0 \\ & & & C_{44} & 0 & C_{46} \\ & & & & C_{55} & 0 \\ & & & & & C_{66} \end{bmatrix}$$

$$\alpha, \beta, \gamma \neq 90^{\circ}$$

Triclinique

21 modules





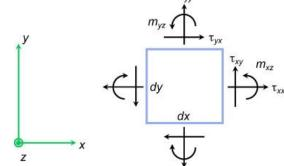








Modèle Linéaire de Cosserat



$$\epsilon_{xx} = \frac{\partial u_x}{\partial x}, \qquad \epsilon_{yy} = \frac{\partial u_y}{\partial y}. \quad \epsilon_{xy} = \frac{\partial u_y}{\partial x} - \omega_z, \qquad \epsilon_{yx} = \frac{\partial u_x}{\partial y} + \omega_z. \quad \text{Micro-courbures} \quad \kappa_{xz} = \frac{\partial \omega_z}{\partial x}, \qquad \kappa_{yz} = \frac{\partial \omega_z}{\partial y}, \\ \epsilon = \left[\epsilon_{xx}, \epsilon_{yy}, \epsilon_{zz}, \epsilon_{xy}, \epsilon_{yx}, \kappa_{xz}l, \kappa_{yz}l\right],$$

$$\sigma = [\sigma_{xx}, \sigma_{yy}, \sigma_{zz}, \sigma_{xy}, \sigma_{yx}, m_{xz}/l, m_{yz}/l],$$
 Couples

$$\boldsymbol{\sigma} = \mathbf{D}^{e} \boldsymbol{\epsilon}, \quad \mathbf{D}^{e} = \begin{bmatrix} \lambda + 2\mu & \lambda & \lambda & 0 & 0 & 0 & 0 \\ \lambda & \lambda + 2\mu & \lambda & 0 & 0 & 0 & 0 \\ \lambda & \lambda & \lambda + 2\mu & 0 & 0 & 0 & 0 \\ 0 & 0 & 0 & \mu + \mu_{c} & \mu - \mu_{c} & 0 & 0 \\ 0 & 0 & 0 & \mu - \mu_{c} & \mu + \mu_{c} & 0 & 0 \\ 0 & 0 & 0 & 0 & 0 & 0 & 2\mu * & 0 \\ 0 & 0 & 0 & 0 & 0 & 0 & 0 & 2\mu * \end{bmatrix}$$

Module de Flexion











Lois de comportement Linéaires

1) Rappel: visco-élasticité linéaire

2) Modules d'Elasticité de Cauchy-Born (1915)

3) Paramètres Multi-échelle de I. Goldhirsch (2003)











Classical Theory of Elasticity:

$$\delta \mathbf{E} = \underline{\underline{\sigma}}^0 : \underline{\varepsilon} + \frac{1}{2} \underline{\varepsilon} : \underline{C} : \underline{\varepsilon} + \dots$$

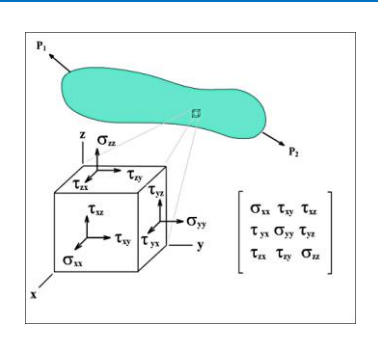
linearized strain tensor
$$\varepsilon_{\alpha\beta} \equiv \frac{1}{2} \left(\frac{\partial u_{\alpha}}{\partial x_{\beta}} + \frac{\partial u_{\beta}}{\partial x_{\alpha}} \right)$$

stress tensor

$$\sigma_{ij} \equiv \frac{\partial E}{\partial \varepsilon_{ij}} pprox \sigma_{ij}^0 + \sum_{k,l} C_{ijkl} . \varepsilon_{kl}$$

Equations du mouvement:

$$\rho \frac{\partial^2 \underline{u}}{\partial t^2} (\underline{r}) = \nabla \underline{\underline{\sigma}} + \underline{f}$$



Atomic Scale Description:

$$E(\underbrace{\underline{r_{ij}}}) = \sum_{(i,j)} E_{ij}(\underline{r_{ij}}) + \sum_{(i,j,k)} E_{ijk}(\underline{r_{ij}},\underline{r_{jk}},\underline{r_{ik}}) + \dots$$

2-body interactions

(Cauchy model)

Ex. Lennard-Jones

Foams

BKS model for Silica

3-body inter.

Ex. Silicon

Equations du mouvement sur chaque particule:

$$m_{i}.\frac{\partial^{2}u_{\alpha}}{\partial t^{2}}(\underline{r_{i}}) = -\frac{\partial E_{total}}{\partial r_{i\alpha}} \approx -\sum_{j} M_{ij}^{\alpha\beta}.u_{\beta}(\underline{r_{j}}) + f_{\alpha}(\underline{r_{i}})$$

$$\underline{u}(r_i) \equiv r_i - r_i^0$$
 déplacement



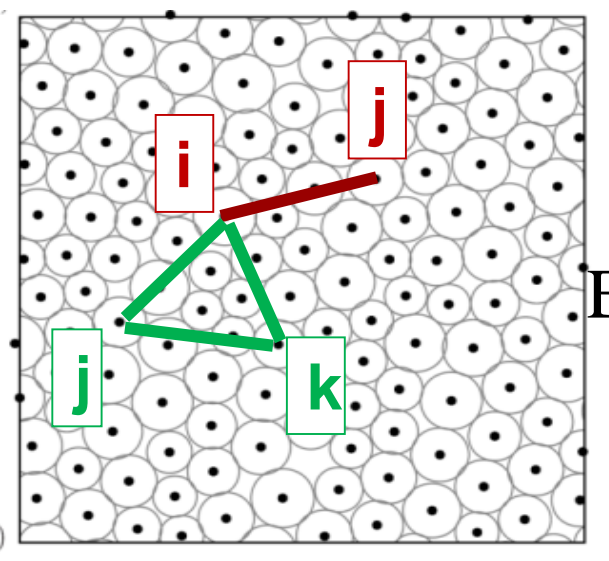








Modélisation microscopique des grandeurs mécaniques:



The Cauchy-Born Theory of Solids (1915)

Expression de l'énergie d'interaction:

 $E_{\text{total}}(\underbrace{\left\langle \underline{r_{i}} \right\rangle}) = \sum_{(i,j)} E_{ij}(\underline{r_{ij}}) + \sum_{(i,j,k)} E_{ijk}(\underline{r_{ij}},\underline{r_{jk}},\underline{r_{ik}}) + \dots$ $= E_{\text{total}}(\underbrace{\left\langle \underline{r_{ij}} \right\rangle})$

N particules

D dimensions

N.D paramètres

-D(D+1)/2 mouvements de corps rigide (translation, rotations)

N.D –D(D+1)/2 distances indépendantes

interactions à 2-corps (modèle de Cauchy) Ex. solides ioniques, mousses

inter. à 3-corps

Ex. sol. covalents











Développement au 2^{ème} ordre de l'énergie, modules d'élasticité:

$$\mathbf{E}_{\text{total}}\left(\!\left\{\!\underline{r_{i}}\!\right\}\!\right) = \mathbf{E}_{\text{total}}\left(\!\left\{\!\underline{r_{i}}^{eq}\right\}\!\right) + \frac{1}{2}\sum_{i}\sum_{j}\frac{\partial \mathbf{E}_{\text{total}}}{\partial \underline{r_{ij}}}.\underline{u_{ij}} + \frac{1}{2!}\sum_{(i,j)(k,l)}\underline{u_{ij}}.\frac{\partial^{2}\mathbf{E}_{\text{total}}}{\partial \underline{r_{ij}}\partial \underline{r_{kl}}}.\underline{u_{kl}} + \dots$$
avec

$$\underline{u_{ij}} \cdot \frac{\partial^{2} \mathbf{E}_{\text{total}}}{\partial \underline{r_{ij}} \partial \underline{r_{kl}}} \cdot \underline{u_{kl}} = \sum_{\alpha} \sum_{\beta} \frac{\partial^{2} \mathbf{E}_{\text{total}}}{\partial r_{ij}^{\alpha} \partial r_{kl}^{\beta}} \cdot \underline{u_{ij}^{\alpha}} \cdot \underline{u_{kl}^{\beta}} = \sum_{\alpha} \sum_{\beta} \frac{\partial}{\partial r_{kl}^{\beta}} \left(\frac{\partial \mathbf{E}_{\text{total}}}{\partial r_{ij}} \cdot \frac{r_{ij}^{\alpha}}{r_{ij}} \right) \underline{u_{ij}^{\alpha}} \cdot \underline{u_{kl}^{\beta}}$$

$$=\sum_{\alpha}\sum_{\beta}\frac{\partial^{2}E_{\text{total}}}{\partial r_{ij}\partial r_{kl}}\cdot\frac{r_{kl}^{\beta}}{r_{kl}}\cdot\frac{r_{ij}^{\alpha}}{r_{ij}}u_{ij}^{\alpha}u_{kl}^{\beta}+\sum_{\alpha}\sum_{\beta}\frac{\partial E_{\text{total}}}{\partial r_{ij}}.\mathcal{S}_{(ij),(kl)}u_{ij}^{\alpha}u_{kl}^{\beta}\left(\frac{\mathcal{S}_{\alpha\beta}}{r_{ij}}-\frac{r_{ij}^{\alpha}.r_{ij}^{\beta}}{r_{ij}^{3}}\right)$$

$$= \frac{\partial^{2} \mathbf{E}_{\text{total}}}{\partial r_{ij} \partial r_{kl}} . u_{ij}^{P} . u_{kl}^{P} + T_{ij} . \delta_{(ij),(kl)} . \frac{\left(u_{ij}^{T}\right)^{2}}{r_{ij}} \mathbf{K}$$

Elongation de la liaison

Rotation

Raideurs locales











Développement au 2^{ème} ordre de l'énergie, modules d'élasticité:

Approximation de Born-Huang pour les modules d'élasticité:

 $T_{ij}=0$

soit: absence de contraintes « gelées ».

$$E_{\text{total}}^{Q}\left(\left\{\underline{r_{i}}\right\}\right) \approx \frac{1}{2!} \sum_{(ij),(kl)} \frac{\partial^{2} E_{\text{total}}}{\partial r_{ij} \partial r_{kl}} . u_{ij}^{P} . u_{kl}^{P}$$

$$=\frac{1}{2!}\sum_{\alpha}\sum_{\beta}\sum_{\gamma}\sum_{\delta}\sum_{(ij),(kl)}\frac{\partial^{2}E_{total}}{\partial r_{ij}\partial r_{kl}}\cdot\frac{r_{ij}^{eq,\alpha}.r_{ij}^{eq,\beta}.r_{kl}^{eq,\gamma}.r_{kl}^{eq,\delta}}{r_{ij}^{eq}.r_{kl}^{eq}}.\mathcal{E}_{\alpha\beta}.\mathcal{E}_{\gamma\delta}$$











Développement au 2^{ème} ordre de l'énergie, modules d'élasticité:

$$E_{\text{total}}^{Q}\left(\left\{\underline{r_{i}}\right\}\right) \approx \frac{1}{2!} \sum_{\alpha} \sum_{\beta} \sum_{\gamma} \sum_{\delta} \sum_{(ij),(kl)} \frac{\partial^{2} E_{\text{total}}}{\partial r_{ij} \partial r_{kl}} \cdot \frac{r_{ij}^{eq,\alpha} . r_{ij}^{eq,\beta} . r_{kl}^{eq,\beta} . r_{kl}^{eq,\delta}}{r_{ij}^{eq} . r_{kl}^{eq}} . \varepsilon_{\alpha\beta} . \varepsilon_{\gamma\delta}$$

A comparer avec:

$$E_{\text{total}}^{Q} = \iiint dV \frac{1}{2} \underline{\varepsilon} : \underline{C} : \underline{\varepsilon}$$

$$C_{\alpha\beta\gamma\delta}(i) = \frac{1}{V_{i}} \sum_{(i_{1}i_{2}i_{3}i_{4})} \frac{\partial^{2}E_{\text{total}}}{\partial r_{i_{1}i_{2}} \partial r_{i_{3}i_{4}}} \cdot \frac{r_{i_{1}i_{2}}^{eq,\alpha}.r_{i_{1}i_{2}}^{eq,\beta}.r_{i_{3}i_{4}}^{eq,\beta}.r_{i_{3}i_{4}}^{eq,\beta}.n_{(i_{1}i_{2}i_{3}i_{4})}}{r_{i_{1}i_{2}}^{eq}.r_{i_{3}i_{4}}^{eq}}.n_{(i_{1}i_{2}i_{3}i_{4})} \quad i \in (i_{1}i_{2}i_{3}i_{4})$$











Développement au 2^{ème} ordre de l'énergie, modules d'élasticité:

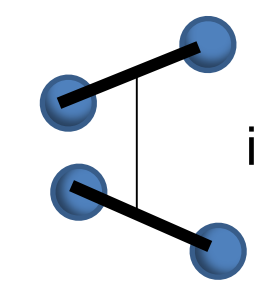
$$C_{\alpha\beta\gamma\delta}(i) = \frac{1}{V_{i}} \sum_{(i_{1}i_{2}i_{3}i_{4})} \frac{\partial^{2}E_{\text{total}}}{\partial r_{i_{1}i_{2}} \partial r_{i_{3}i_{4}}} \cdot \frac{r_{i_{1}i_{2}}^{eq,\alpha}.r_{i_{1}i_{2}}^{eq,\beta}.r_{i_{3}i_{4}}^{eq,\beta}.r_{i_{3}i_{4}}^{eq,\beta}.r_{i_{3}i_{4}}^{eq,\beta}.n$$

Contribution termes à 2-corps (forces centrales): $(i_1i_2)=(i_3i_4) \rightarrow n=1/2$



Contribution 3-corps (flexion angulaire): $i=i_1$ and $i=i_3$ or $i=i_4 \rightarrow n=2/3$

Interactions 4-body (twists): $(i_1i_2) \neq (i_3i_4) \rightarrow n=1/2$













Développement au 2^{ème} ordre de l'énergie, modules d'élasticité:

$$C_{\alpha\beta\gamma\delta}(i) = \frac{1}{V_{i}} \sum_{(i_{1}i_{2}i_{3}i_{4})} \frac{\partial^{2}E_{\text{total}}}{\partial r_{i_{1}i_{2}}\partial r_{i_{3}i_{4}}} \cdot \frac{r_{i_{1}i_{2}}^{eq,\alpha}.r_{i_{1}i_{2}}^{eq,\beta}.r_{i_{3}i_{4}}^{eq,\beta}.r_{i_{3}i_{4}}^{eq,\beta}.r_{i_{3}i_{4}}^{eq,\delta}.n$$

$$egin{array}{lll} \mathbf{C}_{\pmb{lpha}\pmb{eta}\pmb{\delta}} = & \mathbf{C}_{\pmb{eta}\pmb{\alpha}\pmb{\delta}\pmb{\delta}} & \text{et } \mathbf{C}_{\pmb{lpha}\pmb{eta}\pmb{\delta}} = & \mathbf{C}_{\pmb{lpha}\pmb{\delta}\pmb{\delta}\pmb{\gamma}} & \rightarrow & 36 \text{ modules} \\ \mathbf{C}_{\pmb{lpha}\pmb{\beta}\pmb{\gamma}\pmb{\delta}} = & \mathbf{C}_{\pmb{\gamma}\pmb{\delta}\pmb{\alpha}\pmb{\beta}} & & \rightarrow & \mathbf{21 modules} \\ \end{array}$$

Symétries supplémentaires, si interactions à 2-corps (Modèle de Cauchy):

Permutations de tous les indices: $\mathbf{C}_{\alpha\alpha\beta\beta} = \mathbf{C}_{\alpha\beta\alpha\beta}$ et $\mathbf{C}_{\alpha\beta\gamma\gamma} = \mathbf{C}_{\alpha\gamma\beta\gamma}$ (Relations de Cauchy pour les interactions à 2-corps)

$$ightarrow$$
 3 $\mathbf{C}_{\alpha\alpha\alpha\alpha}$ + 6 $\mathbf{C}_{\alpha\alpha\alpha\beta}$ + 3 $\mathbf{C}_{\alpha\alpha\beta\beta}$ + 3 $\mathbf{C}_{\alpha\beta\gamma\gamma}$ $ightarrow$ 15 modules











Modules d'Elasticité **effectifs** à l'échelle **macroscopique**?

$$\mathsf{E}^\mathsf{Q}_{\mathsf{total}}\left(\left\{\underline{r_i}\right\}\right) \approx \frac{1}{2!} \sum_{\alpha} \sum_{\beta} \sum_{\gamma} \sum_{\delta} \sum_{(ij),(kl)} \frac{\partial^2 \mathsf{E}_{\mathsf{total}}}{\partial r_{ij} \partial r_{kl}} \cdot \frac{r_{ij}^{\;eq,\alpha} \cdot r_{ij}^{\;eq,\beta} \cdot r_{kl}^{\;eq,\gamma} \cdot r_{kl}^{\;eq,\delta}}{r_{ij}^{\;eq} \cdot r_{kl}^{\;eq}} \left(\mathcal{E}_{\alpha\beta} \cdot \mathcal{E}_{\gamma\delta}\right)^{-1}$$

Déformations locales (inhomogènes)

$$\mathsf{E}^{\mathsf{Q}}_{\mathsf{total}}\left(\left\{\underline{r_i}\right\}\right) \approx \frac{1}{2} \left\langle\underline{\varepsilon}\right\rangle : \underline{\underline{C}}^{\mathsf{eff}} : \left\langle\underline{\varepsilon}\right\rangle$$

$$\underline{\underline{C}}^{\mathsf{eff}} = ?$$

$$\mathbf{C}^{\text{eff}} = ?$$

Méthode d'Homogénéisation?











Des modules Microscopiques aux modules Effectifs Macroscopiques

W. Voigt (1889): Les hétérogénéités de déformation contribuent à **réduire** les modules d'élasticité effectifs

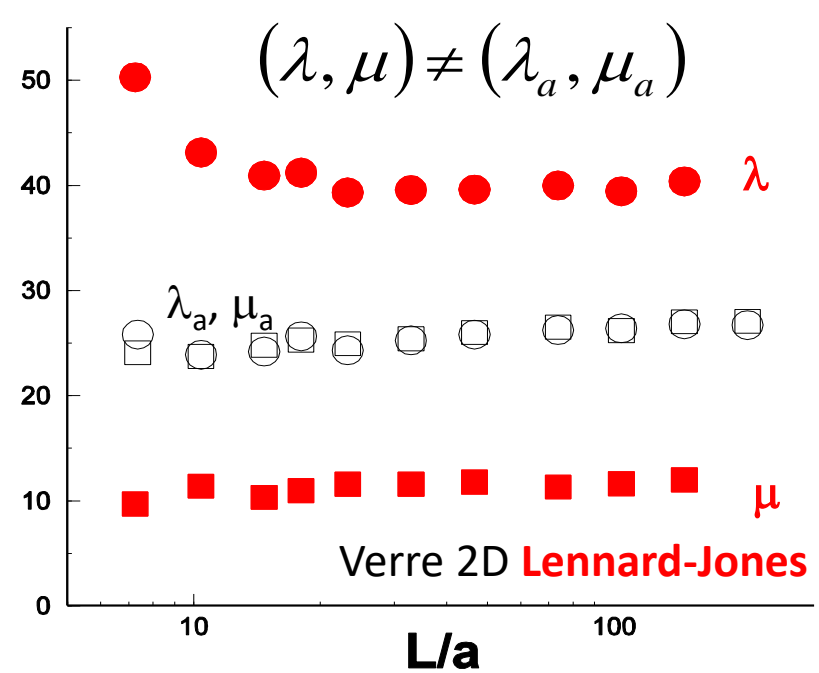
$$\underline{\underline{\varepsilon}}(i) = \langle \underline{\varepsilon} \rangle + \delta \underline{\underline{\varepsilon}}(i)$$
Hétérogénéités Spatiales
$$\langle \underline{\varepsilon} \rangle : \underline{\underline{C^{eff}}} : \langle \underline{\varepsilon} \rangle = \langle \underline{\varepsilon} : \underline{\underline{C}} : \underline{\varepsilon} \rangle$$

$$= \langle \underline{\varepsilon} + \delta \underline{\varepsilon} \rangle : \underline{\underline{C}} : \langle \underline{\varepsilon} + \delta \underline{\varepsilon} \rangle \rangle$$

$$= \langle \underline{\varepsilon} \rangle : \langle \underline{C} \rangle : \langle \underline{\varepsilon} \rangle - \langle \delta \underline{\varepsilon} : \underline{\underline{C}} : \underline{\delta \varepsilon} \rangle + \cdots$$

 $\langle \underline{\varepsilon} \rangle : \underline{\underline{C}^{eff}} : \langle \underline{\varepsilon} \rangle \le \langle \underline{\varepsilon} \rangle : \langle \underline{\underline{C}} \rangle : \langle \underline{\varepsilon} \rangle$

Moyenne = Borne Supérieure



A. Tanguy et al. (2002)



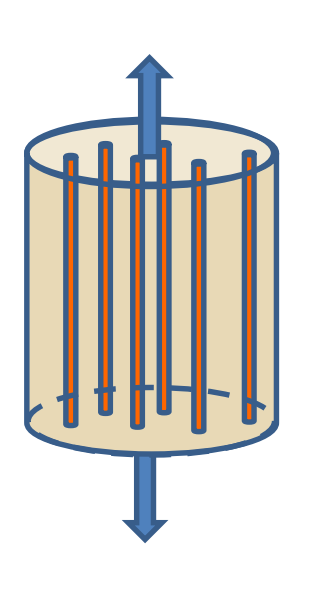












$$\sigma_{L} = E_{L}.\varepsilon_{L}$$

$$\varepsilon_{f} = \varepsilon_{m} = \varepsilon_{L} = \langle \varepsilon \rangle$$

$$\sigma_{f} = E_{f} \langle \varepsilon \rangle \; ; \; \sigma_{m} = E_{m} \langle \varepsilon \rangle$$

$$F_{L} = F_{f} + F_{m} = \sigma_{f}.S_{f} + \sigma_{m}.S_{m} \qquad \qquad E_{L,T} \; \text{Module d'Young } \textit{effectif}$$

$$= E_{f}.\varepsilon_{f}.S_{f} + E_{m}.\varepsilon_{m}.S_{m} \qquad \qquad E_{f} \; \; \; \text{Module des fibres}$$

$$= (E_{f}.S_{f} + E_{m}.S_{m}).\langle \varepsilon \rangle \qquad \qquad E_{m} \; , \; \text{Module de la matrice}$$

$$\sigma_{L} = \frac{F_{L}}{S_{f} + S_{m}} = \langle \sigma \rangle = \frac{(E_{f}.S_{f} + E_{m}.S_{m})}{S_{f} + S_{m}}.\langle \varepsilon \rangle$$

$$\Rightarrow E_{L} = E_{f}.\frac{V_{f}}{V} + E_{m}.\frac{V_{m}}{V} \; \text{Voigt (1889)}$$

Cas de déformation Homogènes:

Module Effectif = Moyenne arithmétique (Homogénéisation exacte)

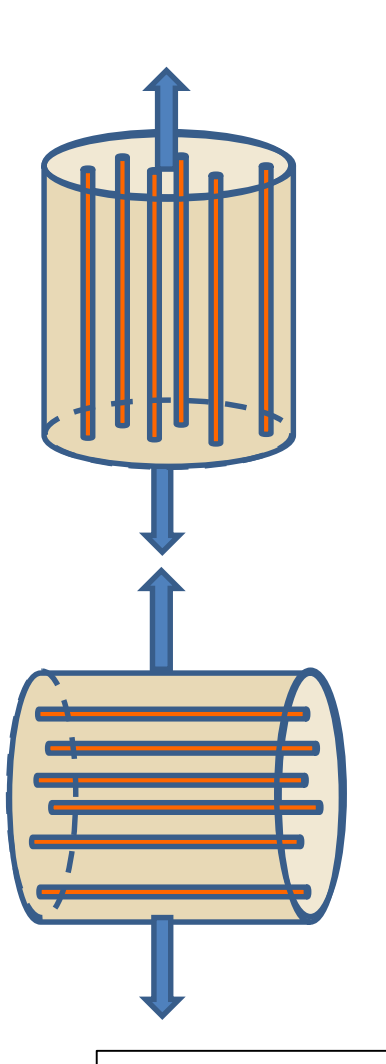












Modules d'Elasticité Effectifs

Exemple: fibres dans une matrice

$$\sigma_{L} = \frac{F_{L}}{S_{f} + S_{m}} = \langle \sigma \rangle = \frac{\left(E_{f}.S_{f} + E_{m}.S_{m}\right)}{S_{f} + S_{m}}.\langle \varepsilon \rangle \qquad E_{L,T} \text{ Module d'Young }$$

$$E_{f} \text{ Module des fibres}$$

$$E_L = E_f \cdot \frac{V_f}{V} + E_m \cdot \frac{V_m}{V}$$
 Voigt (1889) E_m , Module de la matrice

$$\sigma_{T} = E_{T}.\varepsilon_{T}$$

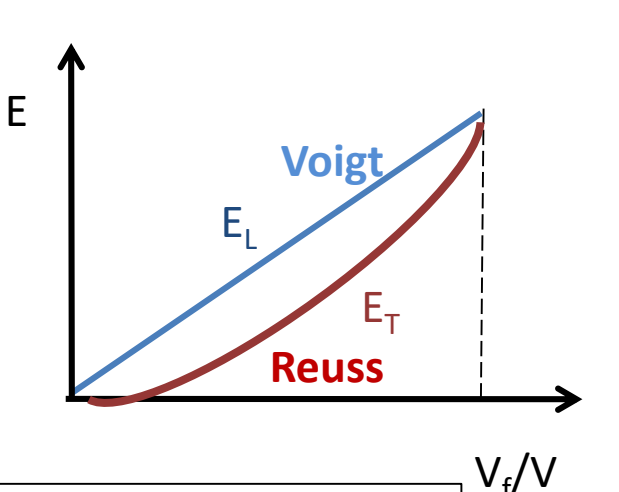
$$\sigma_{f} = \sigma_{m} = \sigma_{T} = \langle \sigma \rangle$$

$$\pi_{total} \approx \pi_{f} + \pi_{m}$$

$$\frac{1}{2}V.\varepsilon_{T}.\sigma_{T} \approx \frac{1}{2}V_{f}.\varepsilon_{f}.\sigma_{f} + \frac{1}{2}V_{m}.\varepsilon_{m}.\sigma_{m}$$

$$\varepsilon_{T} \approx \frac{V_{f}}{V}.\varepsilon_{f} + \frac{V_{m}}{V}.\varepsilon_{m} = \frac{\langle \sigma \rangle}{E_{T}}$$

$$\Rightarrow \frac{1}{E_{T}} \approx \frac{V_{f}}{V}.\frac{1}{E_{c}} + \frac{V_{m}}{V}.\frac{1}{E_{c}} \quad \text{Reuss (1929)}$$



A contraintes uniformes: Module Effectif résultant de la moyenne des inverses











Lois de comportement Linéaires

1) Rappel: visco-élasticité linéaire

2) Modules d'Elasticité de Cauchy-Born (1915)

3) Paramètres Multi-échelle de I. Goldhirsch (2003)











Exemple de la loi de Hooke

$$\begin{bmatrix} \sigma_{11} \\ \sigma_{22} \\ \sigma_{33} \\ \sigma_{23} \\ \sigma_{31} \\ \sigma_{12} \end{bmatrix} = \begin{bmatrix} C_{1111} & C_{1122} & C_{1133} & C_{1123} & C_{1131} & C_{1112} \\ C_{2211} & C_{2222} & C_{2233} & C_{2223} & C_{2231} & C_{2212} \\ C_{3311} & C_{3322} & C_{3333} & C_{3323} & C_{3331} & C_{3312} \\ C_{2311} & C_{2322} & C_{2333} & C_{2323} & C_{2331} & C_{2312} \\ C_{3111} & C_{3122} & C_{3133} & C_{3123} & C_{3131} & C_{3112} \\ C_{1211} & C_{1222} & C_{1233} & C_{1223} & C_{1231} & C_{1212} \end{bmatrix} \cdot \begin{bmatrix} \varepsilon_{11} \\ \varepsilon_{22} \\ \varepsilon_{33} \\ 2 \varepsilon_{23} \\ 2 \varepsilon_{31} \\ 2 \varepsilon_{12} \end{bmatrix}$$

- 21 paramètres à identifier (approximation linéaire de fonction)
- 6 équations locales par déformation imposée
- 4 déformations imposées permettent d'obtenir 24 équations linéaires à inverser

$$\begin{bmatrix} \sigma_{11}^{(1)} \\ \dots \\ \sigma_{12}^{(4)} \end{bmatrix} = \begin{bmatrix} f\left(\varepsilon_{11}^{(1)}, \dots, \varepsilon_{12}^{(4)}\right) \end{bmatrix} \cdot \begin{bmatrix} C_{1111} \\ \dots \\ C_{1212} \end{bmatrix} \qquad \Rightarrow \begin{bmatrix} C_{1111} \\ \dots \\ C_{1212} \end{bmatrix} = \dots$$

$$\Delta = \min_{\{C_{1111}, \dots, C_{1212}\}} \left(\left\| \sigma_{11}^{(1)} - \sum_{kl} C_{11kl} \varepsilon_{kl}^{(1)} \right\|^2 + \dots + \left\| \sigma_{12}^{(4)} - \sum_{kl} C_{12kl} \varepsilon_{kl}^{(4)} \right\|^2 \right) / norm$$





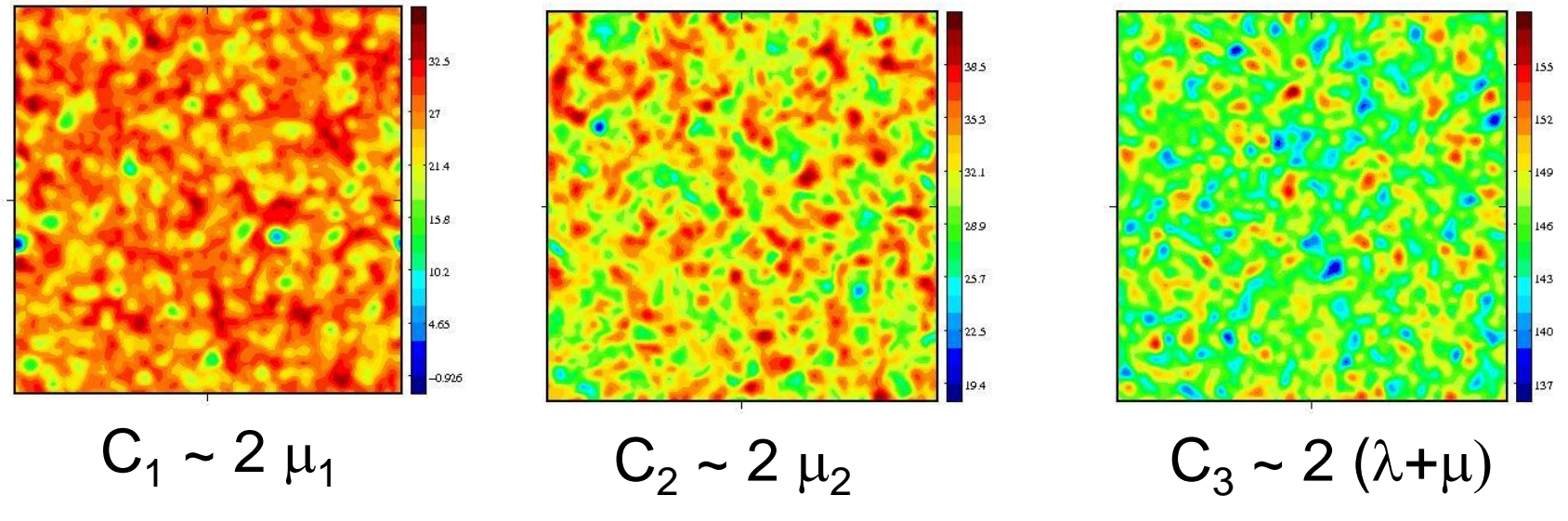






Cas d'un verre de Lennard-Jones 2D

$$\begin{bmatrix} \delta \sigma_{xx} \\ \delta \sigma_{yy} \\ \delta \sigma_{xy} \end{bmatrix} = \begin{bmatrix} \lambda + 2\mu & \lambda & 0 \\ \lambda & \lambda + 2\mu & 0 \\ 0 & 0 & 2\mu \end{bmatrix} \begin{bmatrix} \varepsilon_{xx} \\ \varepsilon_{yy} \\ \varepsilon_{xy} \end{bmatrix} \qquad C_1 = 2\mu, C_2 = 2\mu, C_3 = 2(\lambda + \mu)$$



2D Jennard-Jones ω =5a N = 216 225 L = 483 a

M. Tsamados et al. (2009)



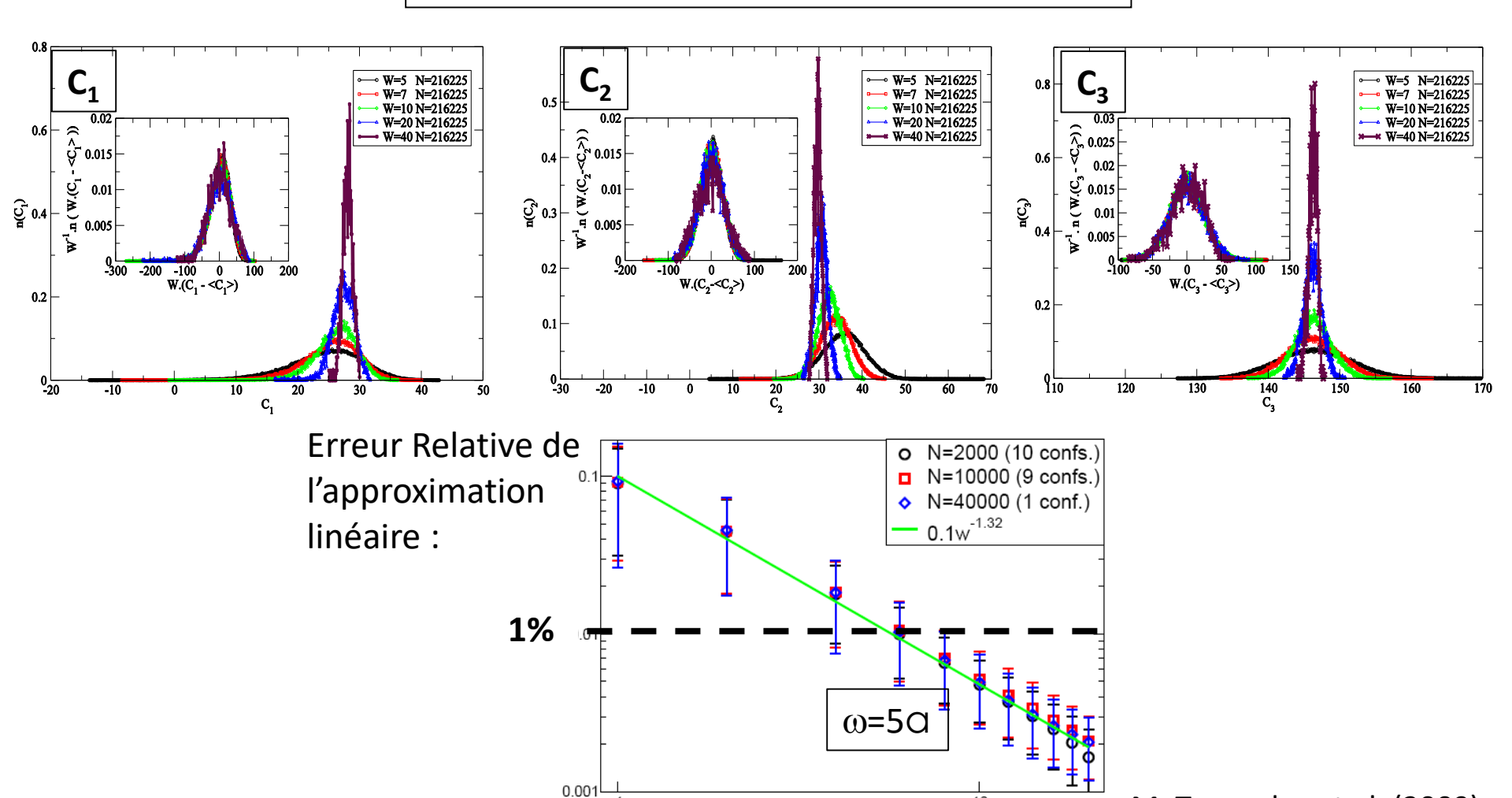








Cas d'un verre de Lennard-Jones 2D



(

M. Tsamados et al. (2009)











Cas d'un verre de Lennard-Jones 2D

Coarse Graining		Linear Elasticity						
ω	0	5		10	15	20 A		
Hooke's law	NO	YES		YES	YES	YES		
Homogeneity $\frac{\langle \overline{c} \rangle (W) - 2\mu}{2\mu} < 10\%$ $\frac{\Delta C}{\langle \overline{c} \rangle} < 10\%$	NO NO	NO NO		YES NO	YES YES	YES YES		
Isotropy	NO	NO)	NO	NO	YES		





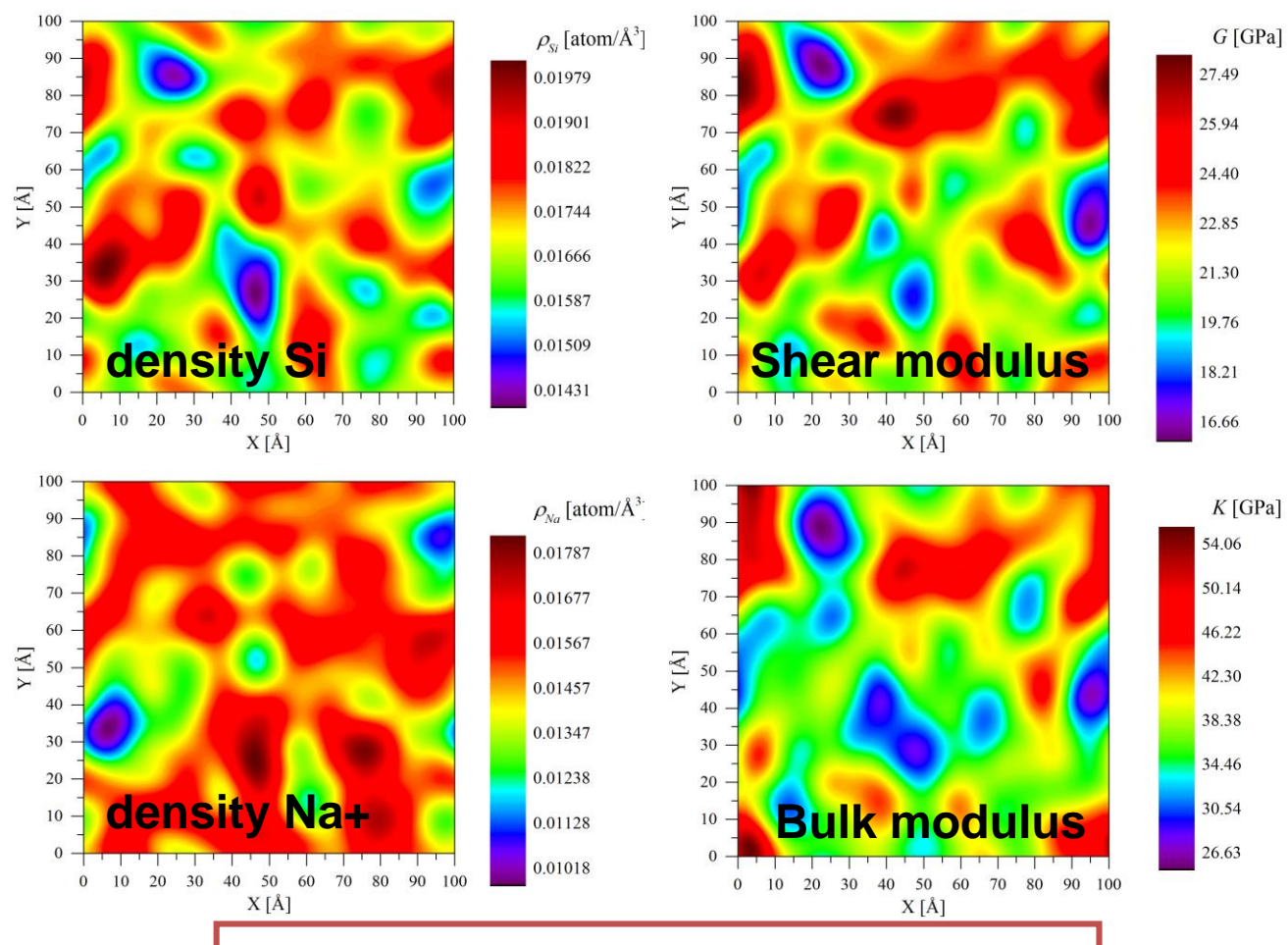








Exemple d'un verre sodo-silicate $(1-x)SiO_2 + xNa_2O$:



High Na+ density ↔ Low Elastic Moduli

G. Molnar et al. (2016)

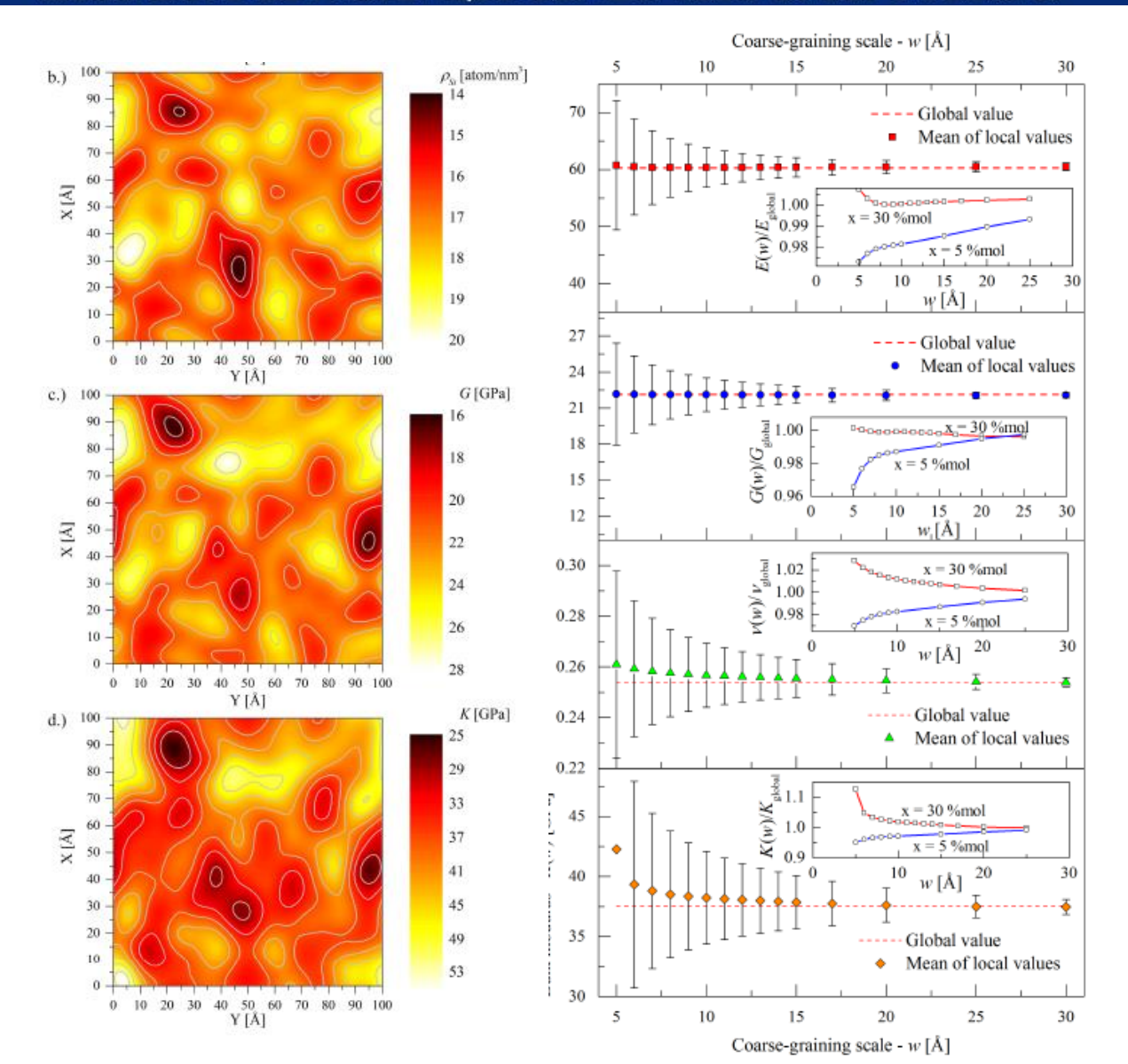












$$(1-x)SiO_2 + xNa_2O$$

Study of local coarse-grained Elastic Moduli:

Low convergence to the macroscopic values.

Larger heterogeneities for 5% Na₂O than for 30% Na₂O.

G. Molnar et al. (2016)

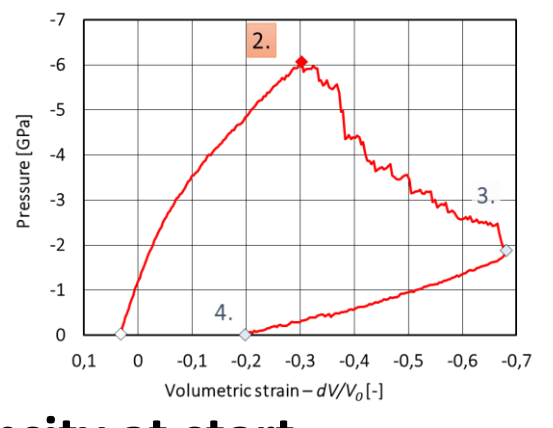




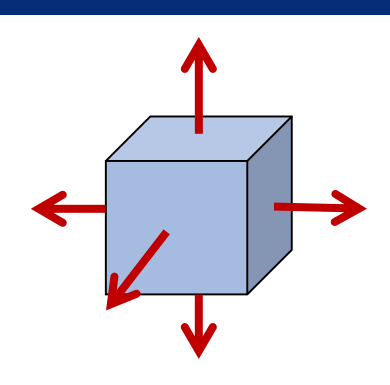




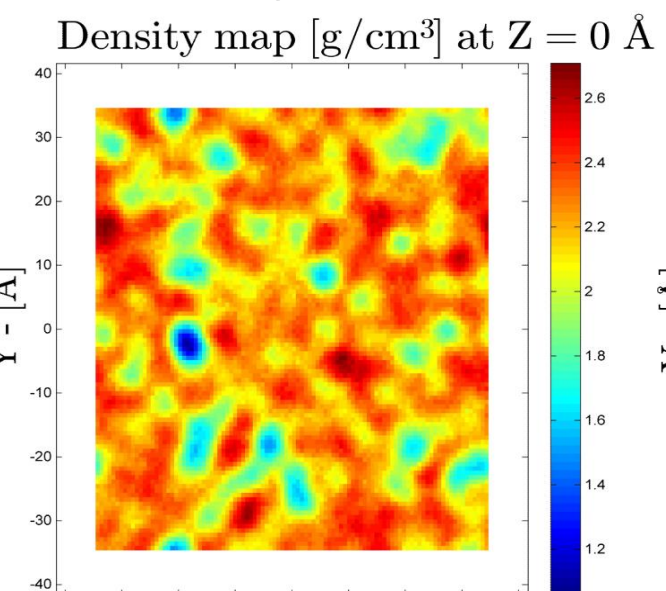




 $(1-x)SiO_2 + xNa_2O$

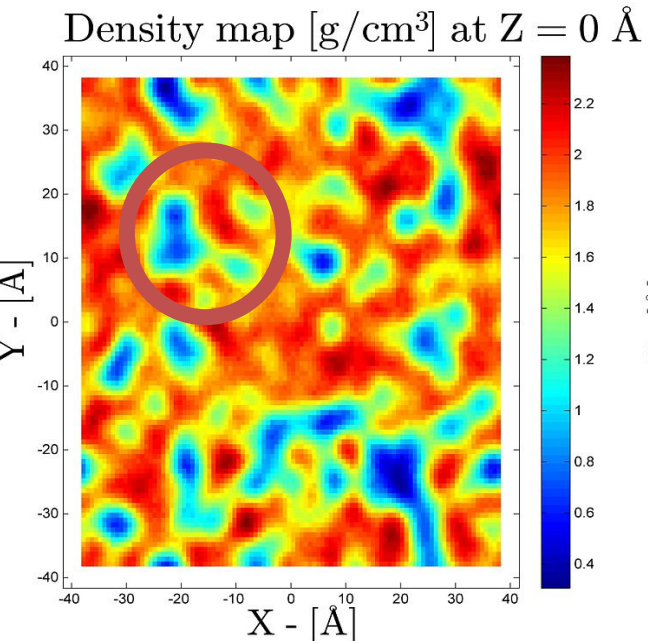


density at start

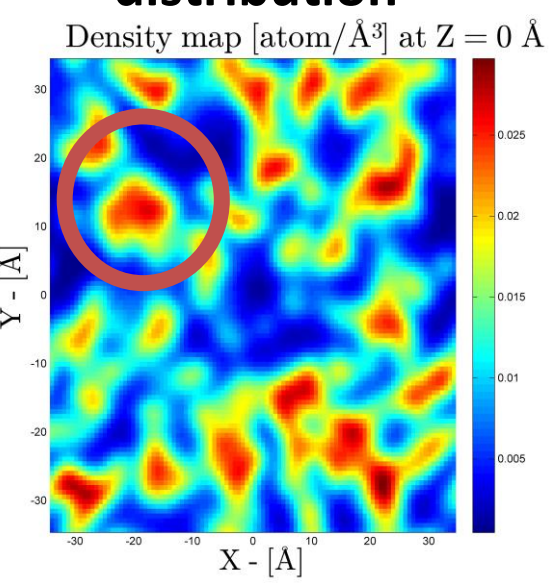


(initial cracks)

loosened density



Na density distribution



G. Molnar et al. (2016)



Z [Å]

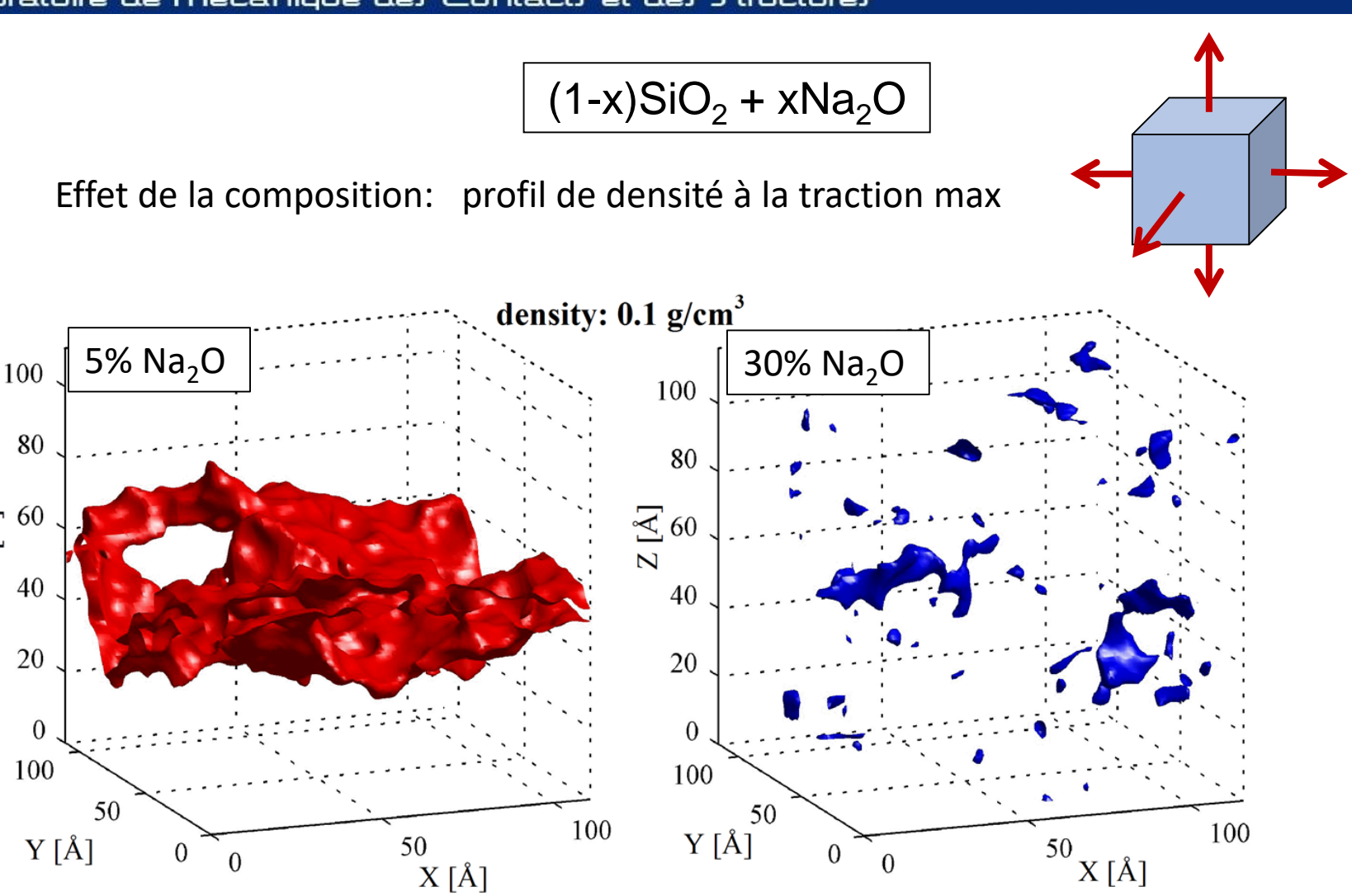








Laboratoire de Mécanique des Contacts et des Structures













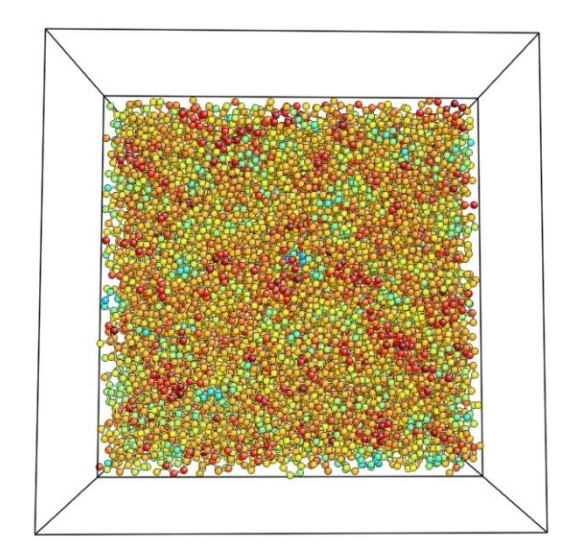
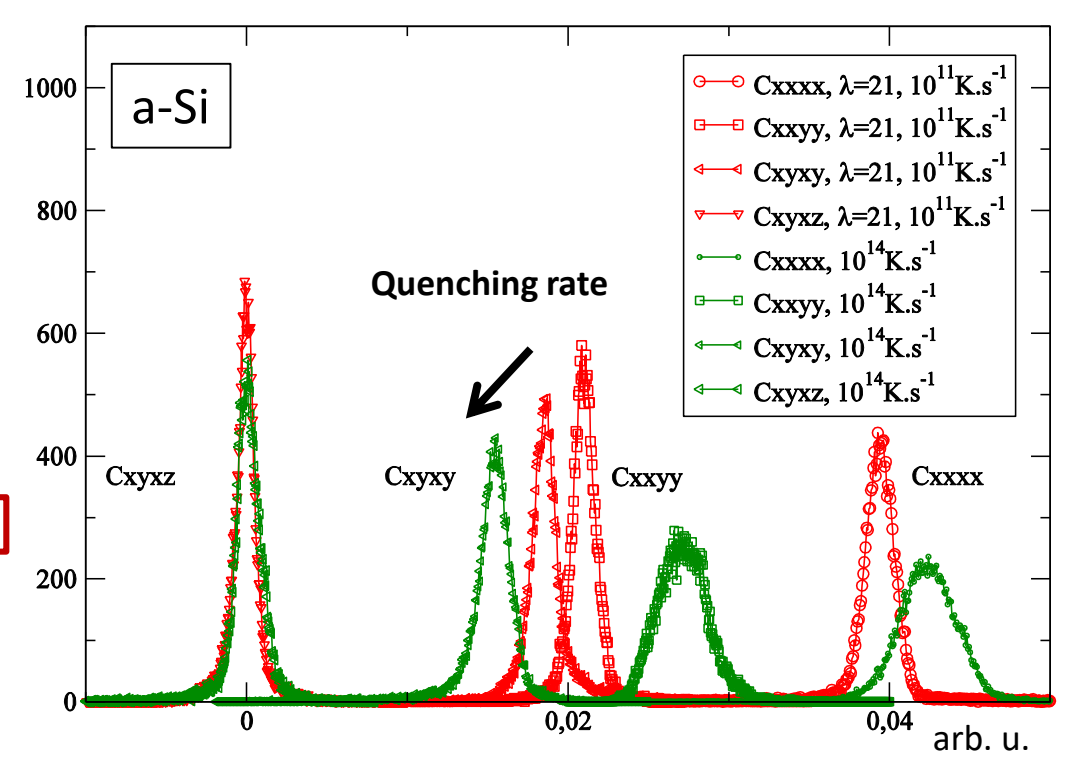


TABLE II. Comparison of structural properties for A-Si for different quenching rates with $\lambda = 21$.

Property	10^{11} K/s	10^{12} K/s	10^{13} K/s	10^{14} K/s
Average coord.	4.08	4.12	4.19	4.39
Average angle	108.81	108.50	108.1	106.96
Angle Dev.	11.92	13.69	15.52	19.46
C44 (GPa)	34.24	32.04	29.98	27.66
B0 (GPa)	100.59	105.19	108.71	118.57
ν	0.347	0.362	0.374	0.392
Density (g/cm ³)	2.30277	2.32238	2.32238	2.32238
Pressure (GPa)	0.638	1.34	1.019	-0.8787

Effet de la vitesse de Trempe sur les modules d'Elasticité Cas du Silicium amorphe a-Si



C. Fusco et al. (2010)





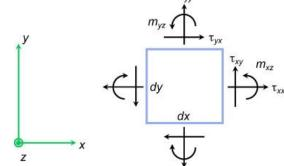








Modèle Linéaire de Cosserat



$$\epsilon_{xx} = \frac{\partial u_x}{\partial x}, \qquad \epsilon_{yy} = \frac{\partial u_y}{\partial y}. \quad \epsilon_{xy} = \frac{\partial u_y}{\partial x} - \omega_z, \qquad \epsilon_{yx} = \frac{\partial u_x}{\partial y} + \omega_z. \quad \text{Micro-courbures} \quad \kappa_{xz} = \frac{\partial \omega_z}{\partial x}, \qquad \kappa_{yz} = \frac{\partial \omega_z}{\partial y}, \\ \epsilon = \left[\epsilon_{xx}, \epsilon_{yy}, \epsilon_{zz}, \epsilon_{xy}, \epsilon_{yx}, \kappa_{xz}l, \kappa_{yz}l\right],$$

$$\sigma = [\sigma_{xx}, \sigma_{yy}, \sigma_{zz}, \sigma_{xy}, \sigma_{yx}, m_{xz}/l, m_{yz}/l],$$
 Couples

$$\boldsymbol{\sigma} = \mathbf{D}^{e} \boldsymbol{\epsilon}, \quad \mathbf{D}^{e} = \begin{bmatrix} \lambda + 2\mu & \lambda & \lambda & 0 & 0 & 0 & 0 \\ \lambda & \lambda + 2\mu & \lambda & 0 & 0 & 0 & 0 \\ \lambda & \lambda & \lambda + 2\mu & 0 & 0 & 0 & 0 \\ 0 & 0 & 0 & \mu + \mu_{c} & \mu - \mu_{c} & 0 & 0 \\ 0 & 0 & 0 & \mu - \mu_{c} & \mu + \mu_{c} & 0 & 0 \\ 0 & 0 & 0 & 0 & 0 & 0 & 2\mu * & 0 \\ 0 & 0 & 0 & 0 & 0 & 0 & 0 & 2\mu * \end{bmatrix}$$

Module de Flexion

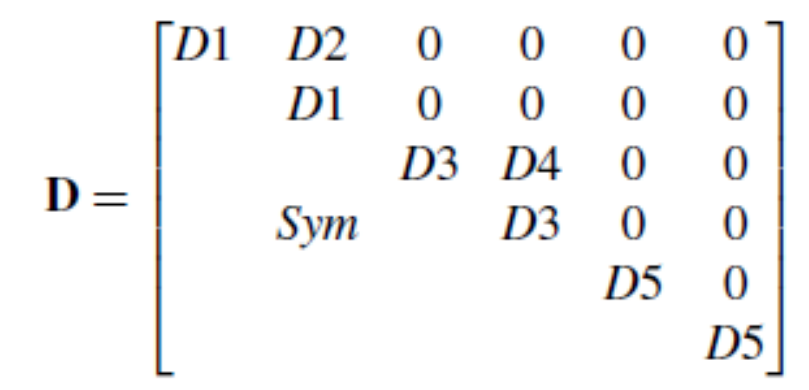


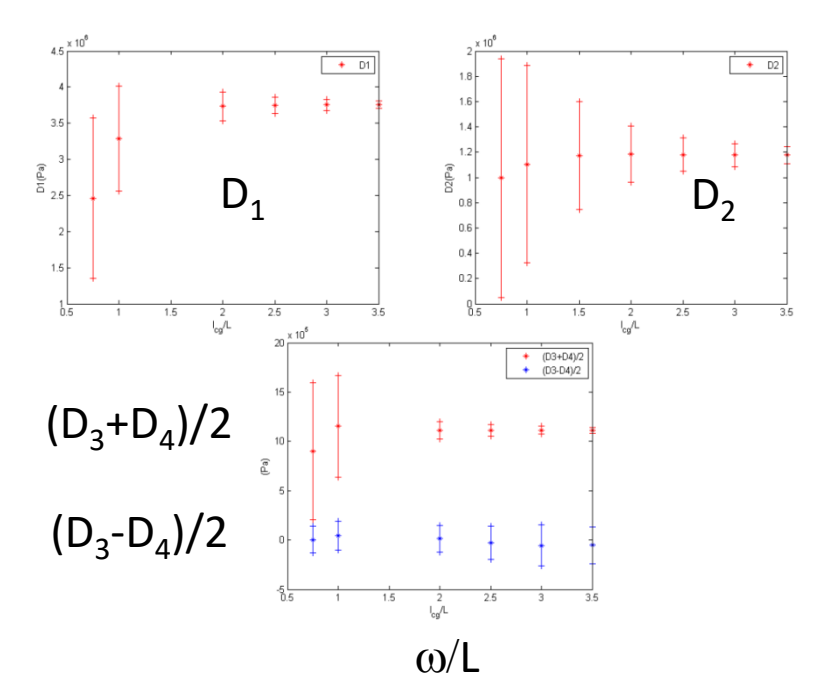




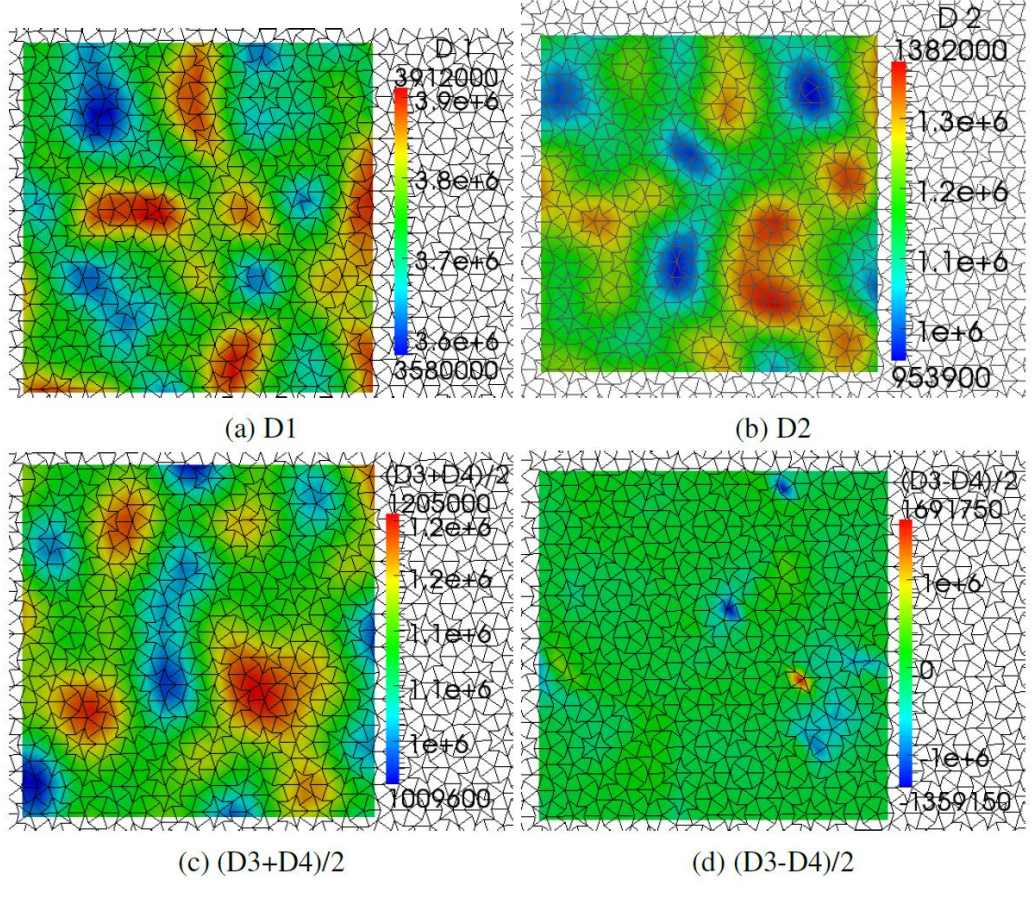








Modèle Linéaire de Cosserat appliqué au réseau de poutres Penrose Quasi-Périodique







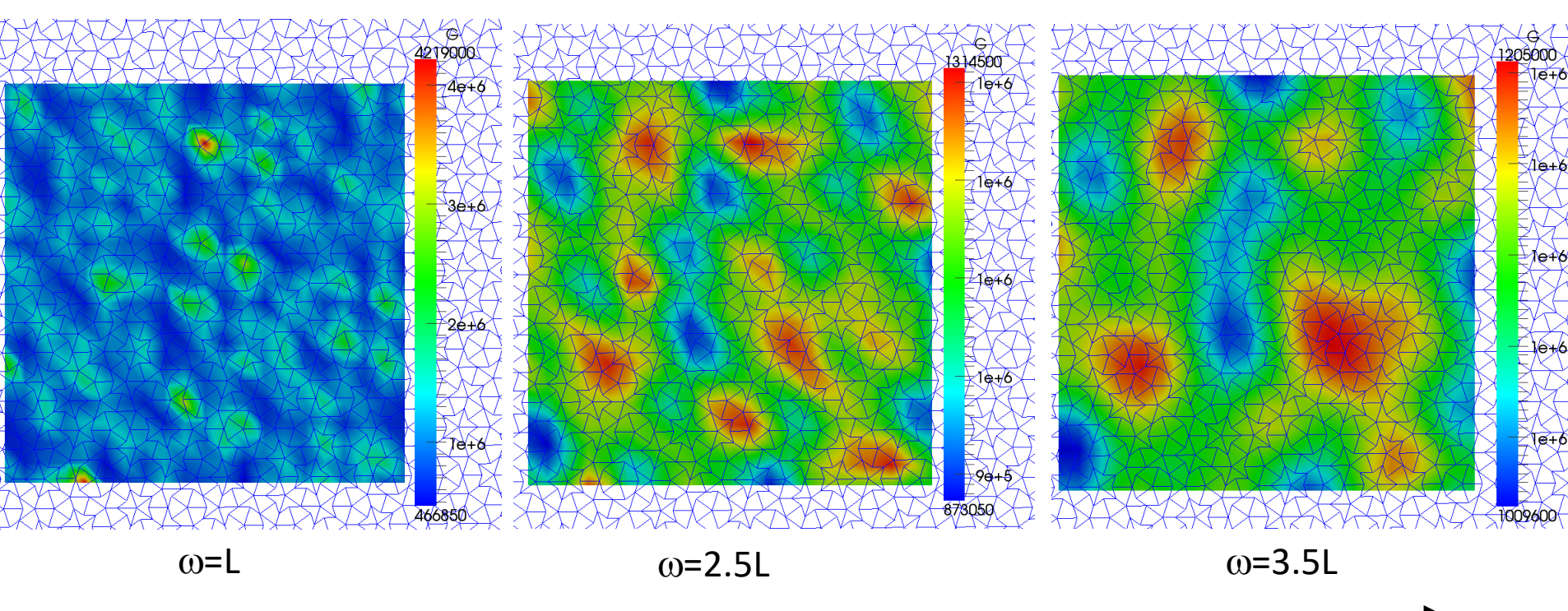






Modèle Linéaire de Cosserat appliqué au réseau de poutres Penrose Quasi-Périodique

Module de cisaillement G





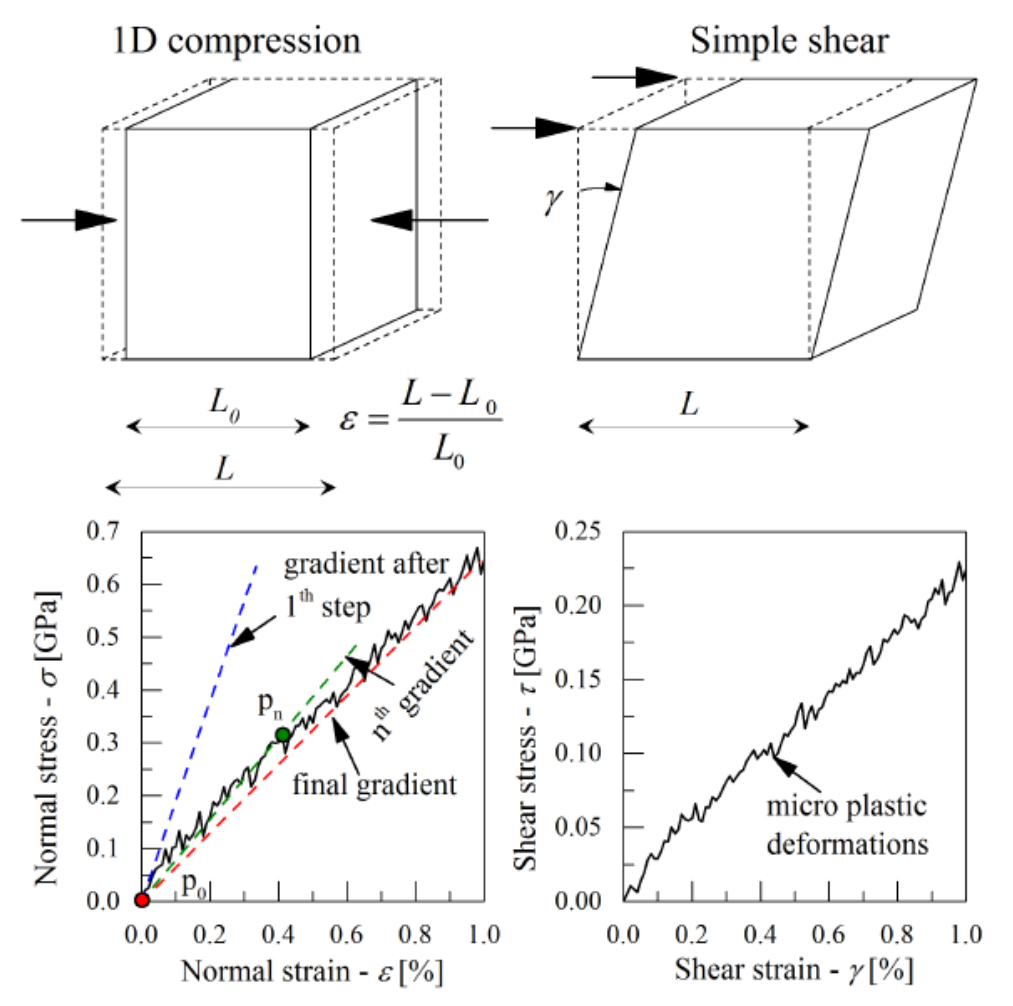




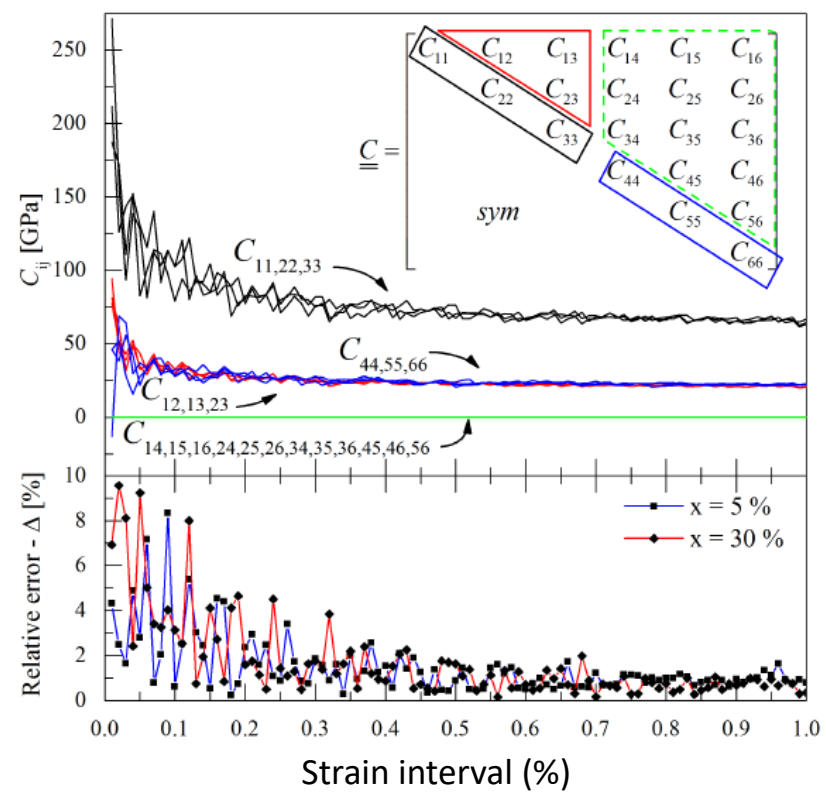




Retour sur les **fluctuations** de modules d'élasticité



Effet de l'intervalle de déformation $\Delta \gamma$ (1-x)SiO₂ + xNa₂O



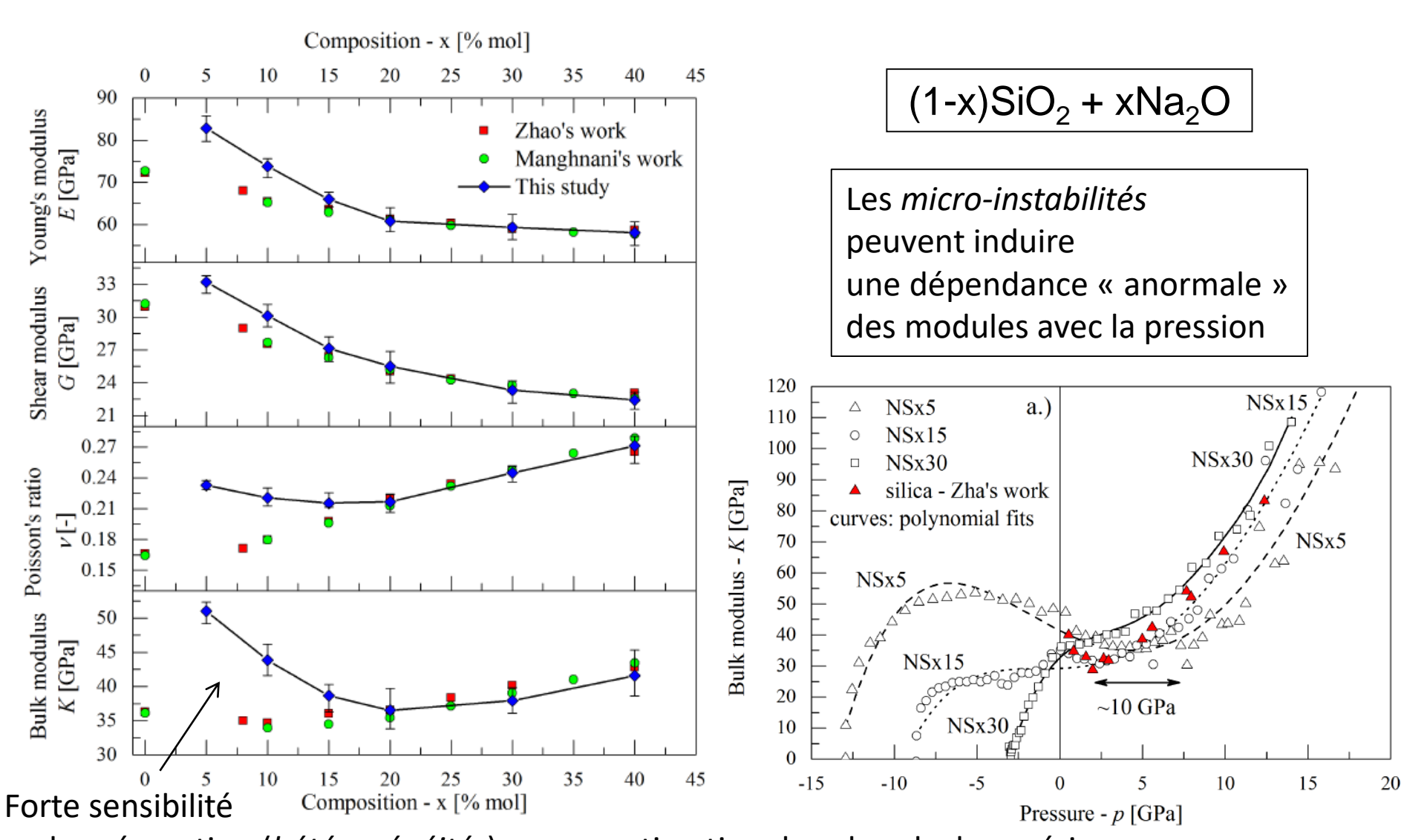












en la préparation (hétérogénéités) – sous-estimation dans le calcul numérique.



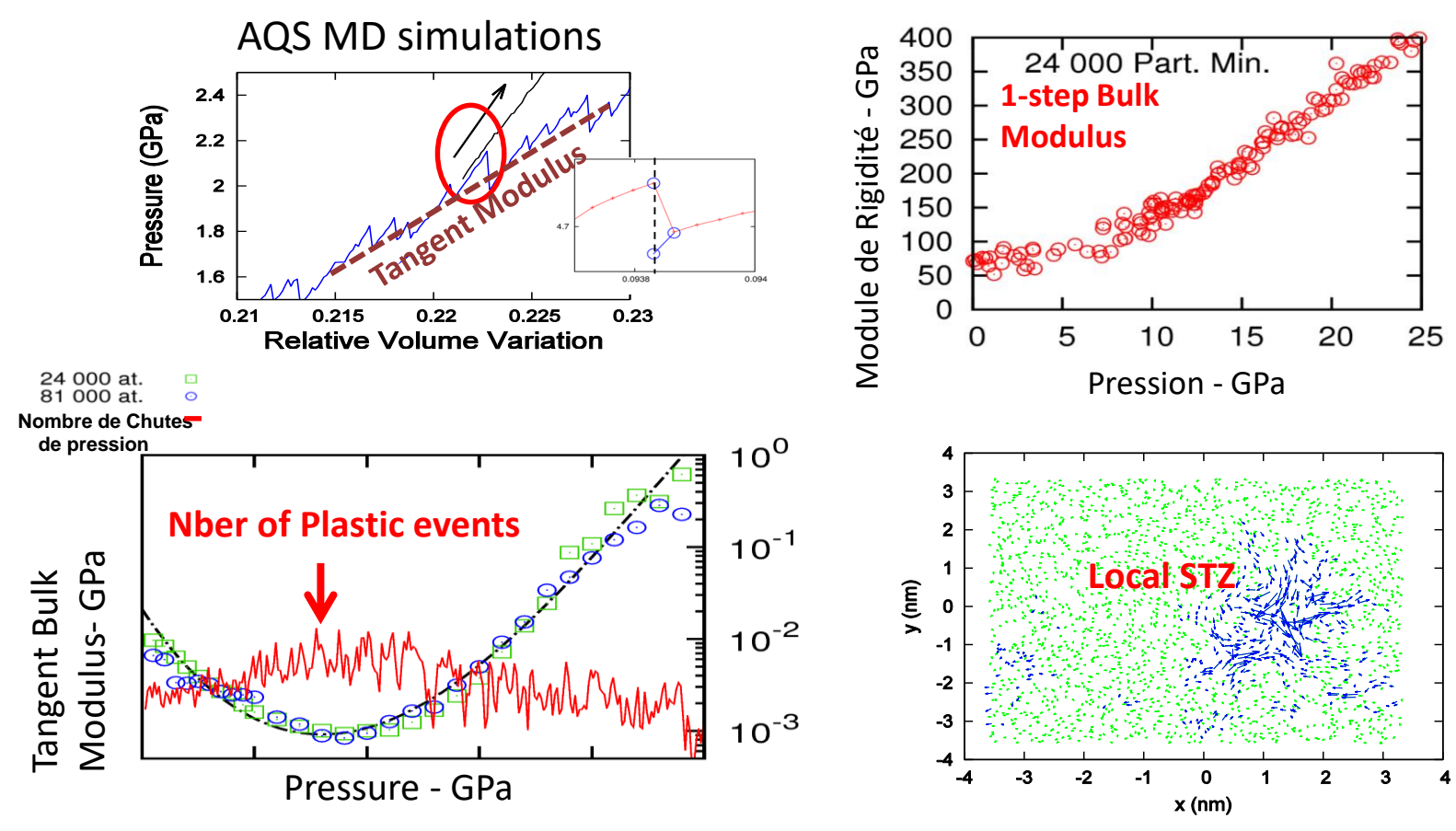








Anomalie Elastique » de la silice SiO₂



The Elastic Anomaly is due to a **Microplastic behaviour**

B. Mantisi et al. (2012)











Anomalie Elastique » de la silice SiO₂

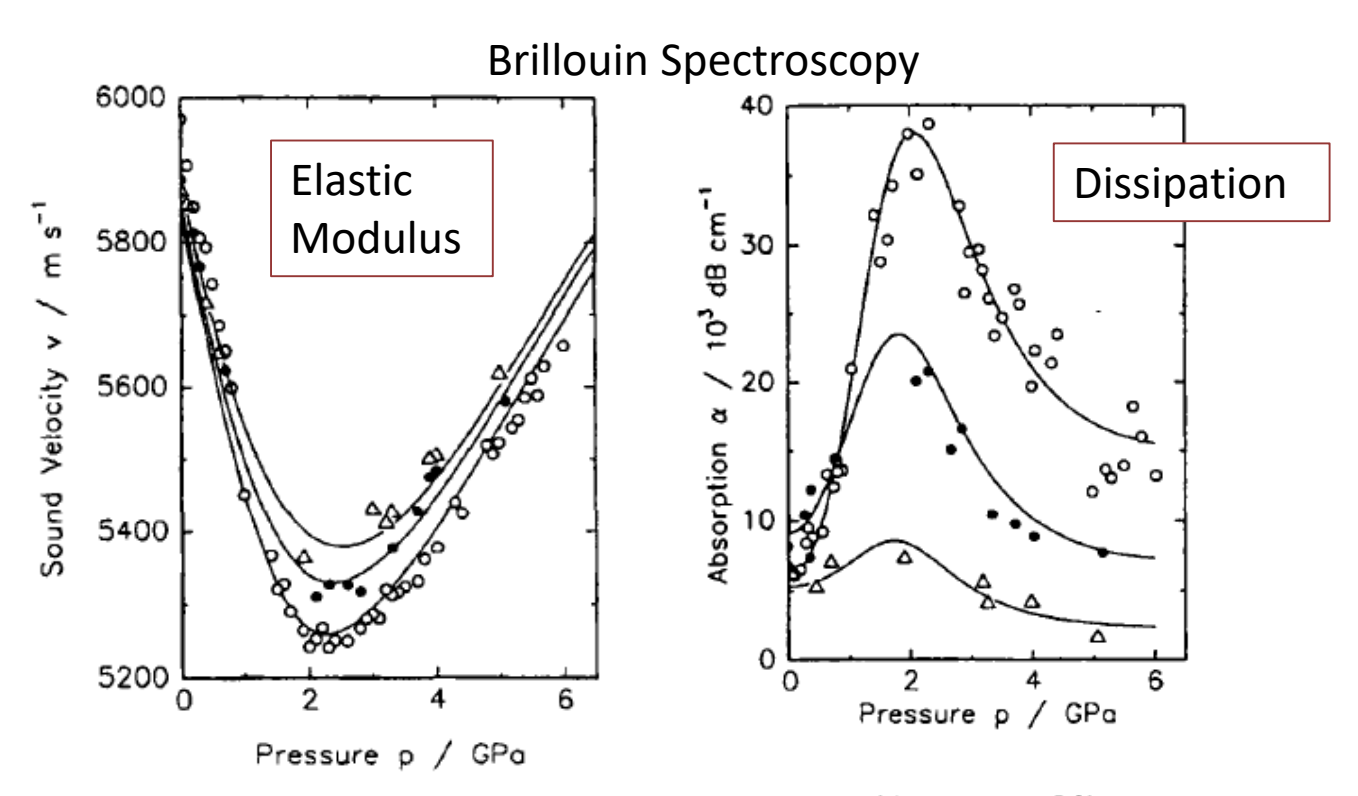


Fig. 2 a) Sound velocity in dependence of temperature at pressures of 0.1 MPa (\bigcirc), 0.7 GPa (\bullet), 2.3 GPa (\triangle), 4.0 GPa (\triangle) and 5.1 GPa (\diamond), solid lines are fits with the same parameter set used in Fig. 1a, b. b) Representation of the sound velocity versus pressure at temperatures of 50 K (\triangle), 150 K (\bullet) and 300 K (\bigcirc), solid lines are guides for the eye.

- S. Hunklinger & al., Annalen des Physik (1995)
- B. Rufflé et al. (2011)











Outline

Introduction: le comportement des matériaux à différentes échelles

- I. Comment définir des grandeurs mécaniques aux petites échelles?
- II. Exemple des lois de comportement linéaires
- III. Plasticité à l'échelle atomique

Conclusion et Perspectives



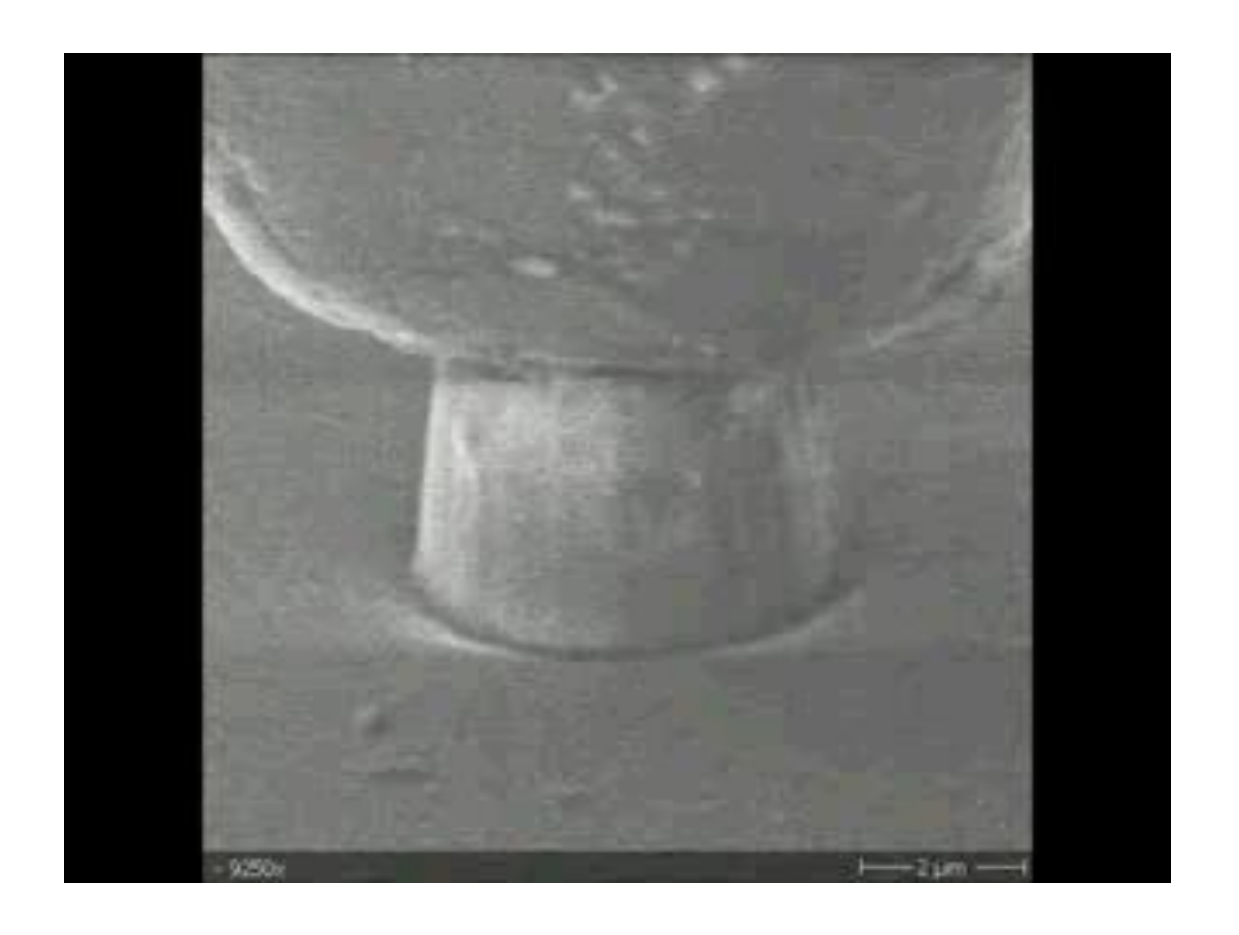








Plastification de la silice à l'échelle micrométrique:





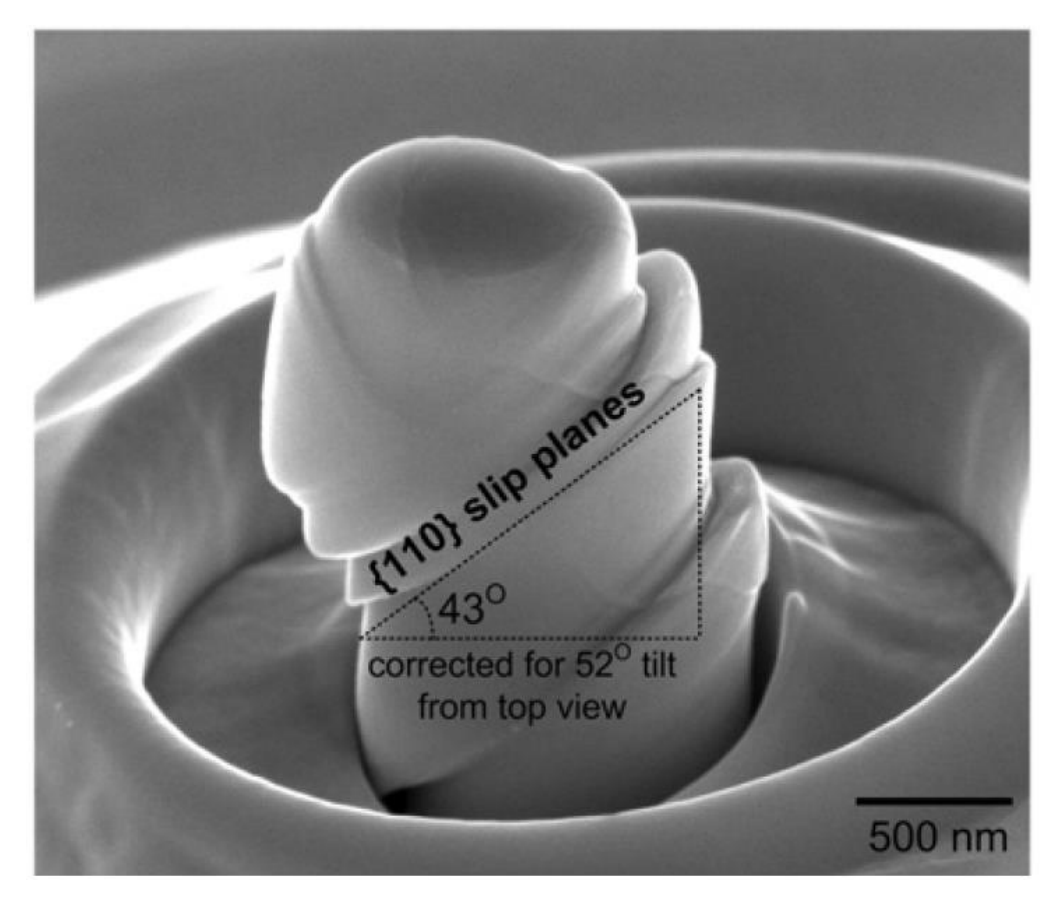








Plans de Glissement dans un mono-cristal



Compressed Nb BCC nano-pillar





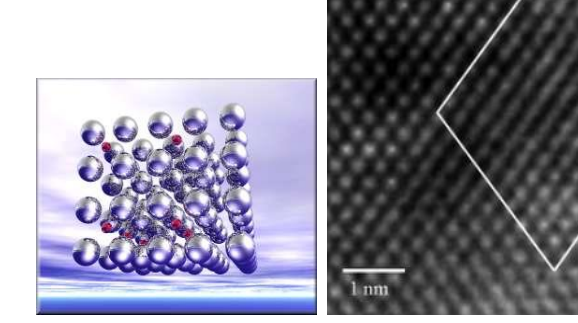




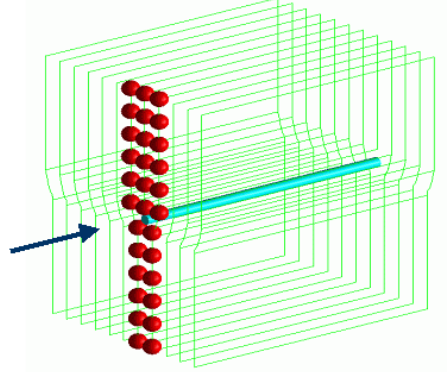


Origine microscopique de la plasticité ?

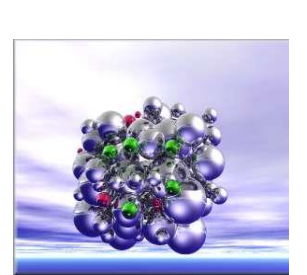
Cristaux:

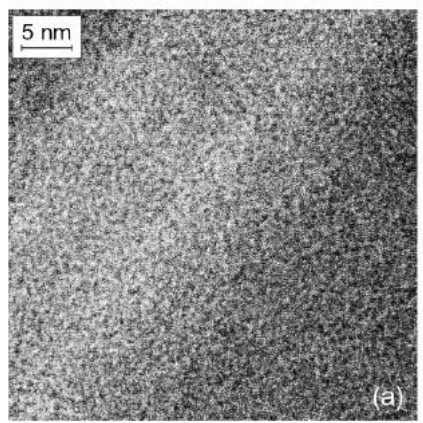


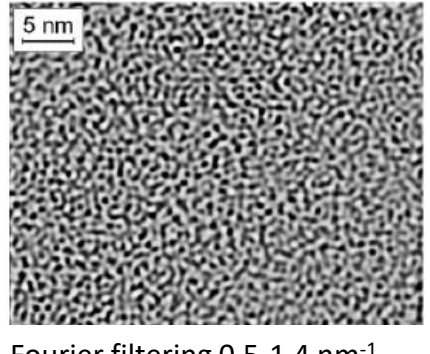
dislocations



Matériaux Amorphes:







Fourier filtering 0.5-1.4 nm⁻¹

T. Hufnagel et l. (2002)

Y. Huang et al. (2013)











Plasticité à l'échelle atomique

1) Critère de nucléation et irréversibilité

2) Surface de charge











Plasticité à l'échelle atomique

1) Critère de nucléation et irréversibilité

2) Surface de charge



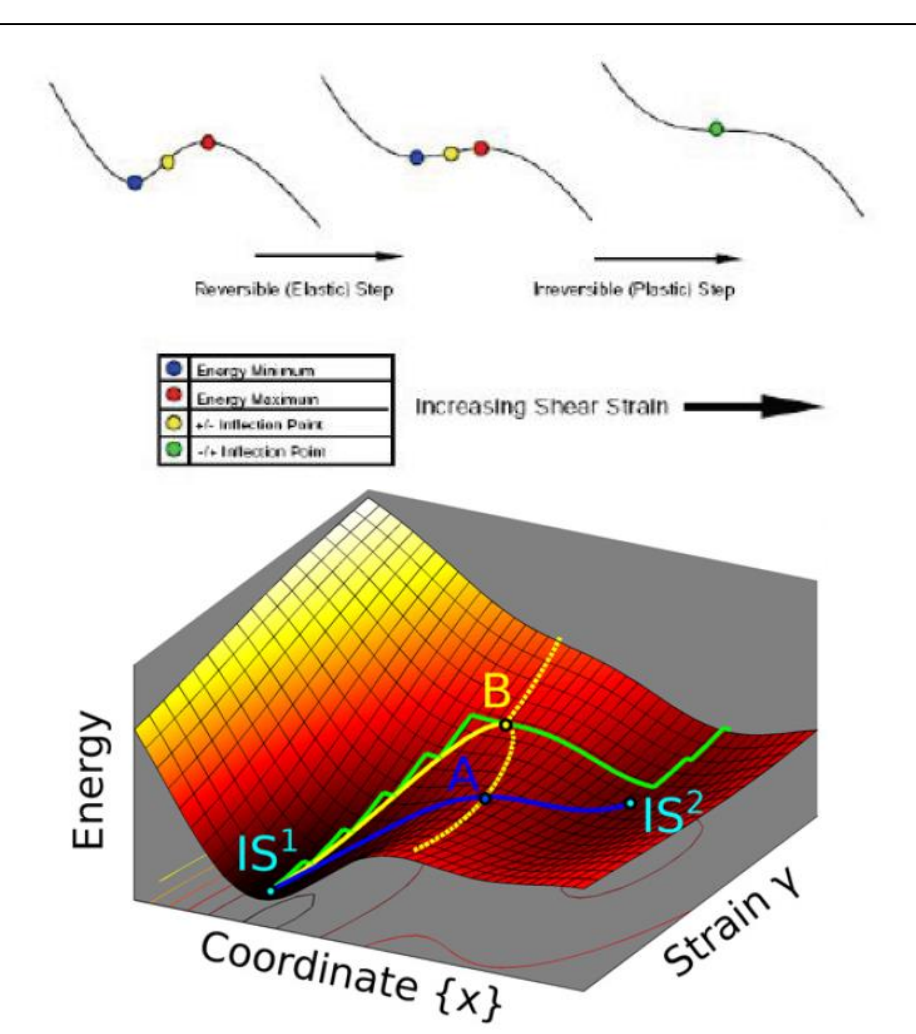








Critère de Nucléation : Perte de Stabilité Mécanique













Stabilité d'un cristal

Critère de Hill (1962): Milieu continu

Energie Libre de Helmholtz
$$F(Y) \equiv F(X) + \Omega(X) \left\{ \tau_{ij}(X) \eta_{ij} + \frac{1}{2} C_{ijkl}(X) \eta_{ij} \eta_{kl} + \cdots \right\}_{\ell}$$

Critère de stabilité

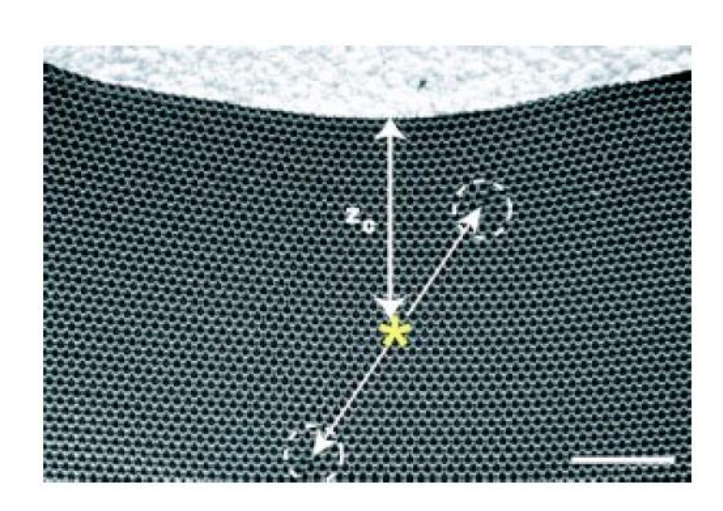
$$\min_{\{\underline{w},\underline{k}\}} \left(C_{ijkl} w_i w_k k_j k_l \right) \ge 0$$

 $\min_{\{\underline{w},\underline{k}\}} \left(C_{ijkl} w_i w_k k_j k_l \right) \ge 0 \qquad \qquad \eta_{ij} = w_i k_j$ Plan de glissement Vecteur de Burgers

Généralisation à un milieu discret:

$$C_{ij}^{lphaeta} = -rac{\partial E_{total}}{\partial r_i^{lpha}\partial r_j^{eta}}$$
 Matrice Dynamique (tenseur acoustique)

$$C_{ij}^{\alpha\beta}e_{j}^{\beta}=\Lambda e_{i}^{\alpha}$$



Bubble Raft A. Gouldstone et al. (2001)





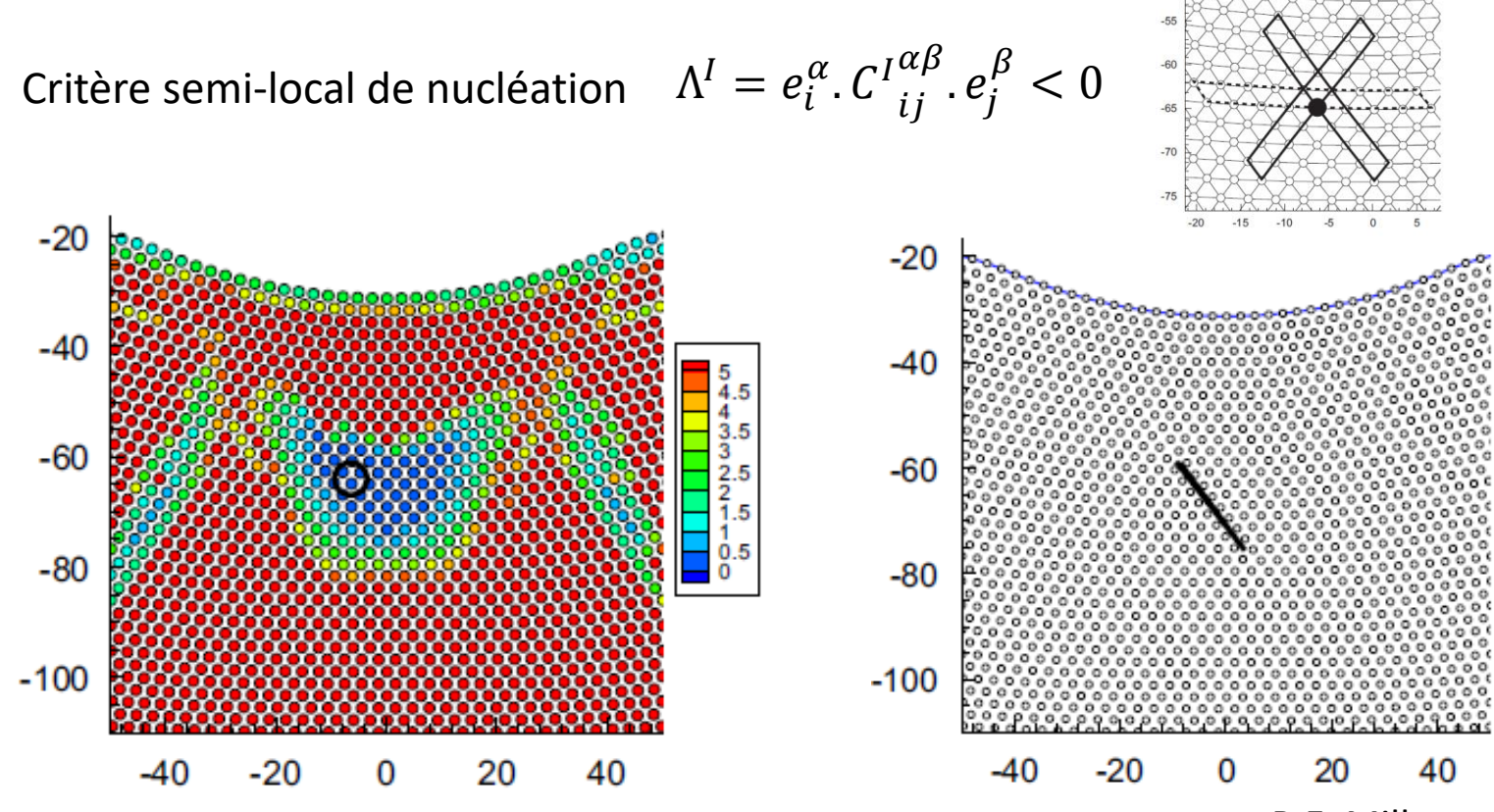






Nucléation de plasticité dans un cristal

En tenant compte de l'extension finie du défaut initial (boucle de dislocation):



R.E. Miller et al. (2008)











Stabilité d'un Matériau Amorphe

dans le cas de simulations athermales quasi-statiques

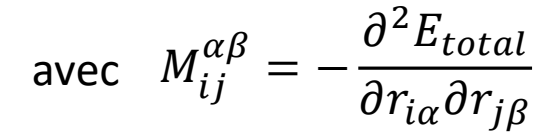
$$m_{i} \frac{\partial^{2} u_{\alpha}}{\partial t^{2}} (\underline{r}_{i}, t) = -\sum_{j,\beta} M_{ij}^{\alpha\beta} . u_{\beta} (\underline{r}_{j}, t)$$

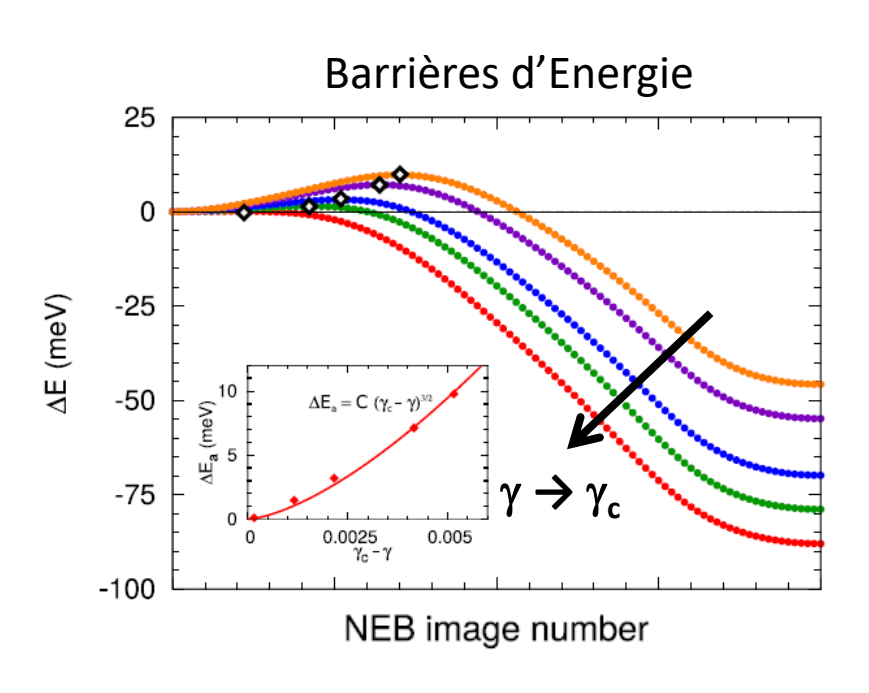
$$\underline{V}(\underline{r_i})e^{i\omega t} = \sqrt{m_i}\,\underline{u}(\underline{r_i},t)$$

$$D_{ij}^{\alpha\beta} = \frac{M_{ij}^{\alpha\beta}}{\sqrt{m_i m_j}}$$
 Matrice Dynamique

$$\omega^2 \underline{V} = \overline{\overline{D}} \cdot \underline{V} \quad \omega \to 0$$

Problème aux valeurs propres





T. Albaret et al. (2018)

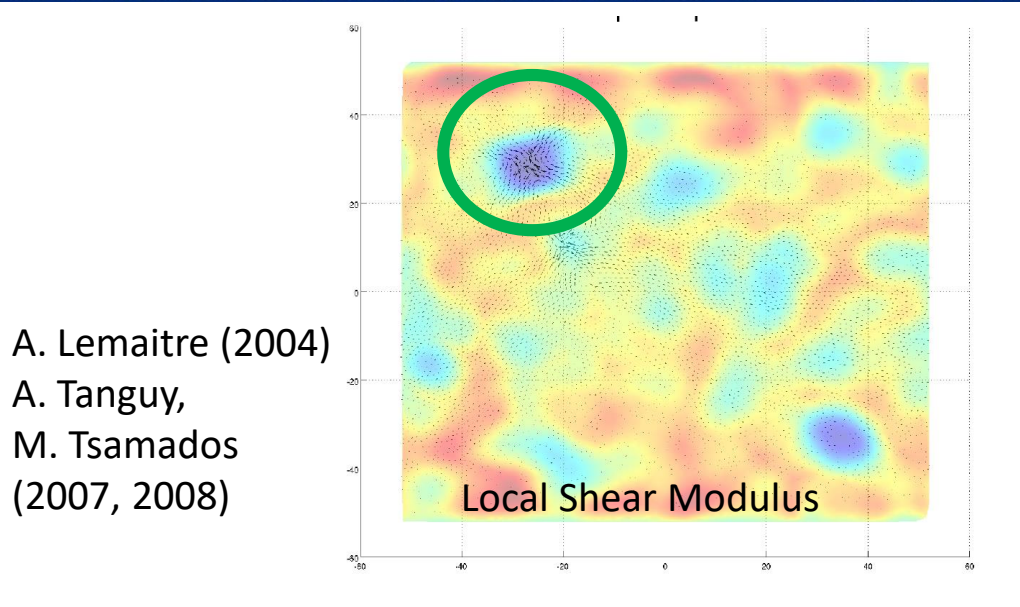




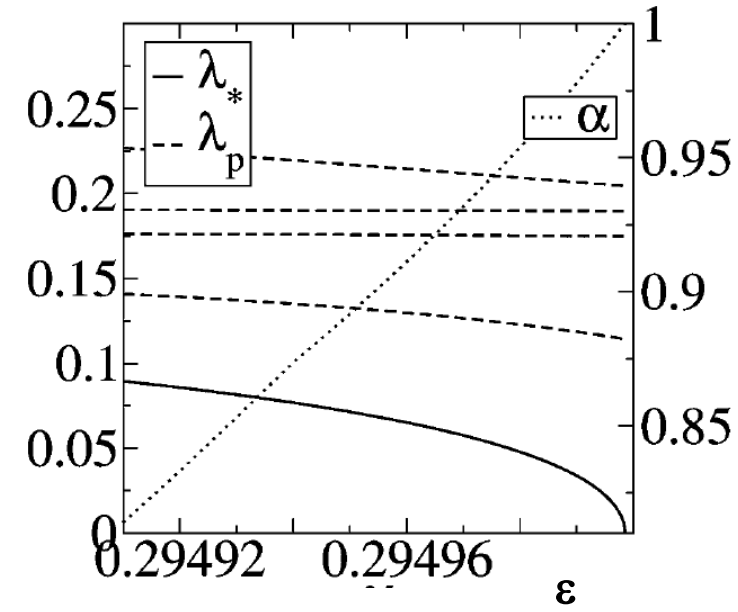




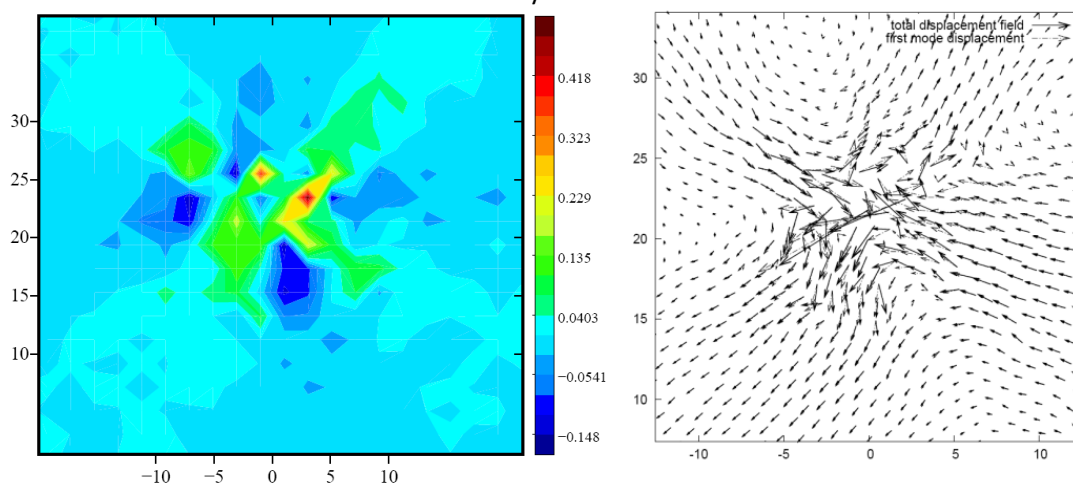








Réarrangement Plastique σ_{xy} : Mode mou de vibration:



Localisation sur une zone *Molle* de la vibration de plus *Basse* Fréquence

Juste avant un réarrangement plastique.

B. Mantisi (2010)



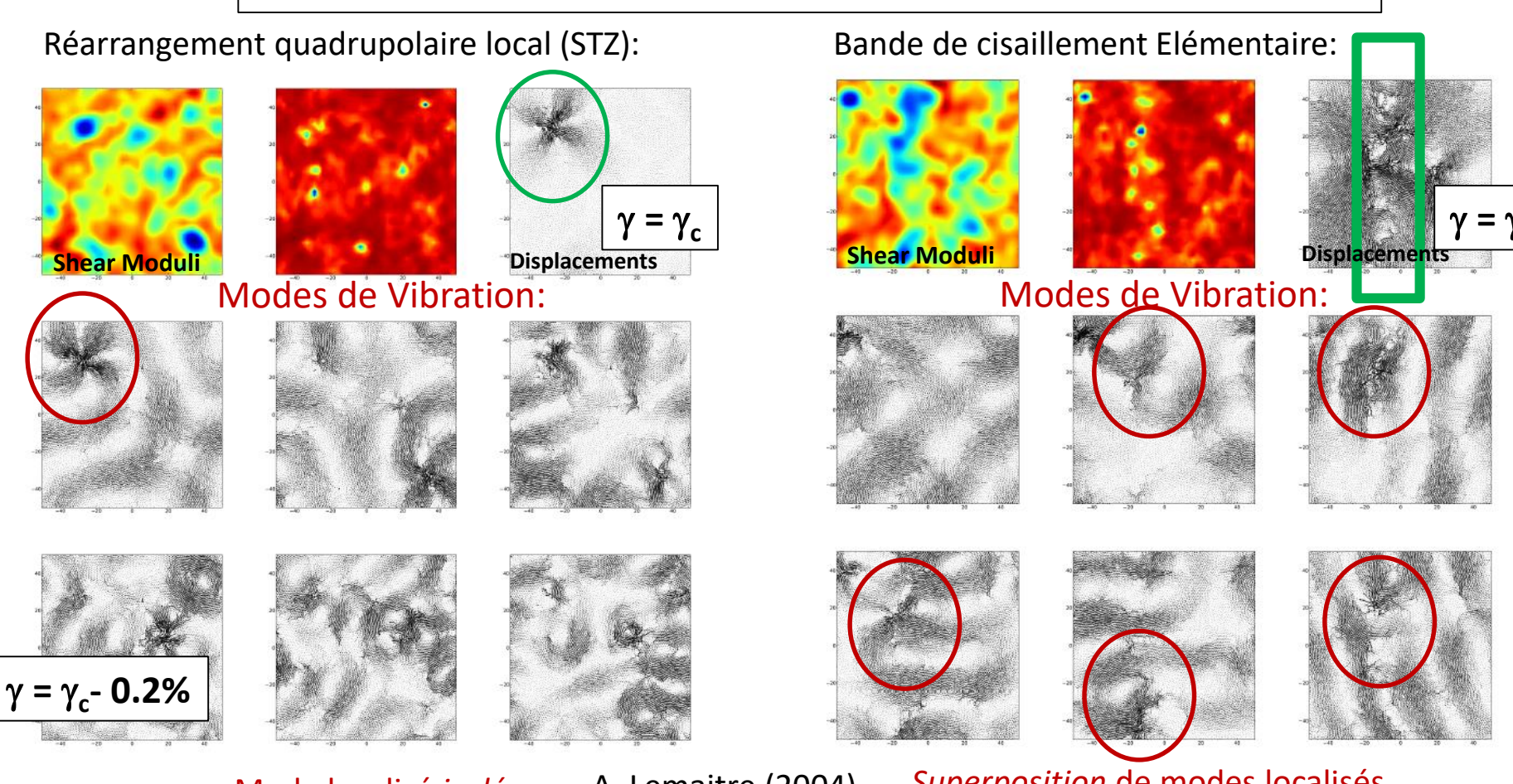








Prédiction des réarrangements plastiques par les Modes mous de vibration dans un verre Lennard-Jones 2D:



Mode localisé *isolé* A. Lemaitre (2004) A. Tanguy et al. (2010)

Superposition de modes localisés, le long de zones molles percolantes







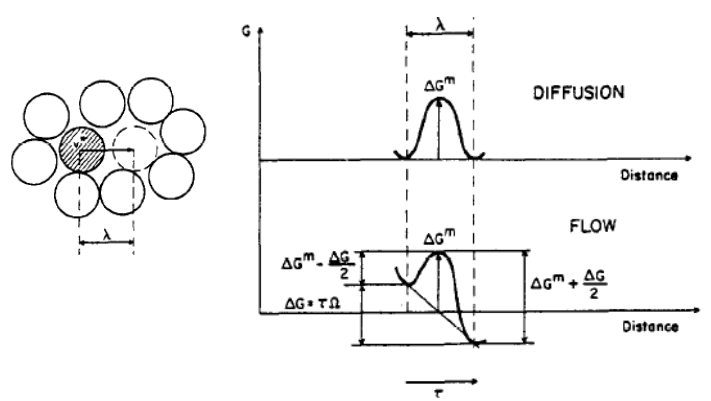




Nature des réarrangements plastiques dans un Amorphe?

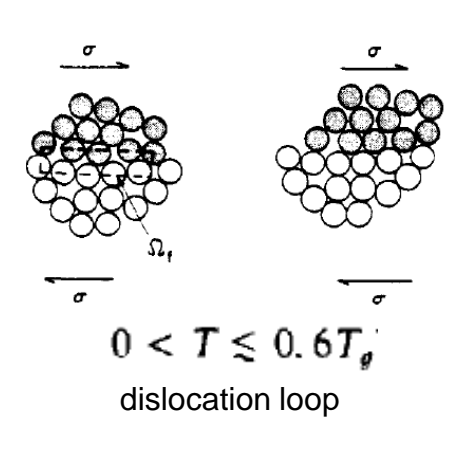
Théorie du Volume Libre

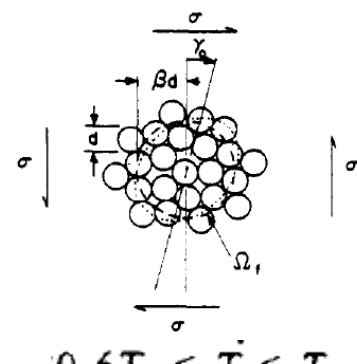
M. Cohen et D.Turnbull (1959), F. Spaepen (1977)



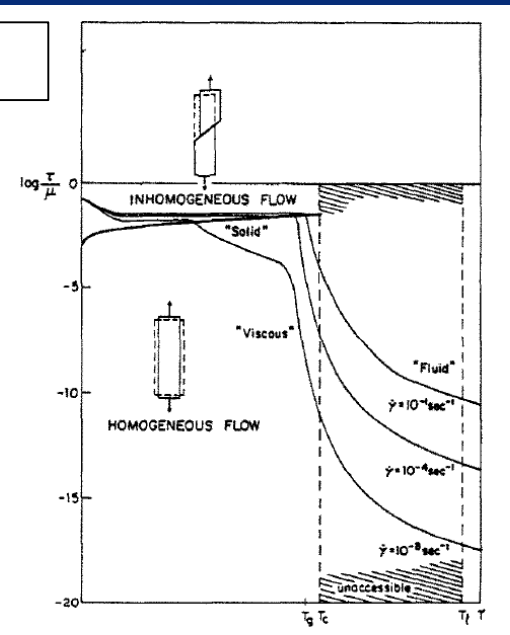
Théorie des Transformations de Cisaillement

A. Argon (1979)



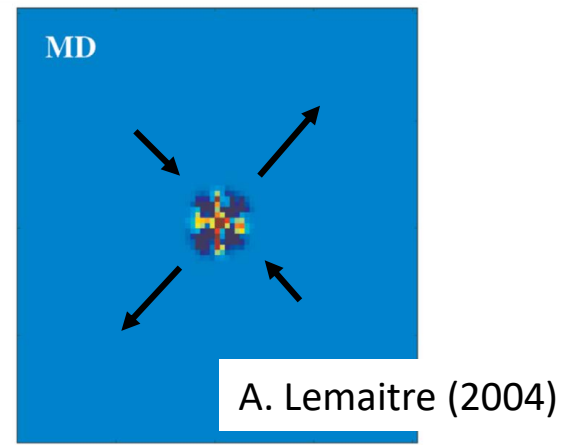


$$0.6T_g \leq T \leq T_g$$
 isotropic



Inclusions de type Eshelby

J.D. Eshelby (1957)





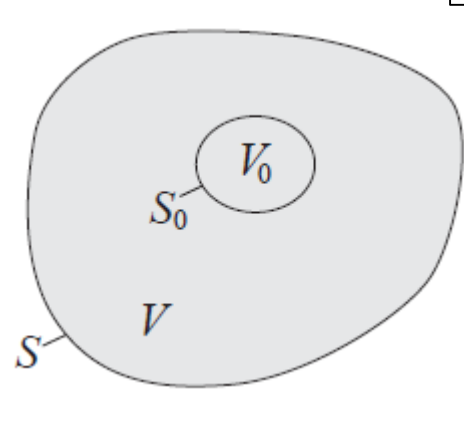






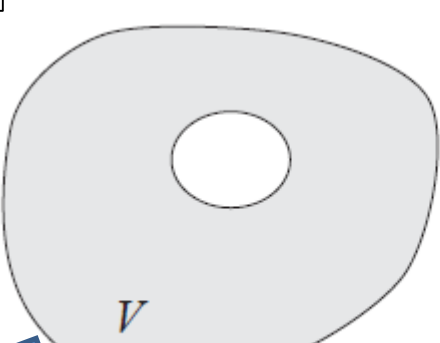


Inclusion d'Eshelby (1957)



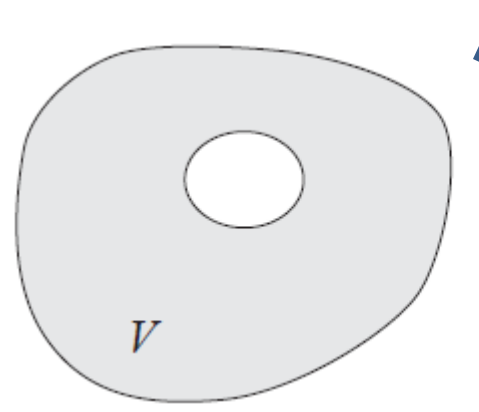
Hétérogénéité élastique localisée sur une ellipse dans une matrice élastique.

On notera ε^* la déformation « libre » de l'inclusion.

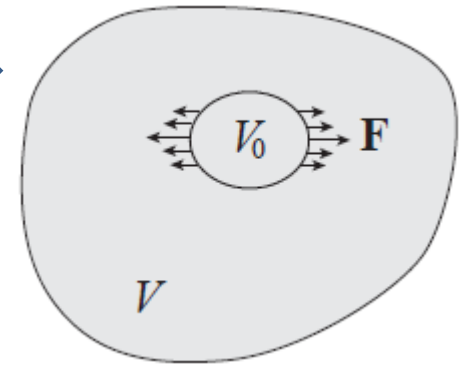




matrix	inclusion
$e_{ij} = 0$	$e_{ij} = e_{ij}^*$
$\sigma_{ij} = 0$	$\sigma_{ij} = 0$
$u_i = 0$	$u_i = e_{ij}^* x_j$



matrix	inclusion
$e_{ij} = 0$	$e_{ij} = e_{ij}^{\text{el}} + e_{ij}^* = 0$
$\sigma_{ij} = 0$	$\sigma_{ij} = C_{ijkl}e_{ij}^{\text{el}} = -C_{ijkl}e_{ij}^* = -\sigma_{ij}^*$
$u_i = 0$	$u_i = 0$



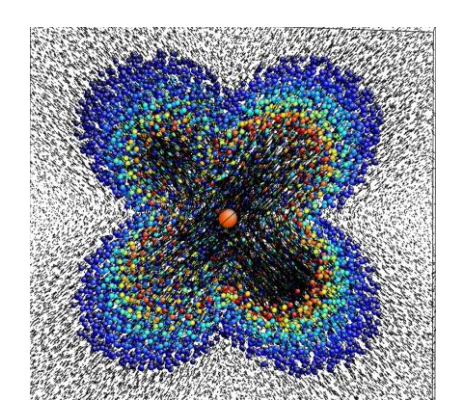
matrix	inclusion
$e_{ij} = e_{ij}^{c}$	$e_{ij} = e_{ij}^{c}$
$\sigma_{ij} = \sigma^{c}_{ij}$	$\sigma_{ij} = \sigma_{ij}^{c} - \sigma_{ij}^{*} = C_{ijkl}(e_{kl}^{c} - e_{kl}^{*})$
$u_i = u_i^{c}$	$u_i = u_i^c$

Champs Mécaniques générés par une inclusion d'Eshelby sphérique

$$p_{ij} = 2G \left\{ \epsilon_{ij}^{*} + \nu \delta_{ij} \frac{\epsilon_{kk}^{*}}{(1 - 2\nu)} \right\}$$

$$\epsilon_{ij}^{\rm in} = S_{ijkl} \epsilon_{kl}^{*}$$

$$\sigma_{ij}^{\rm in} = C_{ijkl} \epsilon_{kl}^{\rm in} - p_{ij} = C_{ijkl} \left(\epsilon_{kl}^{\rm in} - \epsilon_{kl}^{\$} \right)$$



$$u_i = \frac{a^3}{4(1-\nu)G} \left\{ \frac{(2p_{ik}x_k + p_{kk}x_i)}{15R^5} (3a^2 - 5R^2) + \frac{p_{jk}x_jx_kx_i}{R^7} (R^2 - a^2) + \frac{4(1-\nu)p_{ik}x_k}{3R^3} \right\}$$

$$\sigma_{ij}^{\rm out} = \frac{a^3}{2(1-\nu)R^3} \left\{ \frac{p_{ij}}{15} \left(10(1-2\nu) + 6\frac{a^2}{R^2} \right) \right. \\ \left. + \frac{p_{ik}x_kx_j + p_{jk}x_kx_i}{R^2} \left(2\nu - 2\frac{a^2}{R^2} \right) \right. \\ \left. + \frac{p_{ik}x_kx_j + p_{jk}x_kx_i}{R^2} \left(2\nu - 2\frac{a^2}{R^2} \right) \right\} \\ \left. + \frac{p_{ik}x_kx_j + p_{jk}x_kx_i}{R^2} \left(2\nu - 2\frac{a^2}{R^2} \right) \right\} \\ \left. + \frac{p_{ik}x_kx_j + p_{jk}x_kx_i}{R^2} \left(2\nu - 2\frac{a^2}{R^2} \right) \right] \\ \left. + \frac{p_{ik}x_kx_j + p_{jk}x_kx_i}{R^2} \left(2\nu - 2\frac{a^2}{R^2} \right) \right] \\ \left. + \frac{p_{ik}x_kx_j + p_{jk}x_kx_i}{R^2} \left(2\nu - 2\frac{a^2}{R^2} \right) \right] \\ \left. + \frac{p_{ik}x_kx_j + p_{jk}x_kx_i}{R^2} \left(2\nu - 2\frac{a^2}{R^2} \right) \right] \\ \left. + \frac{p_{ik}x_kx_j + p_{jk}x_kx_i}{R^2} \left(2\nu - 2\frac{a^2}{R^2} \right) \right] \\ \left. + \frac{p_{ik}x_kx_j + p_{jk}x_kx_i}{R^2} \left(2\nu - 2\frac{a^2}{R^2} \right) \right] \\ \left. + \frac{p_{ik}x_kx_j + p_{jk}x_kx_i}{R^2} \left(2\nu - 2\frac{a^2}{R^2} \right) \right] \\ \left. + \frac{p_{ik}x_kx_j + p_{jk}x_kx_i}{R^2} \left(2\nu - 2\frac{a^2}{R^2} \right) \right] \\ \left. + \frac{p_{ik}x_kx_j + p_{jk}x_kx_i}{R^2} \left(2\nu - 2\frac{a^2}{R^2} \right) \right] \\ \left. + \frac{p_{ik}x_kx_j + p_{jk}x_kx_i}{R^2} \left(2\nu - 2\frac{a^2}{R^2} \right) \right] \\ \left. + \frac{p_{ik}x_kx_j + p_{jk}x_kx_i}{R^2} \left(2\nu - 2\frac{a^2}{R^2} \right) \right] \\ \left. + \frac{p_{ik}x_kx_j + p_{jk}x_kx_i}{R^2} \left(2\nu - 2\frac{a^2}{R^2} \right) \right] \\ \left. + \frac{p_{ik}x_kx_j + p_{jk}x_kx_i}{R^2} \left(2\nu - 2\frac{a^2}{R^2} \right) \right] \\ \left. + \frac{p_{ik}x_kx_j + p_{jk}x_kx_i}{R^2} \left(2\nu - 2\frac{a^2}{R^2} \right) \right] \\ \left. + \frac{p_{ik}x_kx_j + p_{jk}x_kx_i}{R^2} \left(2\nu - 2\frac{a^2}{R^2} \right) \right] \\ \left. + \frac{p_{ik}x_kx_j + p_{jk}x_kx_i}{R^2} \left(2\nu - 2\frac{a^2}{R^2} \right) \right] \\ \left. + \frac{p_{ik}x_kx_j + p_{jk}x_kx_i}{R^2} \left(2\nu - 2\frac{a^2}{R^2} \right) \right] \\ \left. + \frac{p_{ik}x_kx_j + p_{jk}x_kx_i}{R^2} \left(2\nu - 2\frac{a^2}{R^2} \right) \right] \\ \left. + \frac{p_{ik}x_kx_j + p_{jk}x_kx_i}{R^2} \left(2\nu - 2\frac{a^2}{R^2} \right) \right] \\ \left. + \frac{p_{ik}x_kx_j + p_{jk}x_kx_i}{R^2} \left(2\nu - 2\frac{a^2}{R^2} \right) \right] \\ \left. + \frac{p_{ik}x_kx_j + p_{jk}x_kx_i}{R^2} \left(2\nu - 2\frac{a^2}{R^2} \right) \right] \\ \left. + \frac{p_{ik}x_kx_j + p_{jk}x_kx_i}{R^2} \left(2\nu - 2\frac{a^2}{R^2} \right) \right] \\ \left. + \frac{p_{ik}x_kx_j + p_{jk}x_kx_i}{R^2} \left(2\nu - 2\frac{a^2}{R^2} \right) \right] \\ \left. + \frac{p_{ik}x_kx_j + p_{jk}x_kx_i}{R^2} \left(2\nu - 2\frac{a^2}{R^2} \right) \right] \\ \left. + \frac{p_{ik}x_kx_j + p_{jk}x_i}{R^2} \left(2\nu - 2\frac{a^2}{R^2} \right) \right] \\$$

$$+\frac{\delta_{ij}\,p_{kk}}{15}\left(3\frac{a^2}{R^2}-5(1-2\nu)\right) + \frac{\delta_{ij}\,p_{kl}x_kx_l}{R^2}\left((1-2\nu)-\frac{a^2}{R^2}\right)$$

$$-\frac{x_i x_j \, p_{kl} x_k x_l}{R^4} \times \left(5 - 7 \frac{a^2}{R^2}\right) + \frac{x_i x_j \, p_{kk}}{R^2} \left(1 - \frac{a^2}{R^2}\right) \right\}$$







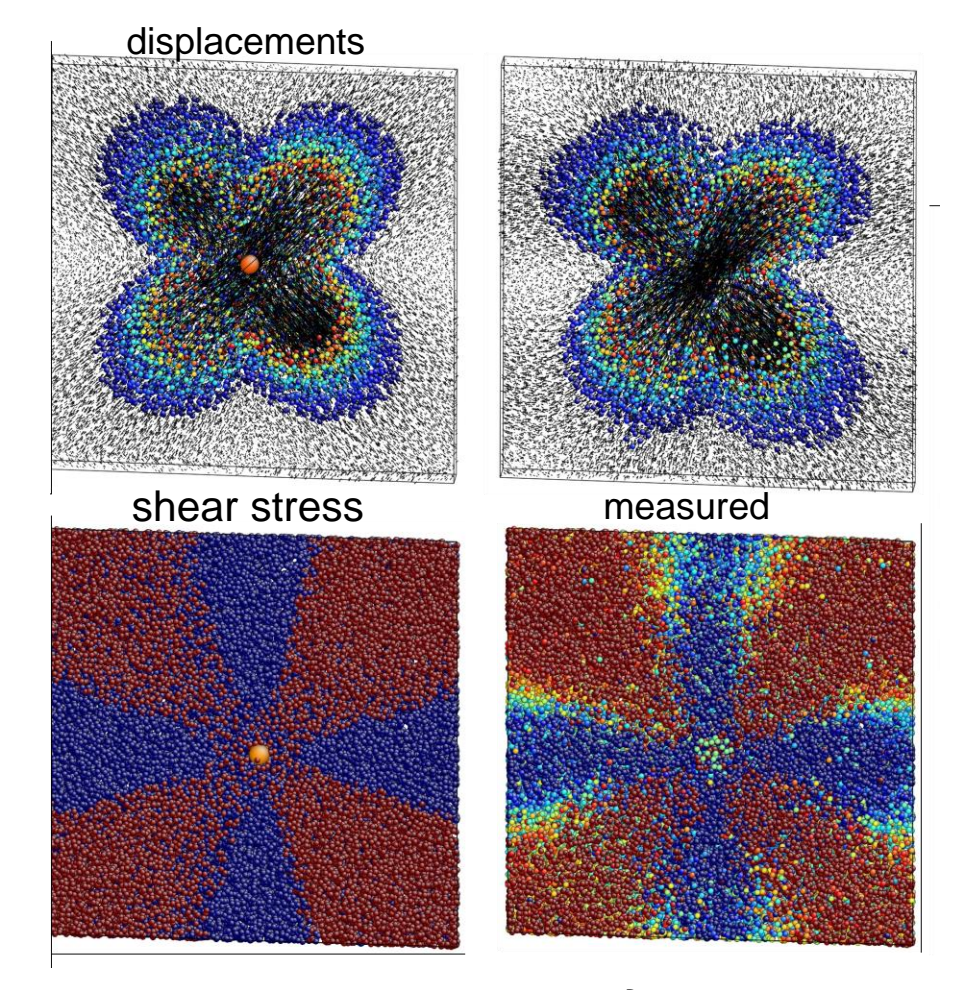




Cas du **silicium amorphe** a-Si

Réarrangements plastiques irréversibles localisés

de type Inclusion de Eshebly



Eshelby Type (here with R=2Å)

T. Albaret et al. (2016)









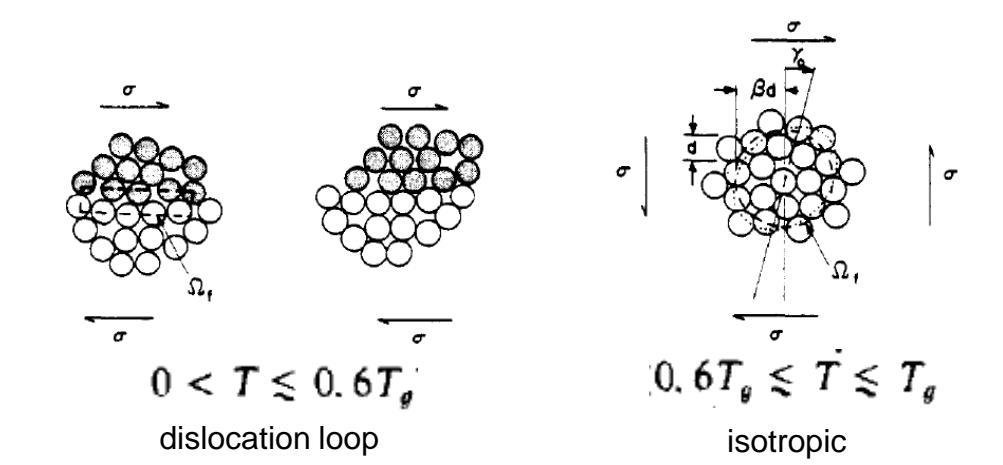


Energie Mécanique Globale en présence d'une inclusion de Eshelby :

Déformation plastique résiduelle (déformation *libre*) \implies Energie *bloquée*

$$W_{bl} = \frac{1}{2} \int_{Vol} \underline{\underline{\sigma}} : \underline{\underline{\varepsilon}} dV = \frac{1}{2} \int_{Vol} \underline{\underline{\varepsilon}} : \underline{\underline{\varepsilon}} : \underline{\underline{\varepsilon}} dV - \frac{1}{2} \int_{l} \underline{\underline{\varepsilon}} : \underline{\underline{\varepsilon}} : \underline{\underline{\varepsilon}} : \underline{\underline{\varepsilon}} dV$$
$$= \frac{1}{2} \int_{S^{ext}} \underline{\underline{u}} \cdot \underline{\underline{\sigma}} \cdot \underline{\underline{n}} dS - \frac{1}{2} V_{l} \langle \underline{\underline{\sigma}} \rangle : \underline{\underline{\varepsilon}}^{*} = W_{ext} - \frac{1}{2} V_{l} \langle \underline{\underline{\sigma}} \rangle : \underline{\underline{\varepsilon}}^{*}$$

Energie « accrochée » dans le cœur des inclusions



A. Argon (1979)











Plasticité à l'échelle atomique

1) Critère de nucléation et irréversibilité

2) Surface de charge

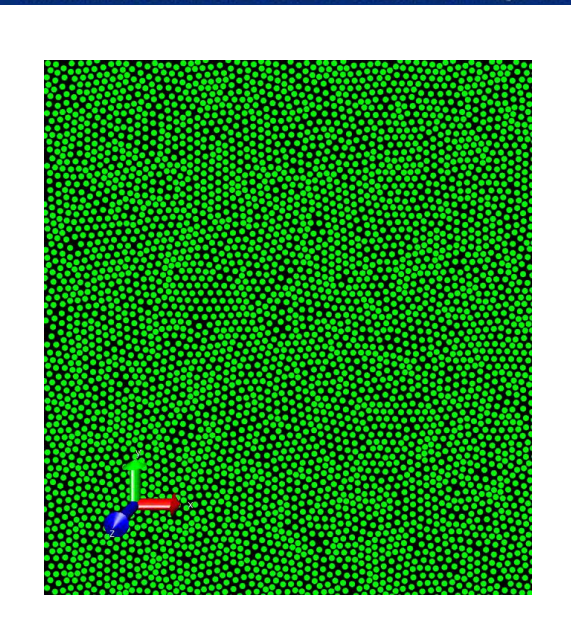




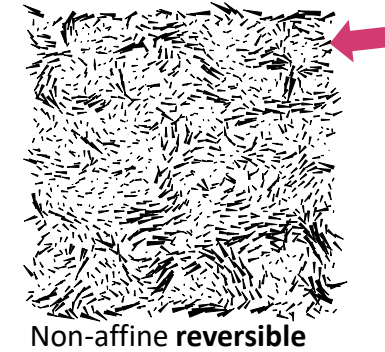








A.Tanguy et al. (2006)

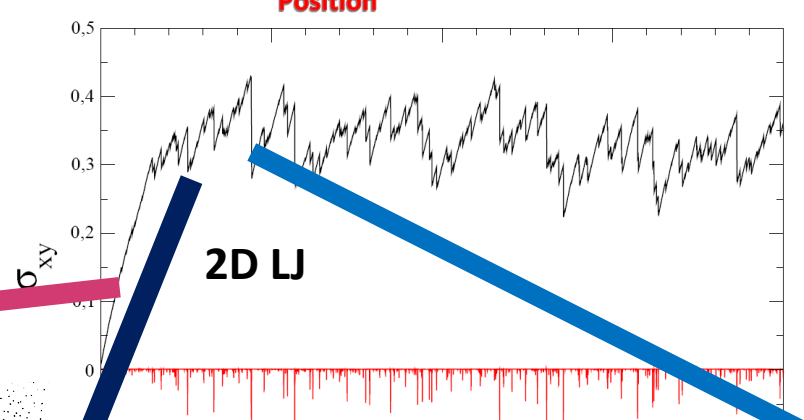


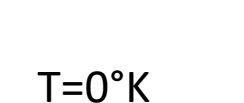
displacements (x10³)

Local shear irreversible
(x40) quadrupolar event

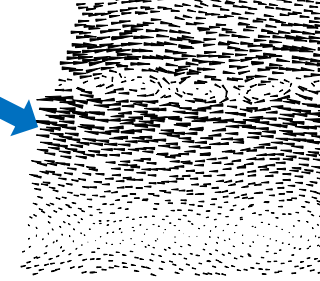
Cas d'un verre de Lennard-Jones 2D Initial Position Displacement Non-Affine







 $\Delta\sigma_{xy}^{}$



Athermal

Quasi-static

deformation

Elementary
Shear band (x0.4)

1-0 K

Tanguy et al (2002)



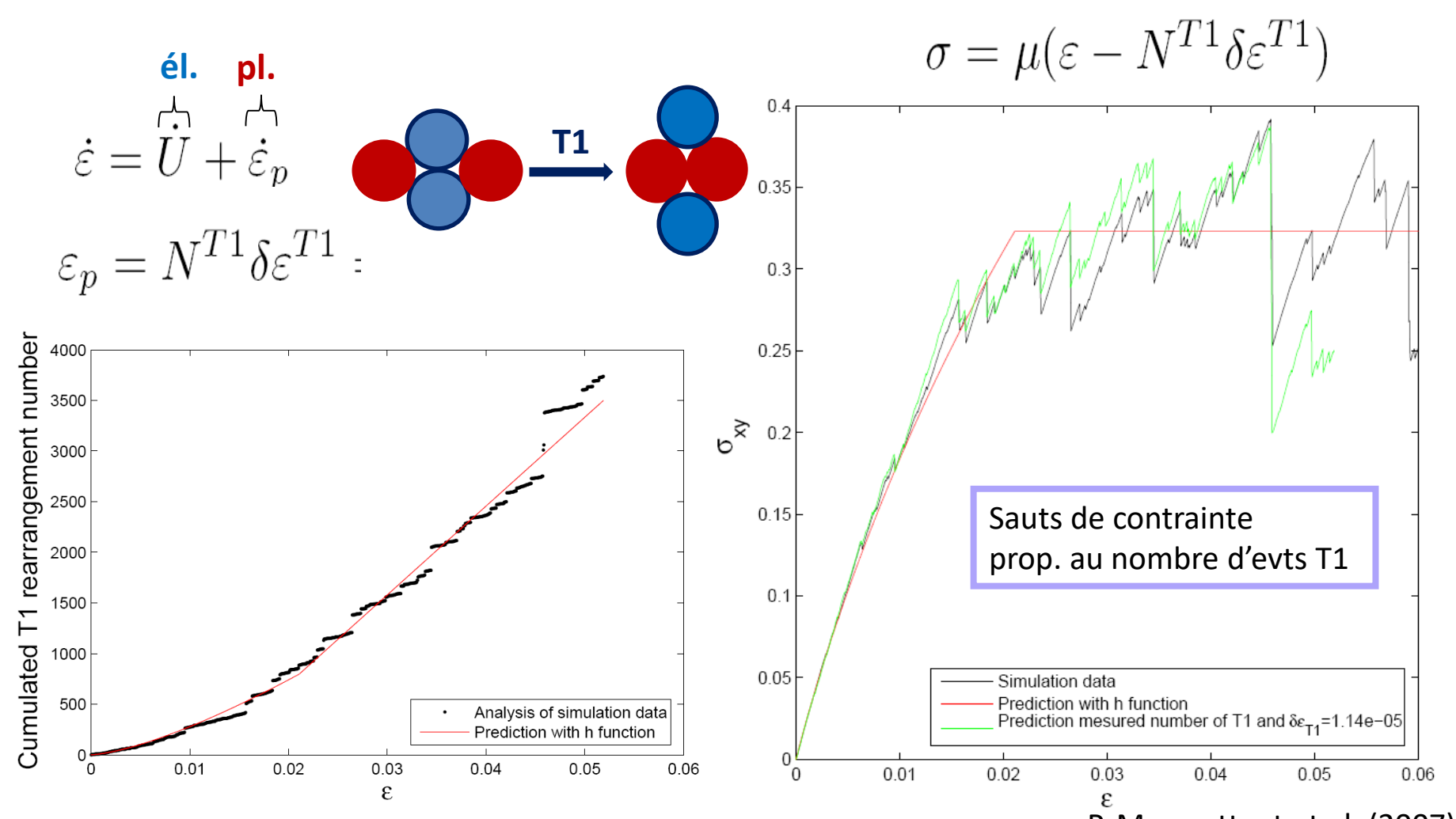








Cas d'un verre de Lennard-Jones 2D



P. Marmottant et al. (2007)











Réarrangement T1 dans un verre de silice 2D

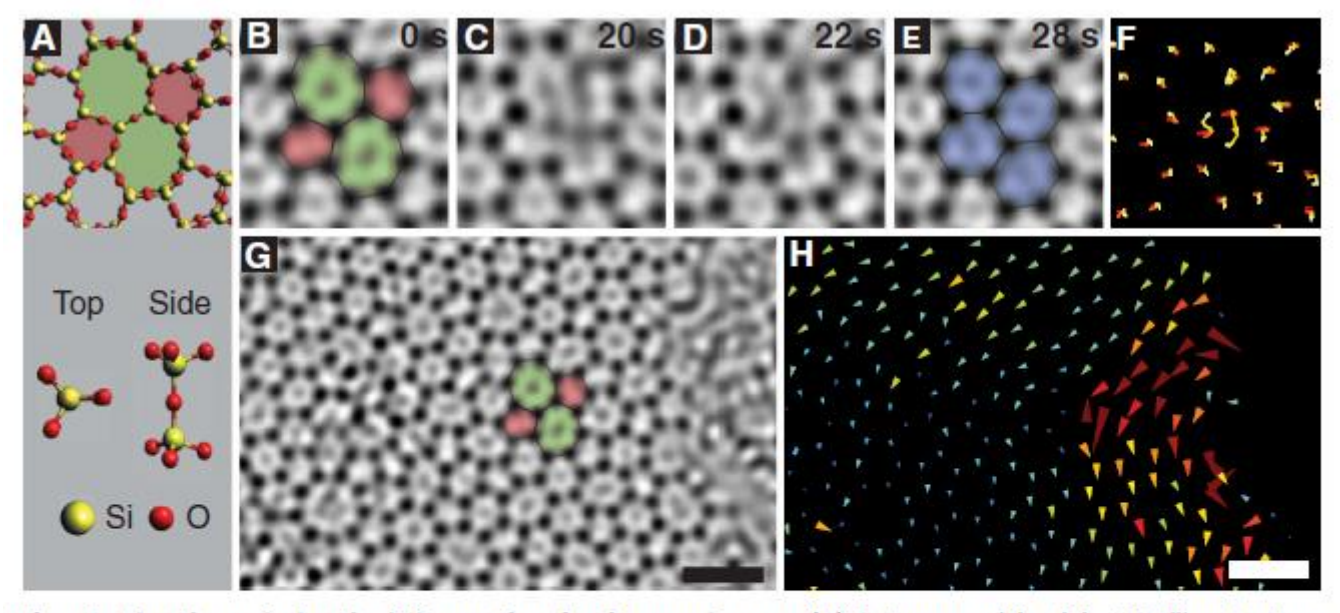


Fig. 1. Elastic and plastic deformation in ring exchange. (A) Cartoon models of the 2D silica structure. (B to E) TEM images showing a ring rearrangement that transforms a 5-7-5-7 duster into a 6-6-6-6 cluster. The dark spots are Si-O-Si columns that correspond with the top and side views in (A). Images have been smoothed and Fourier-filtered to remove the graphene lattice background [see figs. S2 and S3 and (17)]. (F) A trajectory map of the atomic sites. Color (red to yellow) indicates time of motion. (G) Larger view of the region from (A), and (H) corresponding first-to-last frame displacement map. The arrows have been enlarged \times 2 to increase visibility; color indicates size of displacement, from 0 (dark blue) to \geq 1.3 Å (red). The region between the bond rearrangement and the edge of the sheet exhibits strong local rotation. Scale bars: 1 nm. See also movies S1 and S2.





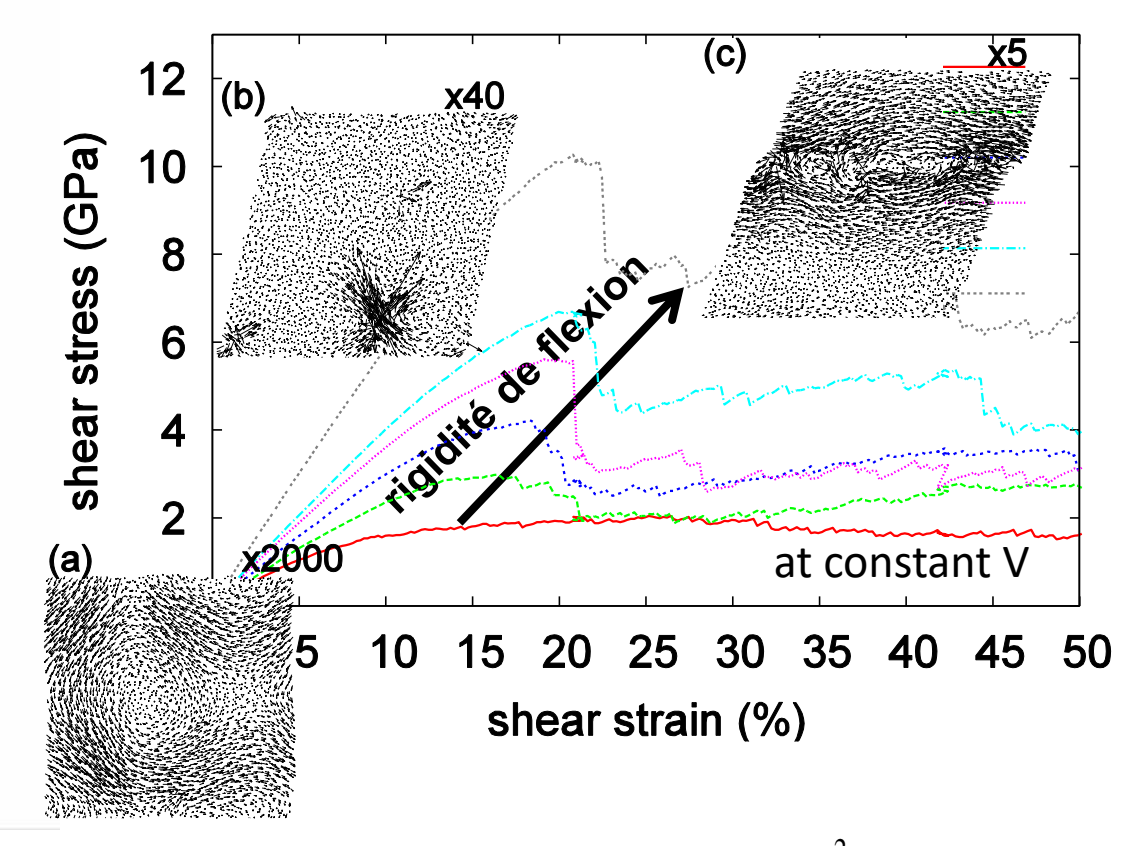






Cas du silicium amorphe a-Si







Energie d'interaction $E_{SW} = \sum_{(i,j)} f(r_{ij}) + \sum_{i,j,k} \Lambda ... \left(\cos \theta_{jik} + \frac{1}{3}\right)^2 .e^{\gamma . (r_{ij} - a)^{-1} + \gamma . (r_{ik} - a)^{-1}}$



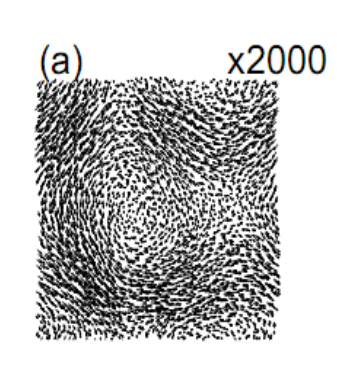


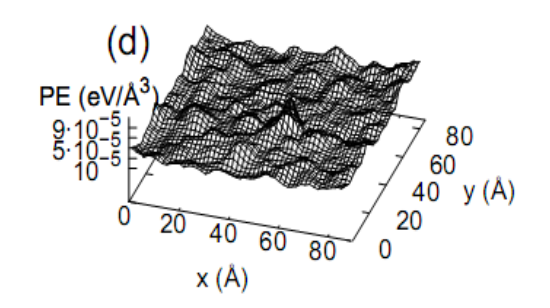


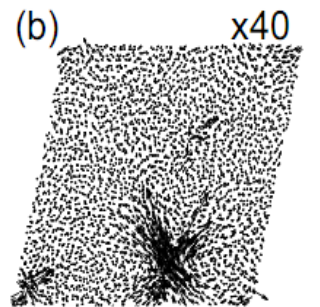


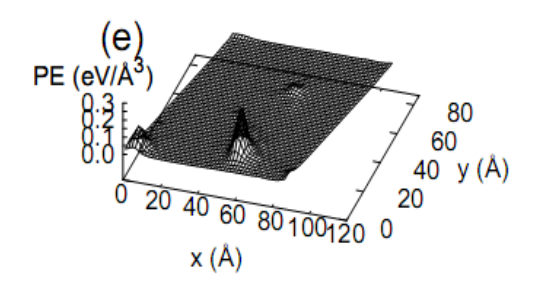


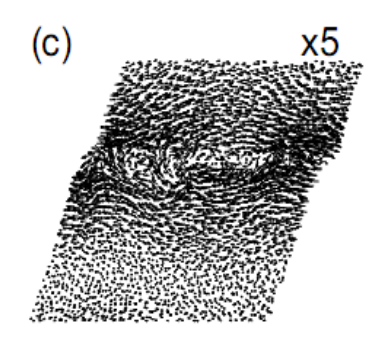
Cas du silicium amorphe a-Si

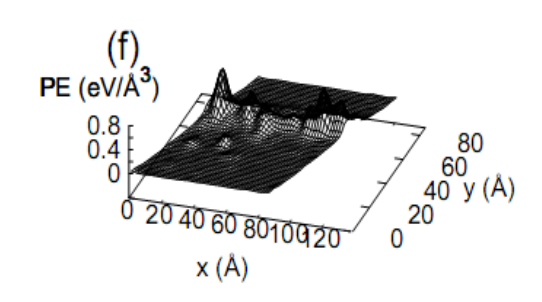


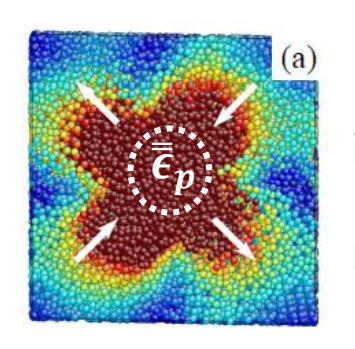








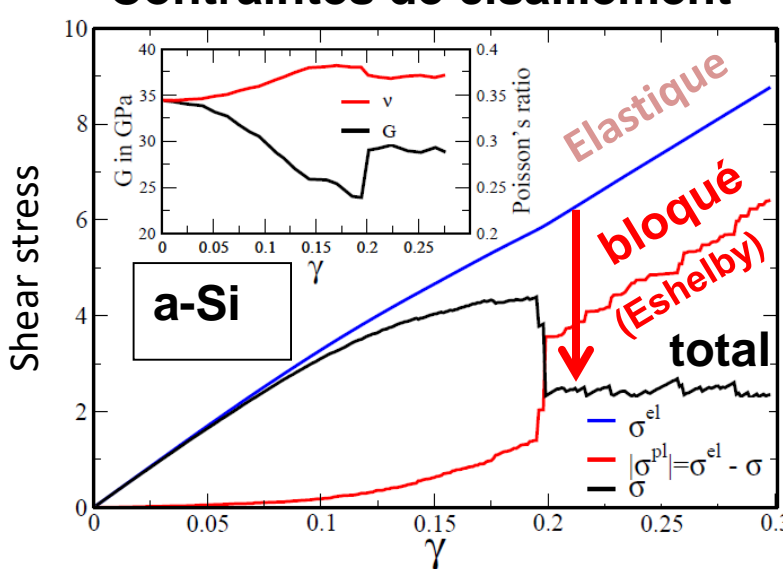




Déplacements irréversibles locaux

Eshelby (1953)

Contraintes de cisaillement



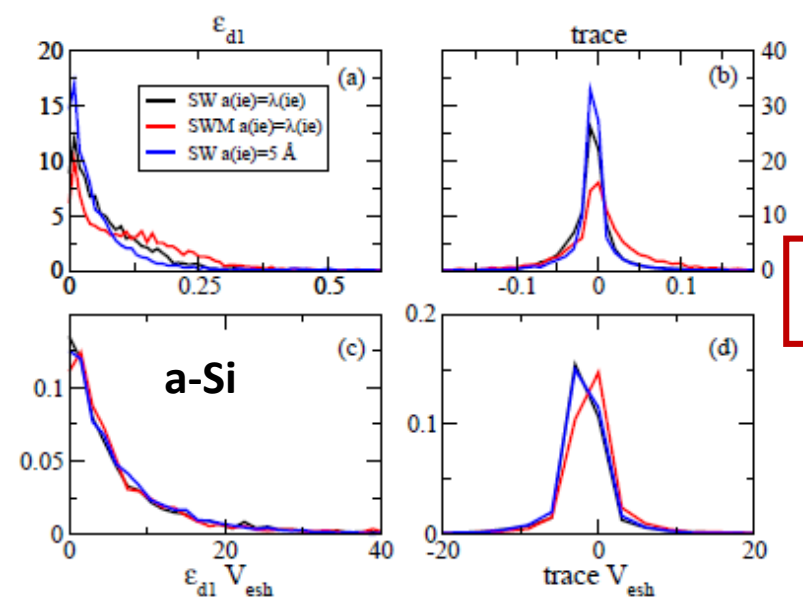










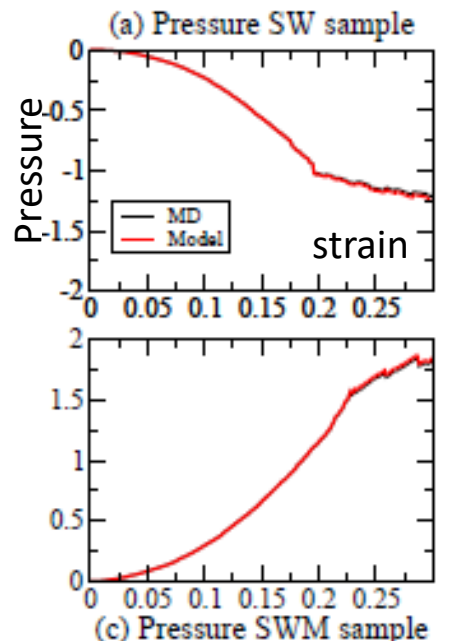


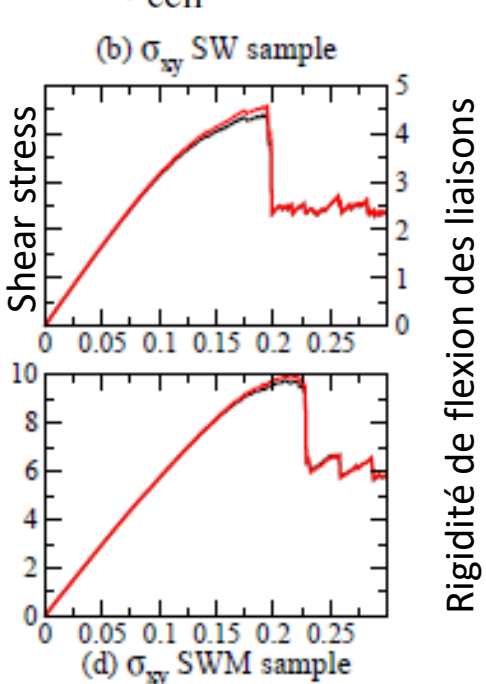
Tenseur de **Eshelby** vs. Lois de **Comportement**: le cas du **silicium amorphe** a-Si

$$\delta_i \epsilon_{xy} = \delta_i \epsilon_{xy}^{\text{el}} + \delta_i \epsilon_{xy}^{\text{pl}}$$

$$\delta_i \sigma_{xy} = 2G(\gamma_i) \delta_i \epsilon_{xy} - 2G(\gamma_i) \delta_i \epsilon_{xy}^{\text{pl}} = \delta_i \sigma_{xy}^* - \delta_i \sigma_{xy}^{\text{pl}}$$

$$\delta \sigma_{xy}^{\text{pl,esh+bc}}(e) = \frac{2G(\gamma_i)V_{\text{esh}}(e)}{V_{\text{cell}}} \epsilon_{xy}^*(e)$$







Loi de comportement

T. Albaret et al. (2015)



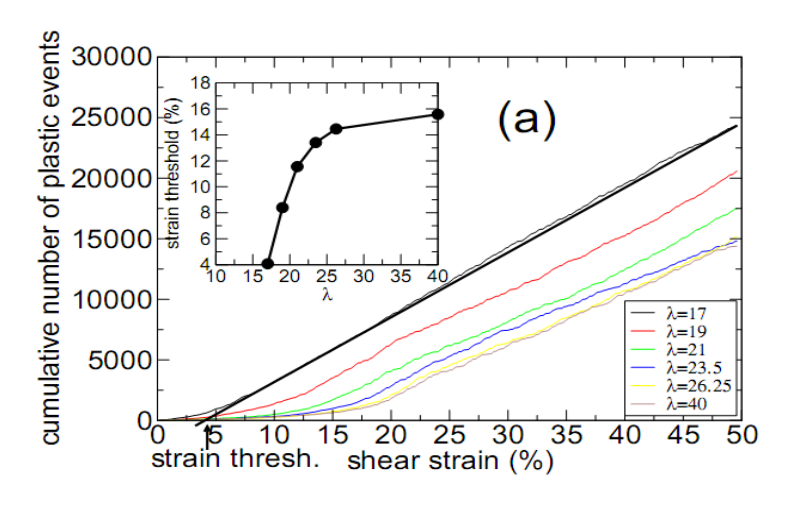


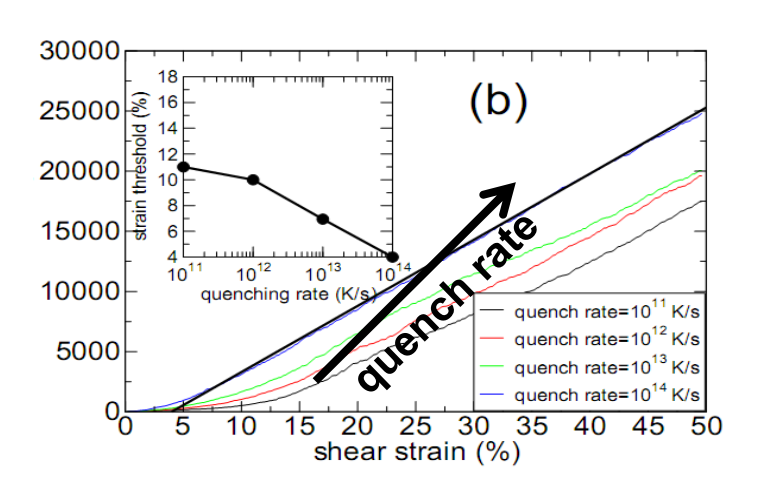


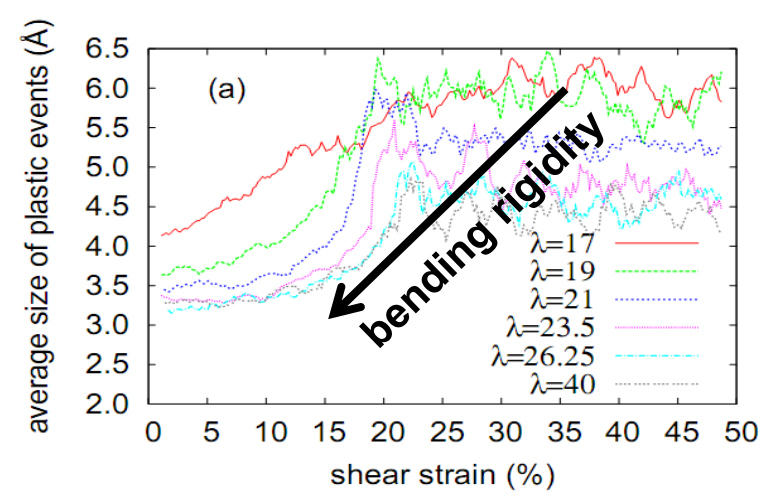


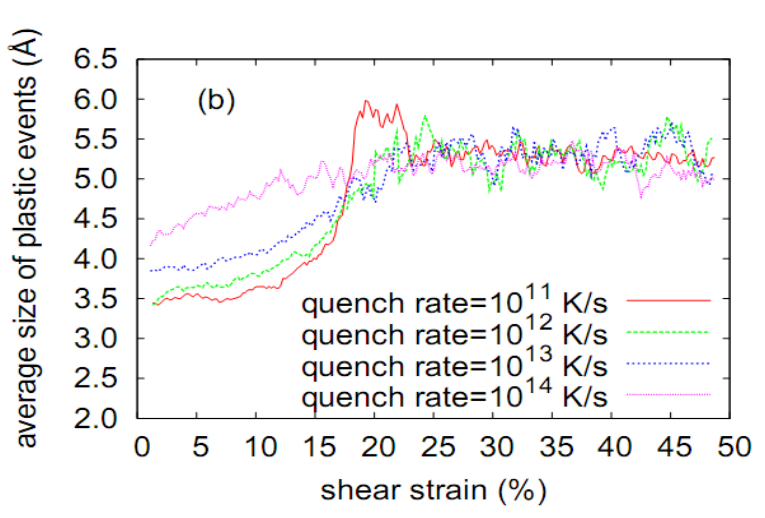


Evolution de la *taille* et du *nombre* des réarrangements plastiques dans les échantillons de type **a-Si**











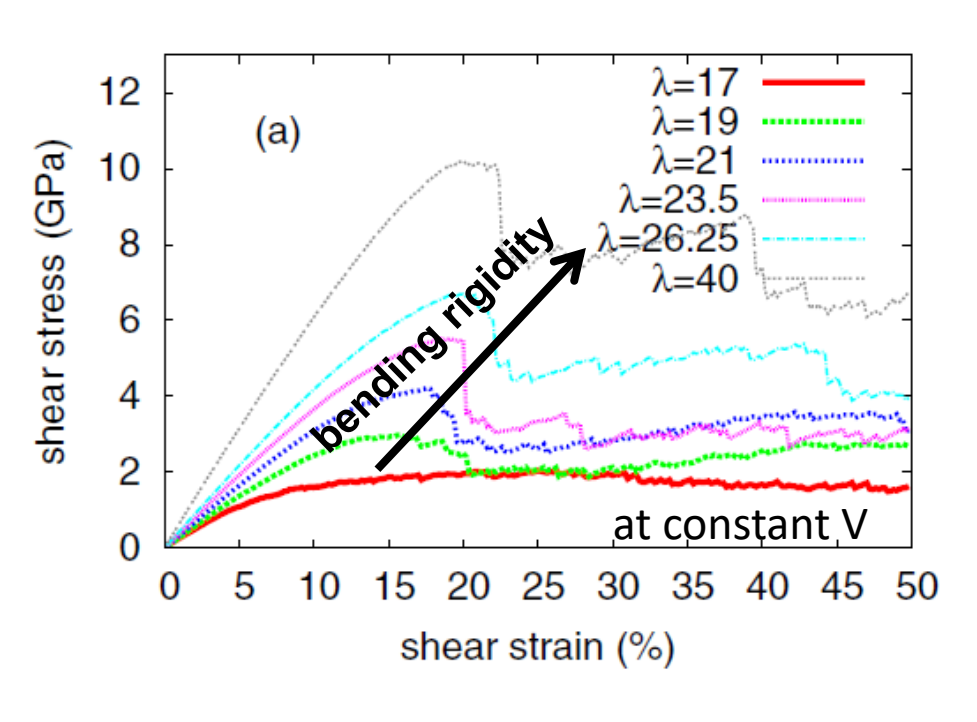


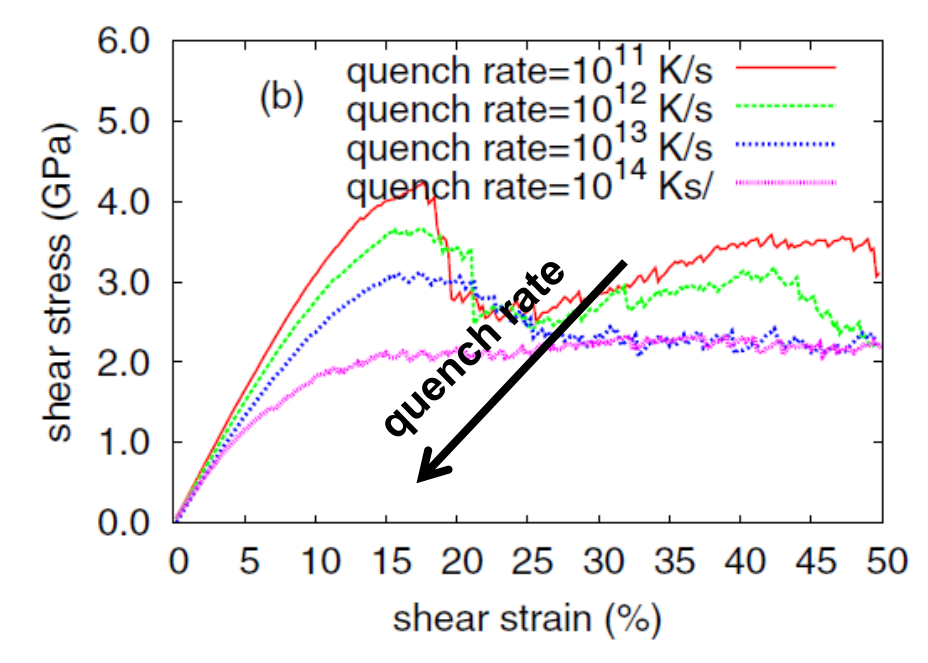






Cisaillement à volume constant dans les échantillons de type a-Si :







$$E_{SW} = \sum_{(i,j)} f(r_{ij}) + \sum_{i,j,k} \Lambda .. \left(\cos \theta_{jik} + \frac{1}{3} \right)^2 .e^{\gamma . (r_{ij} - a)^{-1} + \gamma . (r_{ik} - a)^{-1}}$$



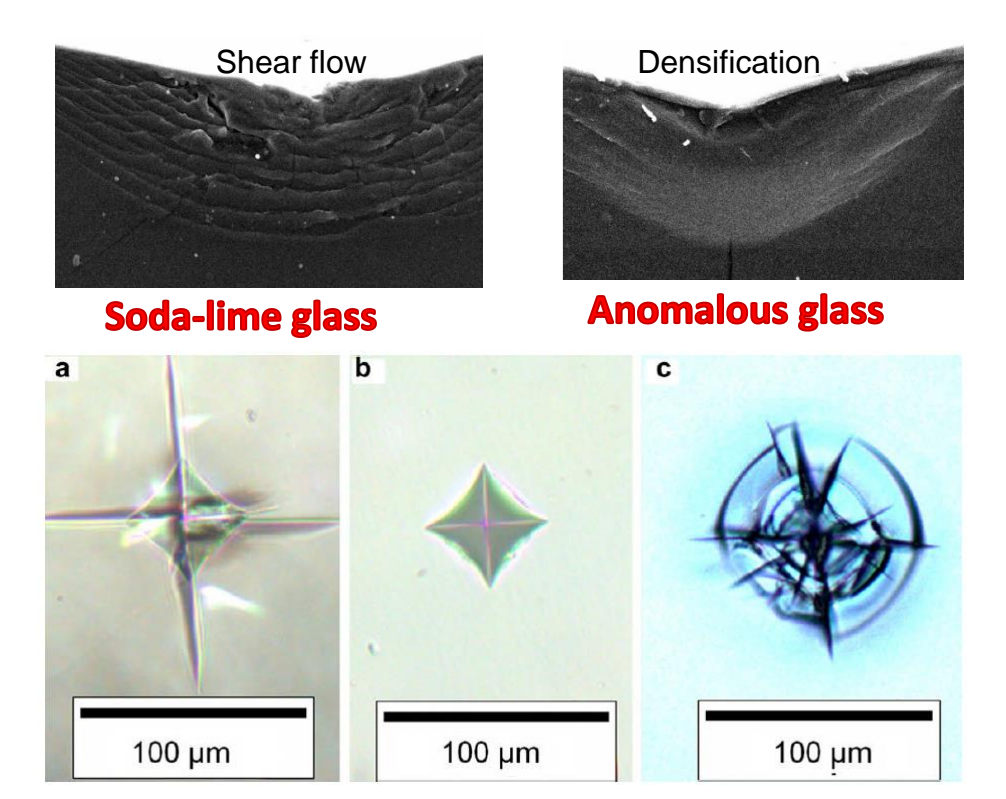








Role de la **composition chimique** dans les verres **sodo-silicate**



(a) 60% SiO₂ 20% Al₂O₃ 20% CaO; (b) 80% SiO₂ 10% Al₂O₃ 10% CaO; (c) 100% SiO₂





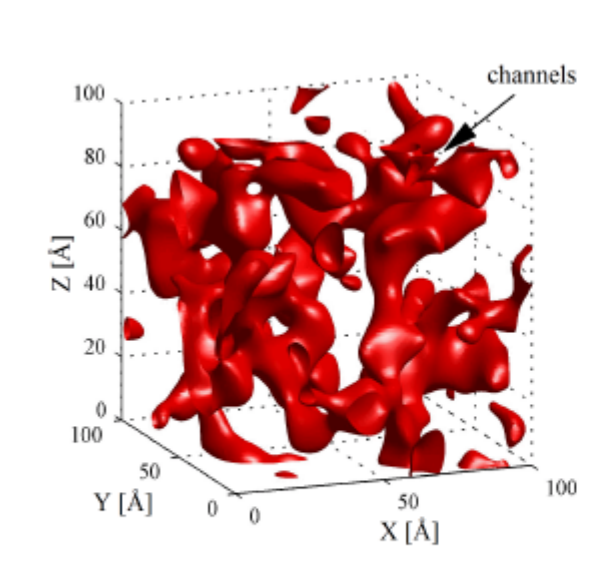




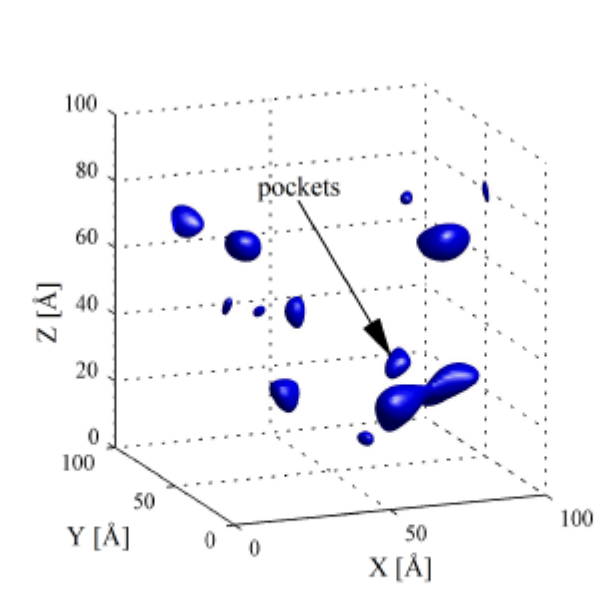


Structure of **sodo-silicate** glasses:

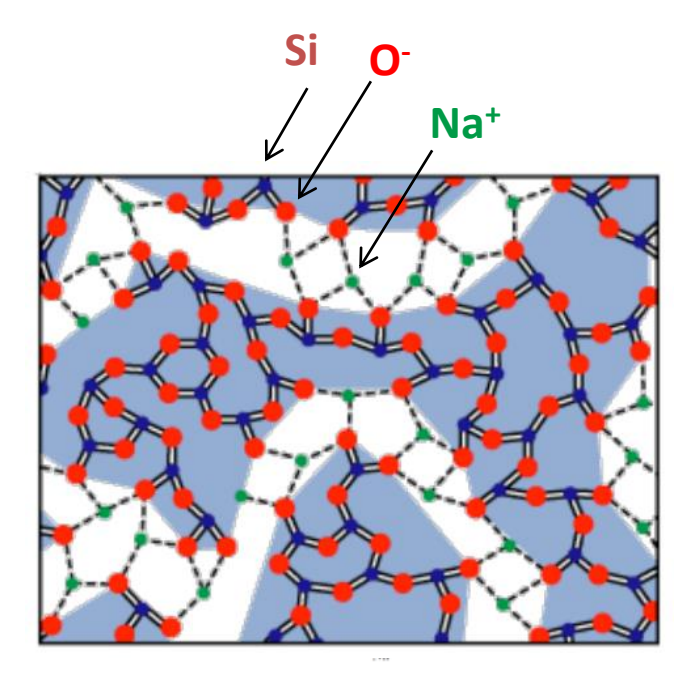
Pockets of Na ions along Channels



(a) $\rho_{Na} = 16.25 \text{ atom/nm}^3$.



(b) $\rho_{Na} = 18.25 \text{ atom/nm}^3$.



Sodium Channels

Greaves (1985) Meyer (2004)



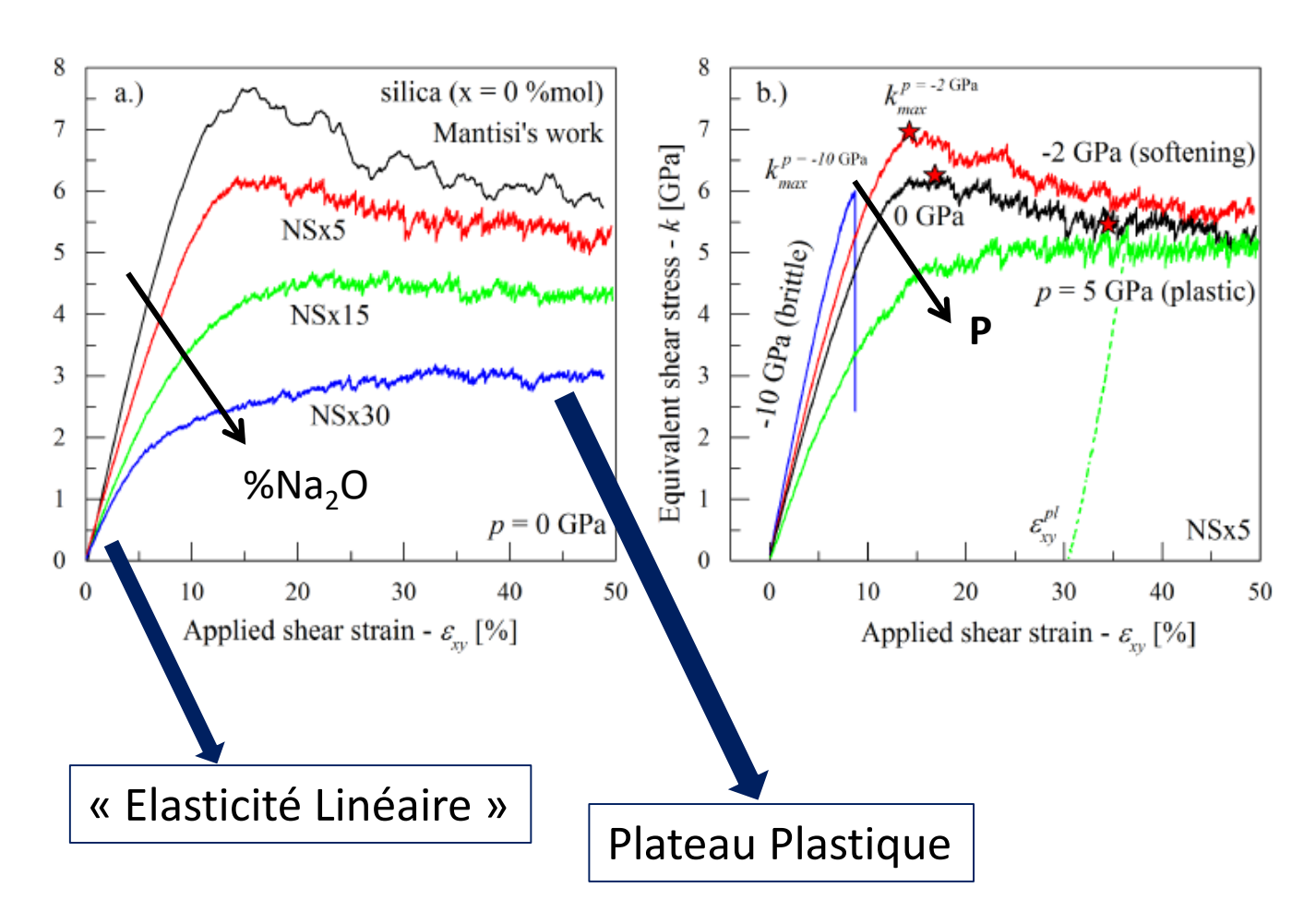








Déformation mécanique quasi-statique d'un verre sodo-silicate





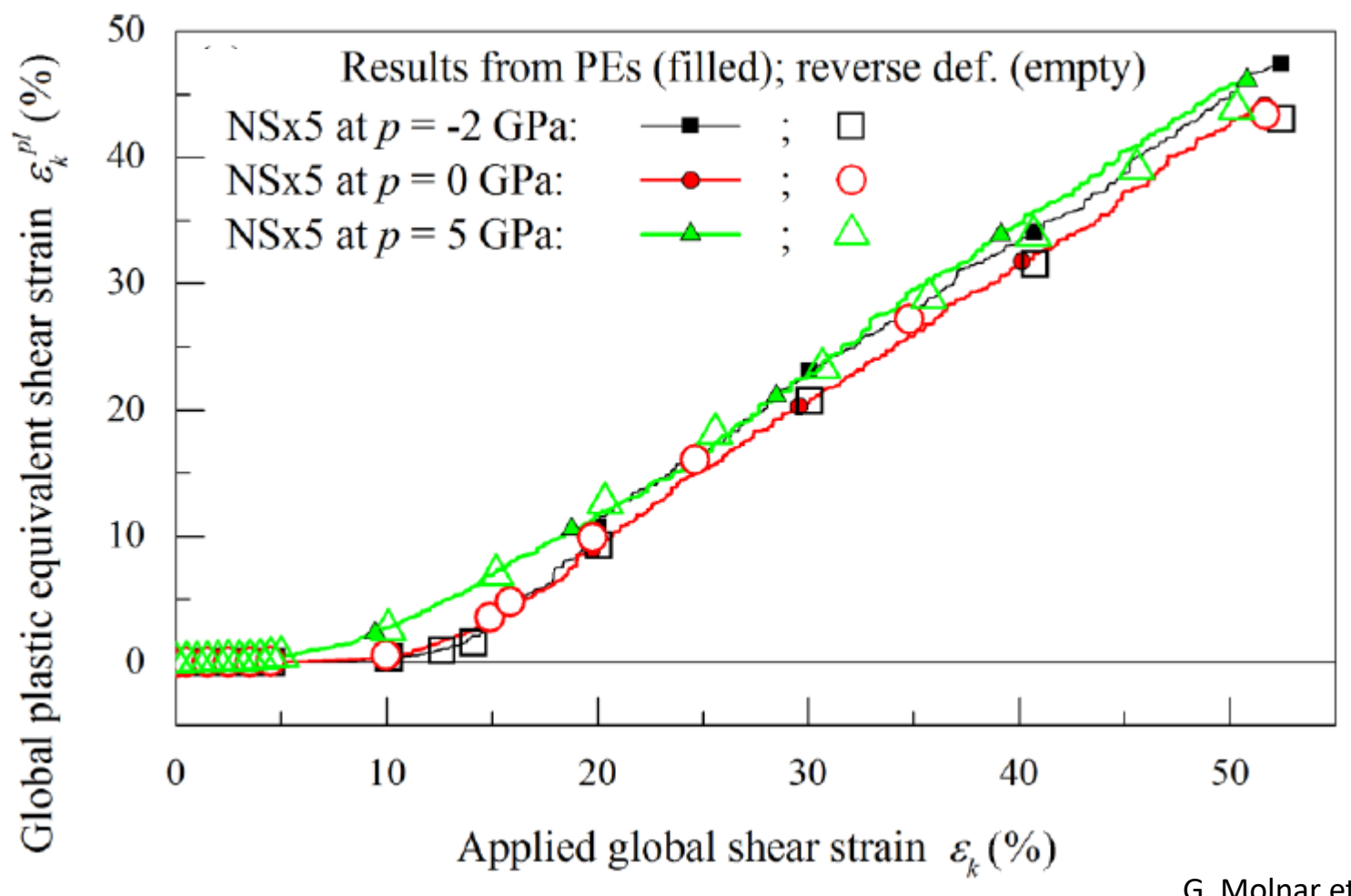








Déformation plastique irréversible totale = somme des événements localisés



G. Molnar et al. (2017)



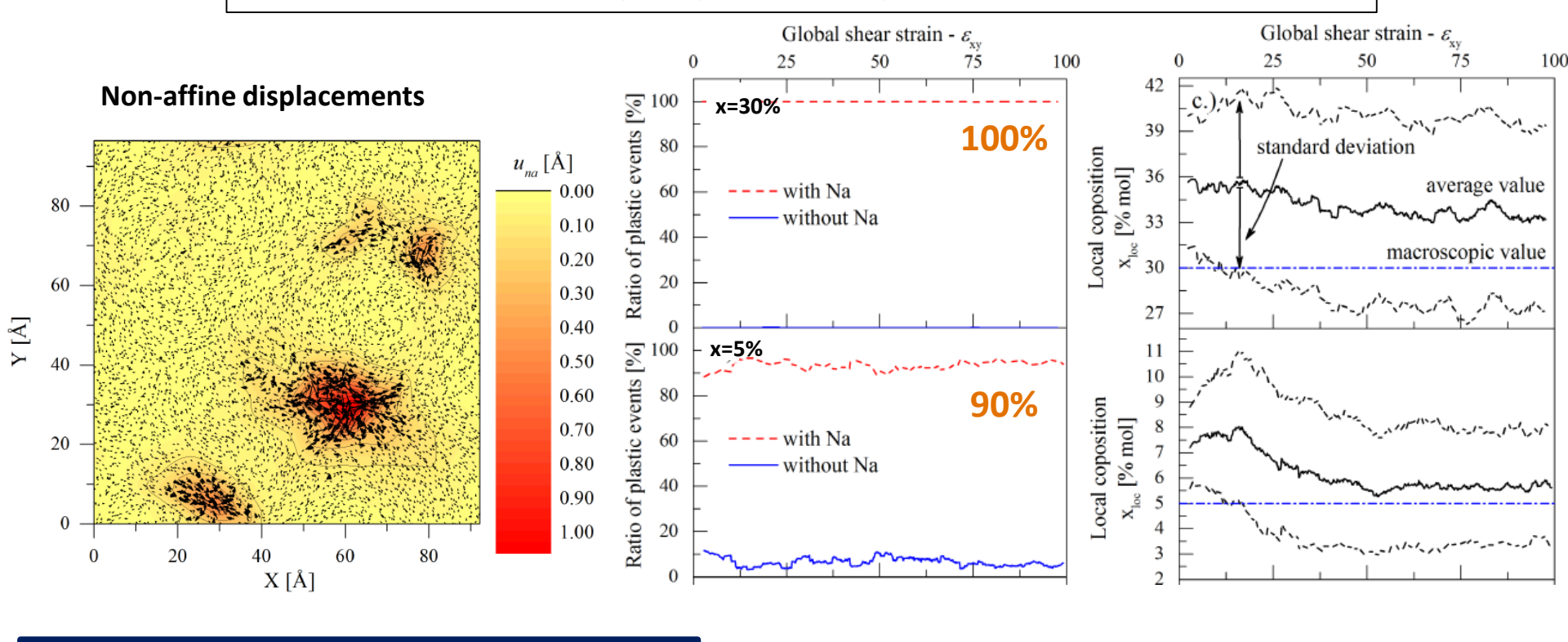








Déformation mécanique quasi-statique d'un verre sodo-silicate



Na catalyse la déformation plastique (principalement de cisaillement)

Le **nombre** de réarrangements /avec x.

La large majorité des évéts plastiques est situé **proche de Na** (dans le cœur plastique) Large densité Na dans le cœur plastique en particulier pour les premiers pas de déf.

G. Molnar et al. (2017)

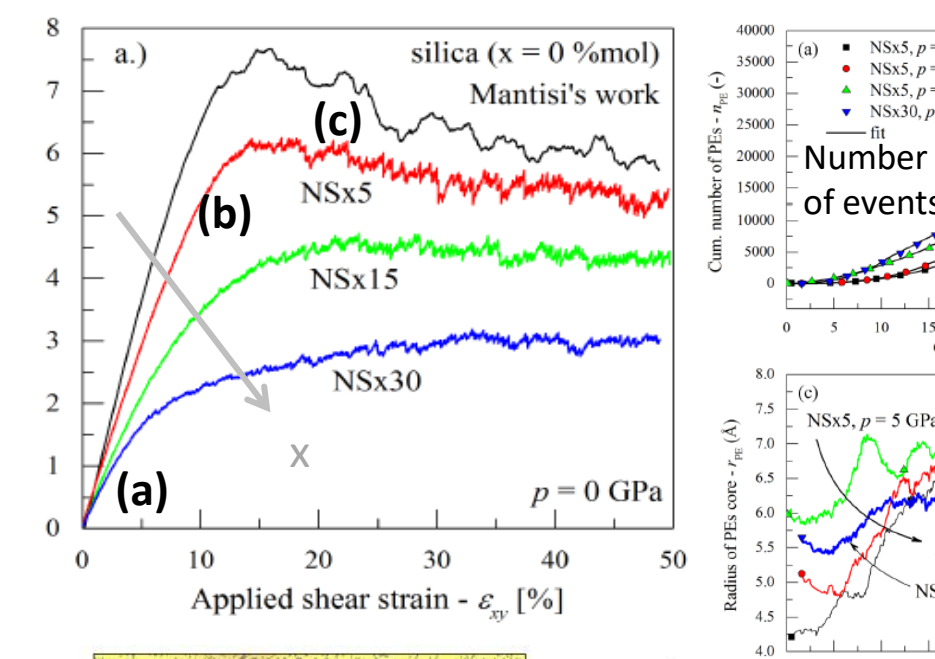


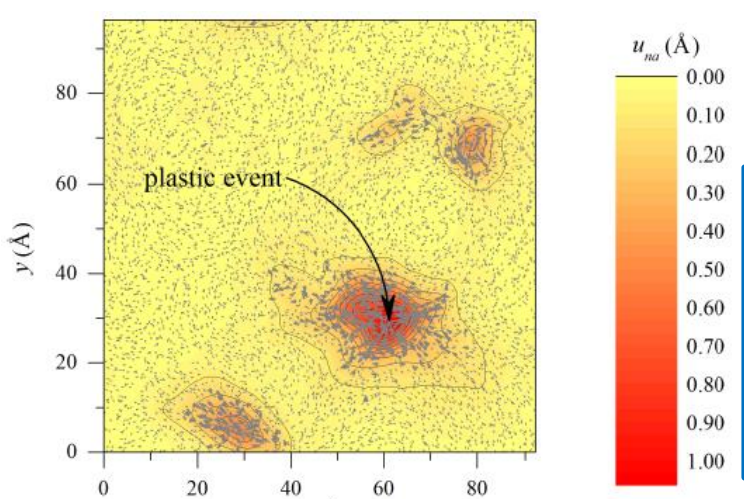




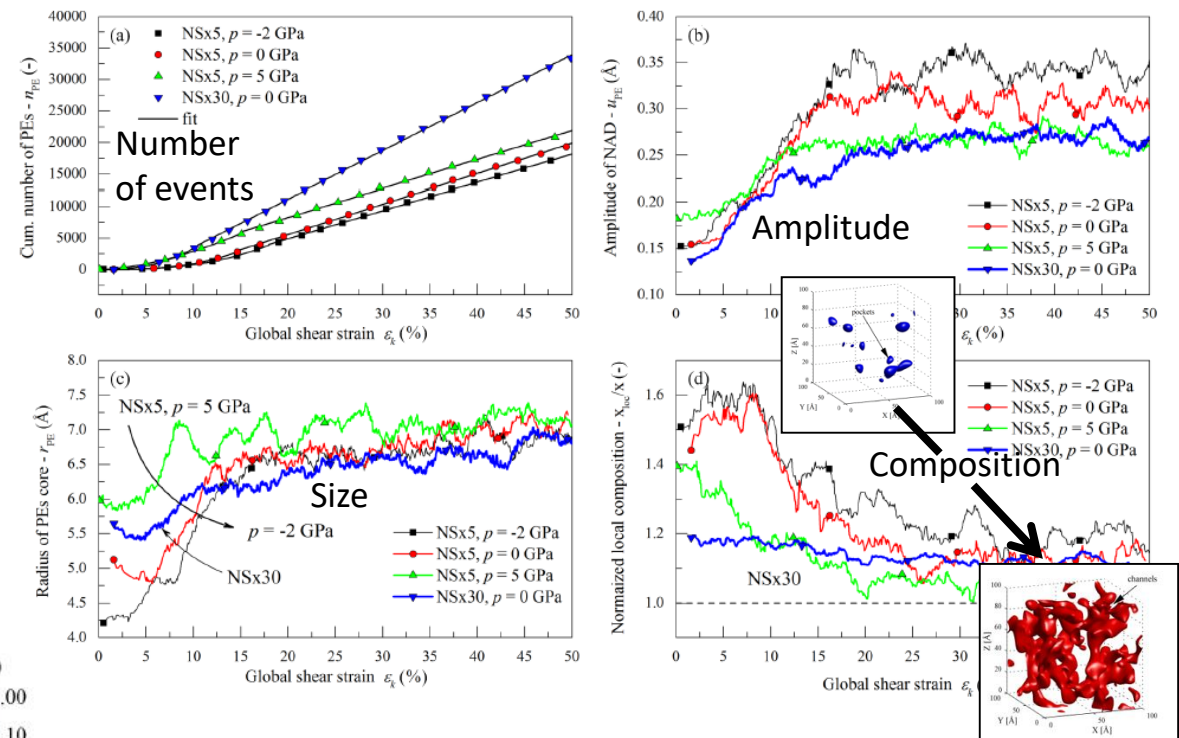








x(Å)



Réarrangements plastiques riches en Na

La composition contrôle le nombre de réarrangements

Dépendance en pression de leur taille, et amplitude

G. Molnar et al. (2017)

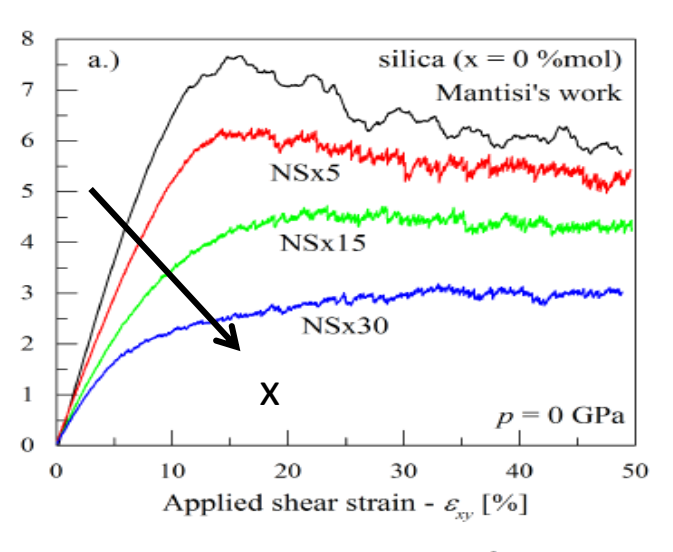


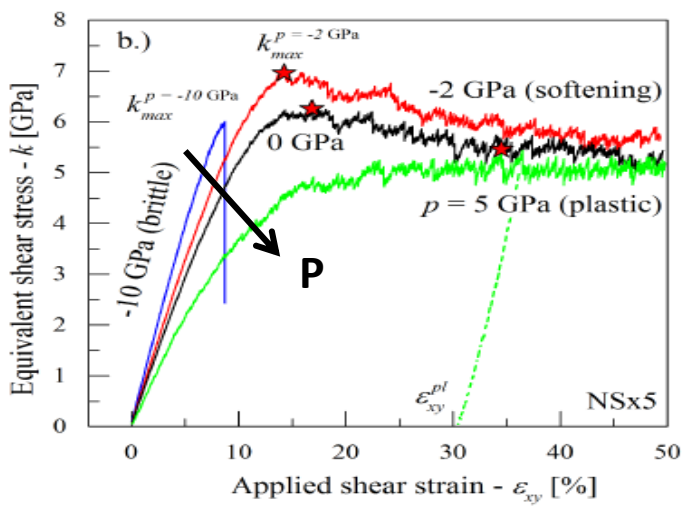




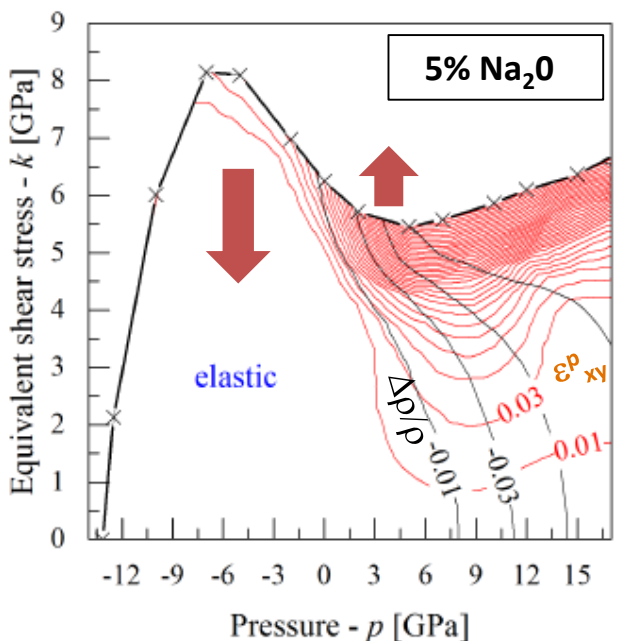


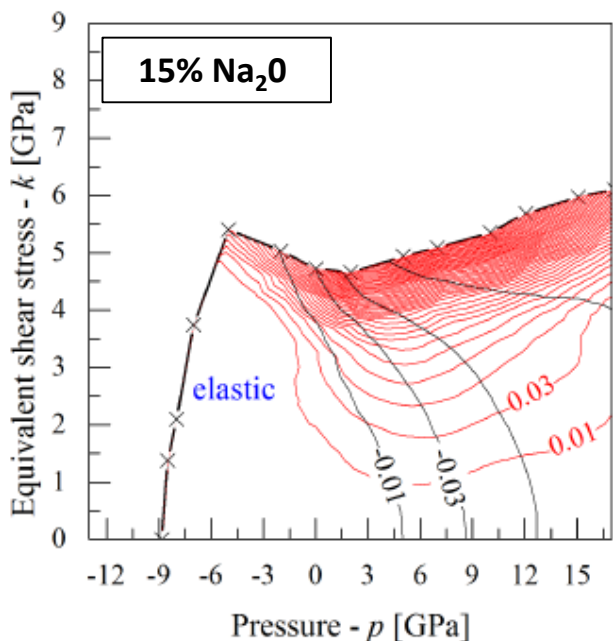


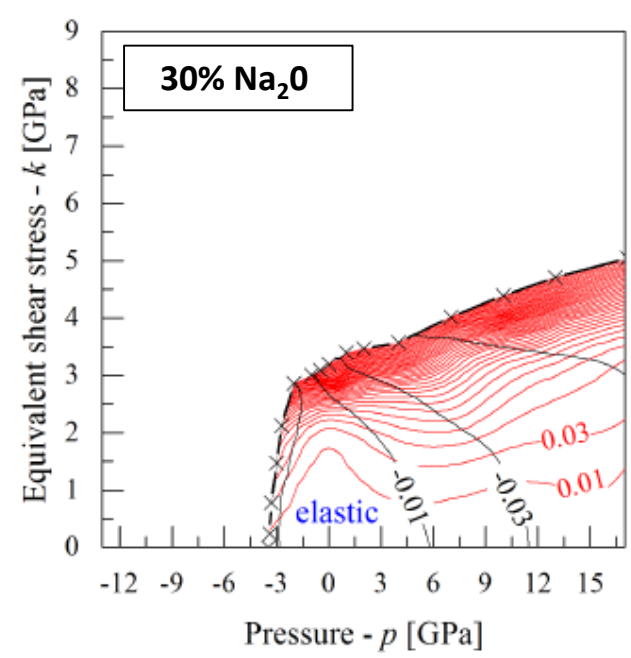




G. Molnar et al., PRE (2017)







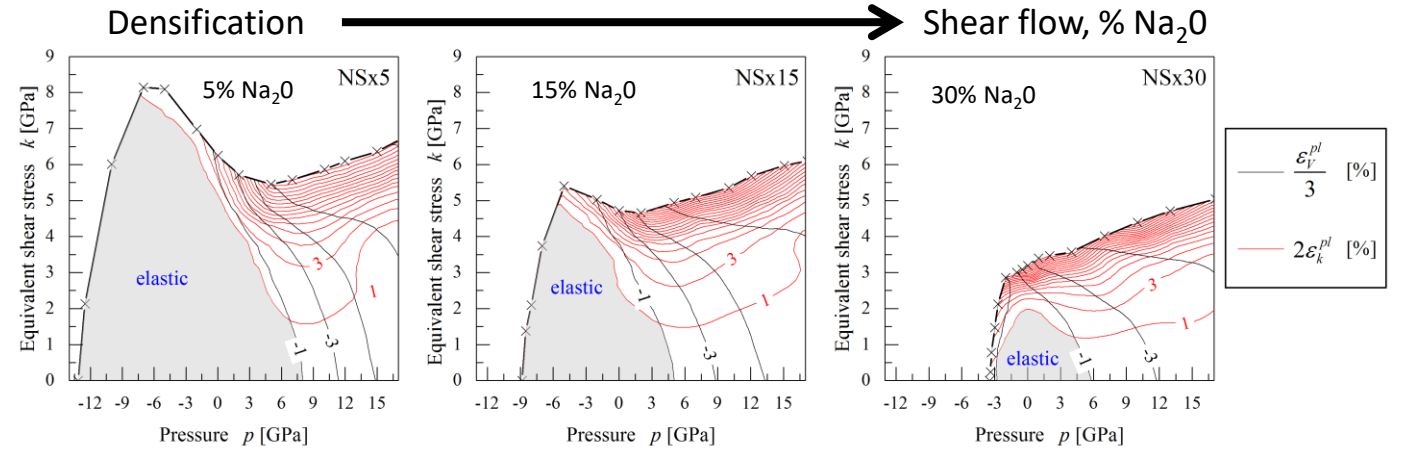










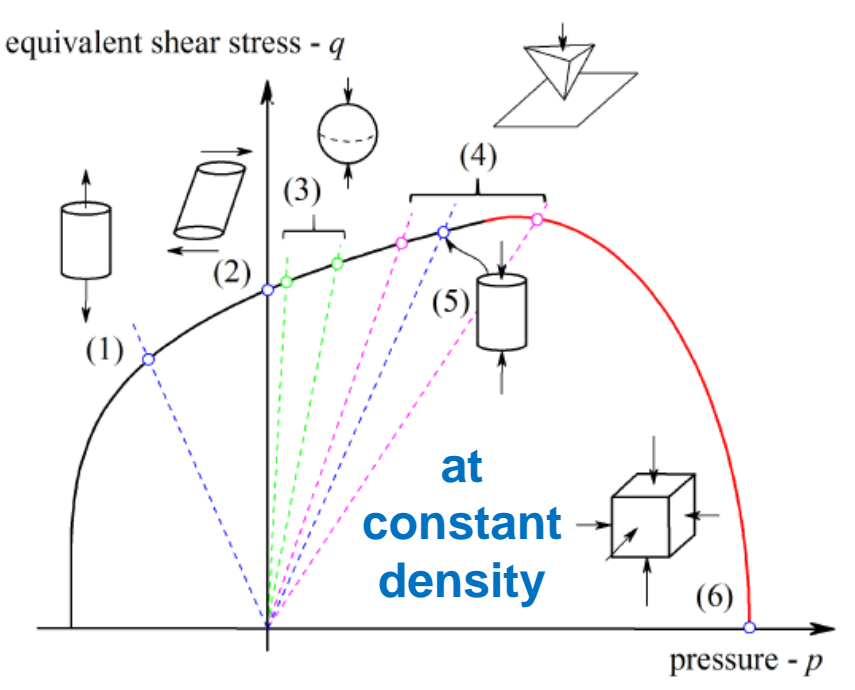


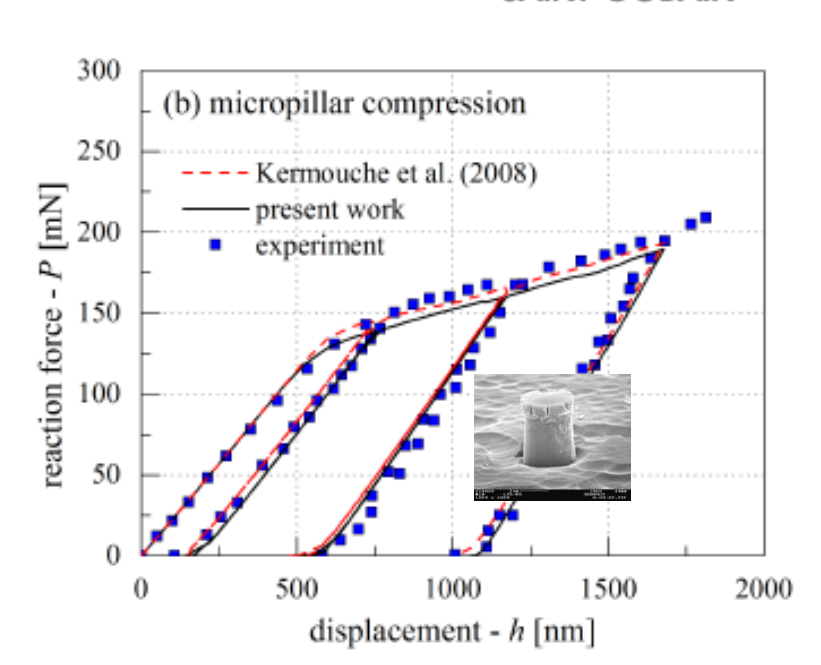
Surface de charge

G. Molnar et al. Acta Mat (2017)

ANR PLASTIGLASS ANR MECASIL ANR MULTISIL













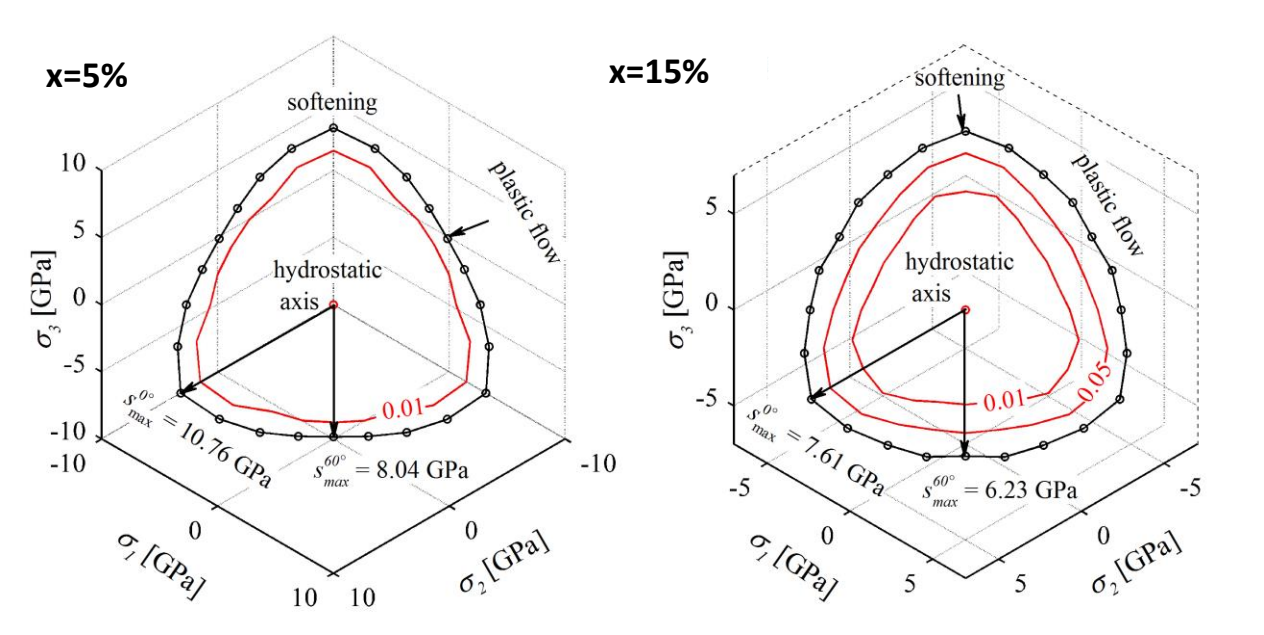


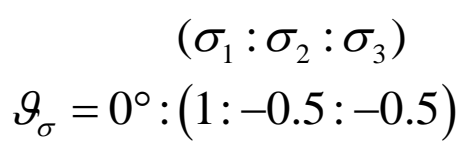


Sensibilité en la composition (1-x) SiO₂ + x Na₂O

π-plane Haigh-Westergaard

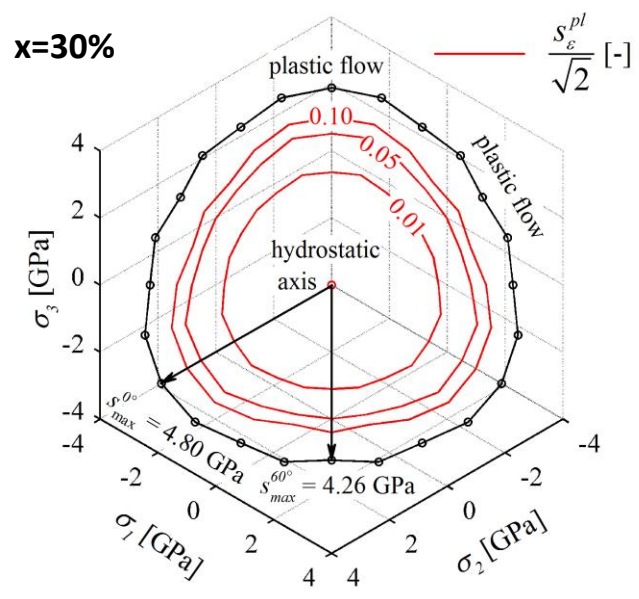
Anisotropie





$$\theta_{\sigma} = 30^{\circ} : (1:0:-1)$$

$$\theta_{\sigma} = 60^{\circ} : (0.5 : 0.5 : -1)$$



G. Molnar et al. (2017)











Conclusion

Quelles tailles caractéristiques?

Irrégularités sur des tailles $5a \rightarrow 30a$ en fonction de la *composition* Rôle des **fluctuations** à l'échelle atomique sur le comportement à

grande échelle?

Micro plasticité affectant le comporteme

Micro-plasticité affectant le comportement linéarisé
Quel lien entre les grandeurs mesurables aux petites échelles
et les grandeurs mécaniques?

Méthodes de *coarse-graining* montrent le comportement discontinu aux très petites échelles. Nécessité d'homogénéiser la réponse mécanique.

Réversibilité et **Irréversibilité** à différentes échelles?

Mécanisme collectif d'instabilité. La succession d'instabilités parfois très locales conduit à un écoulement plastique macroscopique











Bibliographie

- S. Alexander: Physics Reports **296**, 65-236 (1998) *Amorphous Solids, their structure, lattice dynamics and Elasticity.*
- D. François, A. Pineau, A. Zaoui: *Comportement des Matériaux Vol.1 Elasticité et Plasticité*, Hermès (1995)
- J. Besson, G. Cailletaud, J.-L. Chaboche, S. Forest: *Mécanique non linéaire des matériaux*, Hermès (2001)
- J. Salençon: Handbook of Continuum Mechanics, Springer (2001)
- E.B. Tadmor, R.E. Miller: Modeling Materials, Cambridge University Press (2011)
- I. Goldhirsch, C. Goldenberg: Eur. Phys. J. E **9**, 245–251 (2002) On the microscopic foundations of elasticity
- D. Rodney, A. Tanguy and D. Vandembroucq: Modelling Simul. Mater. Sci. Eng. **19**, 083001 (2011) *Modeling the mechanics of amorphous solids at different length and time scales*